

МИНИСТЕРСТВО СТРОИТЕЛЬСТВА ПРЕДПРИЯТИЙ
НЕФТЕЯННОЙ И ГАЗОВОЙ ПРОМЫШЛЕННОСТИ

Всесоюзный научно-исследовательский институт
по строительству магистральных трубопроводов

·ВНИИСТ·



РУКОВОДСТВО

ПО ТЕХНОЛОГИИ УКЛАДКИ
И ЗАГЛУБЛЕНИЯ ТРУБОПРОВОДОВ
ЧЕРЕЗ ВОДОХРАНИЛИЩА
И КРУПНЫЕ РЕКИ

Р 537-84



Москва 1984

УДК 621.643.073(204.1)

В Руководстве рассмотрены технологии укладки и заглубления подводных трубопроводов на переходах через реки и водохранилища, приведены усовершенствованные технологические схемы укладки способами протаскивания и свободного погружения, технические решения и расчеты трубопроводов при укладке с трубоукладочной баржи, при транспортировке на плосу и укладке длинномерных плавел, заготовляемых на централизованной базе.

Руководство разработано на основе исследований, выполненных ВНИИСТом и институтом гидромеханики АН УССР, изучения отечественной и зарубежной технологии строительства подводных трубопроводов на переходах через водные преграды. В Руководстве учтены: опыт сооружения подводного перехода через Куйбышевское водохранилище с применением трубоукладочной баржи, опыт проектирования переходов через реки Волгу, Обь, Каму и опыт работы ВСМО. Совершенно новой трубопроводостроей

Руководство предназначено для проектных и строительных организаций, занятых сооружением подводных переходов трубопроводов через реки и водохранилища шириной более 70 м.

Руководство разработали: кандидаты техн. наук М.А.Камышев, А.Г.Ратнер, К.Я.Капустин, инженер А.А.Горелыков (ВНИИСТ) при участии сотрудников Института гидромеханики АН УССР: канд. техн. наук А.И.Бровченко, инженеров Л.В.Мельника (приложения 4, 11, 12, 13), Н.В.Шайбо (приложение 6) и Г.А.Шапцкой (ВНИИСТ).

Замечания и предложения направлять по адресу:
105058, Москва, Окружной проезд, 19.

© Всесоюзный научно-исследовательский институт по
строительству магистральных трубопроводов (ВНИИСТ), 1984

Всесоюзный научно-исследовательский институт по строительству магистральных трубопроводов (ВНИИСТ)	Руководство по технологии укладки и заглубления трубопроводов через водохранилища и крупные реки	P 537-84 Впервые
--	--	---------------------

I. ОБЩИЕ ПОЛОЖЕНИЯ

I.1. Настоящее Руководство разработано в развитие "Инструкции по строительству подводных переходов магистральных трубопроводов" ВСН 2-118-80 Миннефтегазстроя. Руководство распространяется на строительство переходов магистральных газопроводов и нефтепродуктоопроводов через водохранилища и крупные реки с шириной по зеркалу воды (при маженных уровнях) более 750 м.

I.2. В зависимости от геологических, гидрологических и климатических условий в районе перехода, конструкции подводного трубопровода, используемых технических средств применяют различные технологические схемы укладки и заглубления подводных трубопроводов:

с предварительной разработкой подводной траншеи на всю ширину водной преграды и последующей укладкой трубопровода;

с предварительной разработкой участков подводной траншеи, последующей (по участкам) укладкой плетей трубопровода и стыковкой уложенных плетей в единую нитку;

с разработкой подводной траншеи и непрерывной одновременной укладкой в нее подводного трубопровода;

с укладкой трубопровода на дно водоема или в частично подготовленную траншее с последующим его дозаглублением до проектных отметок.

Третью и четвертую технологические схемы наиболее целесообразно применять при наличии специальных технических средств: трубоукладочных барж (третья схема) и трубозаглубительных установок (четвертая схема).

I.3. Сроки, технологическая последовательность и производительность технических средств для разработки подводных траншей и укладки трубопроводов должны быть взаимно увязаны,

Внесено отделом подводно-технических сооружений ВНИИСТа	Утверждено ВНИИСТом 27 октября 1983 г.	Срок введения 1 сентября 1984 г.
---	--	----------------------------------

чтобы избежать производства указанных работ в неблагоприятных гидрологических условиях, а также простоев техники из-за отсутствия фронта работ.

1.4. Для сокращения объемов и повышения качества подводных земляных работ рекомендуется применять технологию ступенчатой разработки траншей земснарядами, характеризующуюся:

ступенчатым уменьшением ширины траншей по дну от середины водной преграды к берегам;

постепенной разработкой траншей, исходя из условия минимальной ее заносимости, первоначально на прибрежных и островных, затем на более глубоководных участках русла;

ступенчатым изменением отметок продольного профиля дна разрабатываемой траншеи.

2. ТЕХНОЛОГИЯ ПОДВОДНЫХ ЗЕМЛЯНЫХ РАБОТ

Разработка траншей земснарядами

2.1. Технология разработки подводных траншей на переходах через большие водные преграды зависит от геологических, гидрологических и климатических условий; объемов и сроков производства подводных земляных работ, проектных параметров траншей. Рекомендуется совмещать работу нескольких земснарядов, различающихся по своим технологическим характеристикам: производительности, категории разрабатываемых грунтов, глубине грунтозабора, способу транспортирования грунта в отвал [1].

2.2. Разработке подводной траншеи предшествуют следующие подготовительные работы:

составление проекта производства работ;

разбивка в натуре границ разработки траншей (по дну), установка створных знаков;

установка вех и светящихся буев для обозначения мест подводных свалок;

устройство навигационного ограждения судового хода для движения грунтоотвозных шаланд и вспомогательных судов к местам подводных свалок (при работе землечерпательных снарядов);

установка речных водомерных постов с привязкой нулей отсчета к постоянным реперам;

водолазное обследование дна в полосе раскрытия траншей, удаление топляков и затонувших предметов, препятствующих производству работ;

доставка на объект горюче-смазочных материалов.

2.3. В проекте производства подводных земляных работ определяют возможные сроки разработки траншей с учетом гидрологической обстановки и календарного графика строительства, оценивают производительность земснарядов, уточняют границы и последовательность их перемещений, рабочие параметры траншей, способы оперативного контроля за технологическим процессом разработки траншей.

2.4. Продолжительность периода возможного использования земснарядов определяется средними сроками прохождения весеннего ледохода и начала осенних ледовых образований, сведения о которых обычно содержатся в проекте перехода или могут быть получены в ближайшем районном управлении гидрометслужбы. До спада половодья рекомендуется выполнять засыпку урезных траншей, namely плотадок, разработку траншей в тяжелых грунтах.

2.5. В условиях короткой летне-осенней межени, характерной для рек Западной Сибири, следует прогнозировать возможные сроки начала и окончания разработки траншей земснарядами в зависимости от водности года.

Для прогнозирования используются графики хода уровней за характерные годы (маловодный, средний, многоводный), которые сравнивают с текущим графиком хода уровней. Графики строят по данным ближайшего к месту перехода водопоста с учетом среакции (разницы) уровней на указанном водопосту и в створе перехода. По величине подъема уровня на пике паводка текущего года можно судить о возможных сроках спада половодья, соответственно планируя основные сроки разработки траншей. В период половодья допускается разработка траншей преимущественно на участках русла со слабой заносимостью.

2.6. Выбор типа снаряда зависит от характера грунтов, глубин разработки, объемов и сроков выполнения работ, гидрометеорологических условий.

В табл. 1 приводятся рекомендуемые типы земснарядов в зависимости от характера разрабатываемых грунтов.

2.7. Разработку подводных траншей рекомендуется выполнять

Таблица I

Характеристика грунтов по тяжести разработки	Коэффициент прочности по Протодьяконову	Группа грунта для землесосных снарядов	Тип применяемого земснаряда				
			Землесосный	Многочертшаковый	Одночертшаковый		
Легкие	0,05-0,6	I-II	+	+	x	x	x
	0,6-1,5	III-VI	+	+	+	+	+
Средние	1,5-2,0	-	+	+	+	+	+
	2,0-3,0	-	-	-	-	+	+
Тяжелые	3,0-5,0	-	-	-	-	-	+

П р и м е ч а н и е. + рекомендуется разрабатывать; - не рекомендуется разрабатывать; x - не рационально разрабатывать.

землесосом, состоящим из: землесосного снаряда производительностью 700-1000 м³ грунта в час, из одночертшакового или многочертшакового снаряда производительностью 150-300 м³ грунта в час и вспомогательных судов. Объемы работ планируют земснарядам пропорционально их технической производительности, к которой вводится поправочный коэффициент на группу грунта K_{tr} , определяемый по табл.2.

Таблица 2

Группа грунта	Коэффициент K_{tr} для земснарядов различных типов		
	землесосного	многочертшакового шлангового	одночертшакового
I-II	0,85	1,0	1,0
III-IV	0,7	0,85	0,9
V-VII	0,45	0,6	0,85

2.8. Границы участков и последовательность разработки траншей земснарядами устанавливают, исходя из следующих предпосылок: земснаряды должны быть удалены друг от друга на расстояние, исключающее взаимные помехи при работе и перекладке

якорей; заносимость траншей должна быть минимальной; объемы работ рекомендуется распределять с учетом примерно одинаковой продолжительности работы земснарядов; разработка траншей не должна препятствовать судоходству.

2.9. С целью уменьшения объема заносимости траншей, разрабатываемых в песчаных грунтах при скоростях течения больше неразмывающих, рекомендуется следующая очередность работ: в первую очередь разрабатывают траншью на приурезных и примыкающих к ним участках русла с глубинами менее 1/3 максимальной глубины в створе, затем разрабатывают оставшийся участок траншеи (рис. I).

2.10. Земснаряды с меньшей глубиной грунтозабора устанавливают на прибрежных, приурезных и островных участках траншей. Для определения границ работы земснарядов с различной глубиной грунтозабора на продольном профиле дна траншеи выделяют (см.рис. I):

участки, которые можно разрабатывать до проектных отметок земснарядом с меньшей глубиной грунтозабора;

участки, которые можно разрабатывать теми же земснарядами до промежуточной отметки;

участки, которые можно разрабатывать только земснарядами с большей глубиной грунтозабора.

Границы участков уточняют, исходя из объемов работ, планируемых для земснарядов. Для этого определяют объемы и продолжительность работ на каждом из выделенных участков. Сбалансированность работ по срокам достигается за счет соответствующего распределения объемов на участках, которые частично или полностью можно разрабатывать земснарядами с различной глубиной грунтозабора.

При определении границ работы земснарядов необходимо по возможности стремиться к тому, чтобы изменение параметров траншей (глубины и ширины) в пределах каждого участка было минимальным.

2.11. Разработку траншей выполняют в соответствии с рабочим профилем, составленным на основе проектного профиля. Изменение отметок траншей на рабочем профиле задают ступенчато по участкам (см.рис. I). В пределах каждого участка глубину разработки принимают одинаковой, но не менее проектной глубины.

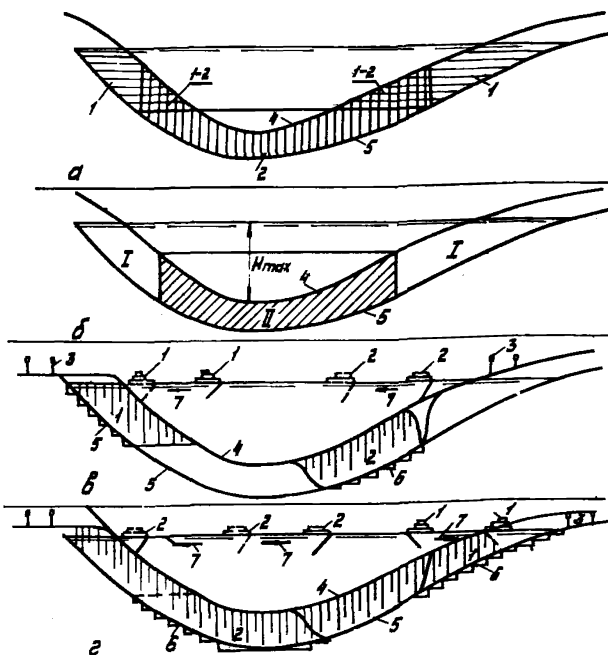


Рис. I. Схема поэтапной ступенчатой разработки подводной траншеи земснарядами с различной глубиной грунтоизбора:

а-схема разбивки границ работы земснарядов; б-рекомендуемая очередность разработки траншей с учетом ее зависимости; в-г-последовательные этапы разработки траншеи двумя снарядами;

I-первая очередь работ ($H < \frac{H_{\text{раб}}}{4}$); II-вторая очередь ($H \leq \frac{H_{\text{раб}}}{4}$);

I-зона работы земснаряда с меньшей глубиной грунтоизбора; 2-зона работы земснаряда с большей глубиной грунтоизбора; 3-осевые створы; 4-дно водоема; 5-дно траншеи по проекту; 6-рабочий профиль траншеи; 7-направление разработки траншеи

Участки разбивают по возможности с одинаковым шагом и перепадом отметок не более 0,5 м.

2.12. В границах работы каждого земснаряда в плане должны разбивку на карты соответственно изменению ширины траншеи по дну. При разработке траншеи на проектную глубину за одну проходку земснаряда ширину карт принимают равной проектной ширине траншеи по дну или несколько больше ее с учетом последующего обрушения откосов. В последнем случае ширину траншеи по дну увеличивают на $\Delta b = m - m_0 / \frac{h}{2}$,

где m – коэффициент заложения откоса по проекту;

m_0 – коэффициент заложения откоса, устанавливаемый в процессе разработки траншеи и зависящий от скорости ее разработки [2];

h_T – проектная глубина траншеи.

2.13. При последней разработке траншеи ширину карт для каждой проходки принимают равной ширине проектной траншеи на промежуточной отметке.

2.14. Технология разработки траншеи должна соответствовать типу грунторазрабатывающего механизма, условиям производства работ (характеристикам грунтов, параметрам траншеи, скорости течения), возможностям оперативного контроля рабочих перемещений механизма и параметров траншеи в процессе ее разработки.

При разработке траншеи применяют один из следующих способов перемещения земснаряда:

траншейный способ – земснаряд перемещают вперед по створу с помощью становых тросов и удерживают от поперечного смещения папильонажными тросами;

параллельный папильонаж – земснаряд перемещают с помощью папильонажных тросов параллельно створу в границах поперечно-го профиля траншеи с постепенной подачей вперед по мере ее разработки;

веерный папильонаж – земснаряд перемещают в границах поперечного профиля траншеи с помощью передних папильонажных тросов при закрепленном положении корыбы в створе.

2.15. Траншейный способ применяют на не связанных, легко осипающихся песчаных грунтах, при ширине траншеи по дну не более 5 м и глубинах воды, достаточных для перемещения земснаряда и обслуживающих его судов. Ориентация снаряда осущест-

вляется по осевым створам. В процессе перемещения земснаряда контролируют положение фиксированной точки судна (точки наблюдателя) в створе и азимут в направлении продольной оси судна, который должен совпадать с азимутом по линии створа.

2.16. Папильонажные способы применяют для разработки траншей в песчаных грунтах, если ширина траншеи по дну превышает 5 м, а также в связных и малоосыпающихся грунтах. Применение параллельного папильонажа возможно, если глубины на бровках траншеи (при минимальном строительном уровне) превышают осадку земснаряда.

Для работы способом параллельного папильонажа выставляют осевой и два боковых створа, ограничивающих крайние положения перемещений земснаряда в пределах ширины разрабатываемой карты грунта. В процессе перемещений земснаряда контролируют азимут по направлению продольной оси судна, который должен совпадать с азимутом по линии створа, и крайние положения земснаряда.

2.17. Для работы способом веерного папильонажа выставляют осевой створ. В процессе перемещений земснаряда контролируют положение в створе фиксированной точки (на корме судна) и угол между продольной осью судна и створом, максимальное значение которого не должно превышать расчетного значения, определяемого из выражения

$$\sin \alpha = \frac{180}{\pi} \alpha = \frac{\delta_0}{2l \sqrt{1 - (\frac{H}{\ell})^2}}, \quad (I)$$

где δ_0 - ширина разрабатываемой карты грунта (равная ширине траншеи на рабочей отметке);

l - длина грунторазрабатывающей рамы ниже уровня воды;

H - глубина грунтозабора.

2.18. Для повышения точности установки земснаряда по осевому створу рекомендуется перекладывать становые якоря при хорошей видимости створных знаков.

2.19. При определении глубины грунтозабора в месте забоя необходимо знать точное местоположение (пикетаж) грунторазрабатывающего органа, которое не совпадает с местоположением фиксированной точки земснаряда, относительно которой проводят измерения и привязку расстояний к проектному профилю. Откло-

нениях фактических координат грунтозаборного устройства относительно точки измерения на палубе земснаряда могут быть учтены и введением поправок ΔX , ΔY , определяемых из выражений:

$$\frac{\Delta X}{Z_o} = \left[\frac{L_o}{Z_o} - \sqrt{1 + \left(\frac{Z + h_o}{Z_o} \right)^2} \right] \cos \alpha; \quad (2)$$

$$\frac{\Delta Y}{Z_o} = \frac{\Delta X}{Z_o} \operatorname{tg} \alpha, \quad (3)$$

где L_o - расстояние (по горизонтали) от точки наблюдателя до маркирной опоры рамы;
 Z - измеренная глубина погружения грунторазрабатывающего устройства от уровня воды;
 h_o - разность отметок оси маркирной опоры рамы земснаряда и воды;
 α - угол разворота оси земснаряда относительно проектного створа;
 Z_o - длина рамы земснаряда от маркирной опоры до крайней точки грунтозаборного устройства.

Координату X точки наблюдения определяют с помощью дальномера и указателя троса становой лебедки, глубину Y измеряют с помощью индикатора глубины или сколота.

На некоторых земснарядах имеется система контроля заданного угла напыльничивания α .

2.20. В целях поддержания требуемых глубин подводной траншеи при укладке трубопровода рекомендуется одновременно с его протаскиванием осуществлять подчистку траншеи переди идущим земснарядом.

В приложении I приведен пример технологической последовательности разработки траншеи при переходе через реку Обь.

Заглубление трубопроводов, уложенных на дно

2.21. Заглубление трубопровода после его укладки на дно допускается на участках рак и водоемов, сложенных легкими грунтами, разработка которых не требует предварительного рыхления механическим или взрывным способом. Укладка трубопровода предшествует планировка дна, обеспечивающая допустимые радиусы изгиба.

2.22. Для заглубления трубопроводов используют специаль-

ные трубозаглубительные снаряды, землесосные снаряды с гидромолотами, грунтососы и гидромониторы.

2.23. Перед заглублением уложенного трубопровода выполняют его промеры экзокотом с обязательной фиксацией осевого створа перехода и двух контрольных боковых створов. Результаты промеров оформляют в виде совмещенного продольного профиля дна водоема и уложенного трубопровода, а также плана в полосе промеров с обозначением местоположения оси трубопровода.

2.24. На основе указанных материалов составляют проект заглубления трубопровода, в котором определяют: границы заглубления, допустимую величину уступа (высоту заглубления), количество проходок, способы контроля отметок дна траншей и трубопровода, мероприятия, предупреждающие повреждения трубопровода в процессе его заглубления.

2.25. Трубопровод заглубляют за минимальное число проходок. Допустимую высоту уступа и длину пролета определяют расчетом в зависимости от характеристики трубопровода и рельефа дна (приложение 2). На начальном участке заглубления трубопровод должен иметь необходимый запас длины на изгиб по δ -образной кривой. Если профиль дна не позволяет создать такой запас, то заглубление необходимо начинать неподалеку берега, чтобы конец трубопровода мог свободно перемещаться под действием продольных усилий, возникающих при изгибе трубопровода по δ -образной кривой.

2.26. Урезные и прибрежные участки подводной траншее разрабатывают заблаговременно до укладки трубопровода. Сопряжения дна траншее и водоема на этих участках выполняют по вогнуто-выпуклой кривой с допустимыми радиусами кривизны.

2.27. Если трубопровод не может быть заглублен за одну проходку по условиям расчета напряженно-деформированного состояния, то в случае интенсивного занесения траншее рекомендуется выполнять последнюю проходку с максимально допустимым заглублением.

2.28. Земснаряды, используемые для заглубления трубопровода, перемещаются траншейным способом. Становые якоря укладываются на расстоянии не менее 5 м от трубопровода ниже по течению. Земснаряд разворачивают под небольшим углом к створу. Оперативный контроль за разработкой траншее осуществляют пу-

тем захолотированием с кормы земснаряда. Положение грунторазрабатывающего органа относительно трубопровода периодически проверяют с помощью водолазов. Перед подъемом грунтозаборной рамы земснаряд несколько сминают винт по течению и разворачивают корпус на некоторый угол. При последующем спуске рамы необходимо контролировать положение грунтозаборного устройства в траншее относительно трубопровода.

3. УКЛАДКА ПОДВОДНЫХ ТРУБОПРОВОДОВ СПОСОБАМИ ПРОТАСКИВАНИЯ И СВОБОДНОГО ПОГРУЖЕНИЯ

Укладка трубопровода способом протаскивания

3.1. Выбор технологической схемы при укладке способом протаскивания зависит от ширины водной преграды, массы и относительной плывучести трубопровода, используемых тяговых средств, сезона.

Основным тяговым средством для протаскивания трубопроводов является лебедка МЛ-151. В качестве дополнительных тяговых средств при необходимости создать усилие более 300 тс применяют лебедки МЛ-1, МЛ-1А.

3.2. При тяговом усилии более 150 тс протаскивание трубопровода с помощью лебедки МЛ-151 осуществляют пiletами длиной не более 230 м (при использовании блока на оголовке трубы-брововода). После протаскивания очередной пiletы трос отсоединяют от мертвяковой опоры и закрепляют на вспомогательном тяговом средстве (лебедка, трактор). Сматывают трос с барабана основной лебедки и одновременно вытаскивают звено анкерного троса на берег. При этом тяговая ветвь троса перепускается через блок на длину, равную удвоенной длине протаскиваемой пiletы.

3.3. Для уменьшения длины троса и соответственно тягового усилия лебедку МЛ-151 устанавливают на барже. Трубопровод протаскивают с перестановкой баржи в процессе пристыковки очередной пiletы (рис.2). Количество перестановок зависит от длины пilet и способа запасовки тягового троса (без блока, с блоком). Расстояние от оголовка трубопровода до баржи при протаскивании должно быть не менее 50 м.

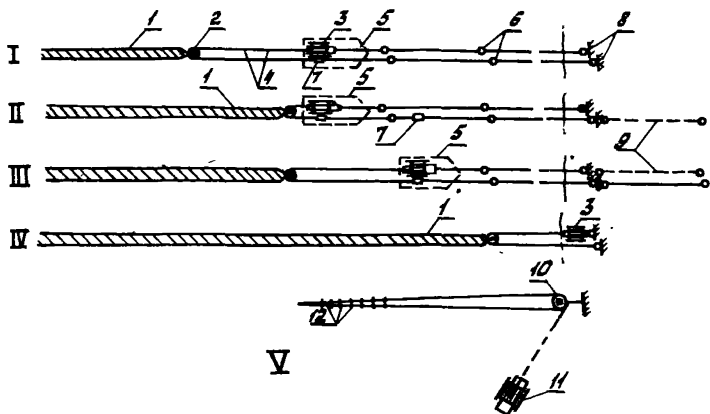


Рис.2. Схема протаскивания трубопровода лебедкой III-151, установленной на барже:

I–IV—последовательные этапы протаскивания трубопровода и перестановки баржи; V—сматывание анкерного троса на берегу; 1—трубопровод; 2—блок на 300 тс; 3—лебедка III-151; 4—тugовый трос лебедки; 5—баржа; 6—соединительные звенья тросов на анкерной линии; 7—соединительное звено тагового и анкерного тросов; 8—мертвяковые опоры на берегу; 9—звено анкерной линии; 10—блок на 150 тс; 11—лебедка для сматывания троса; 12—зажмы троса.

Перед протаскиванием баржу устанавливают строго по стволу и закрепляют якорями. При необходимости палубу баржи укрепляют настилом. Лебедку закрепляют на палубе от продольного и поперечного смещения упорными брусьями.

При протаскивании трубопровода без блока анкерный трос от береговой опоры закрепляют непосредственно на лебедке.

При протаскивании трубопровода с использованием блока одну ветвь анкерного троса закрепляют на лебедке, а другую пропускают по палубе баржи через блок на оголовке трубопровода и соединяют с туговым тросом лебедки. В процессе перестановки баржи анкерную линию подтягивают вспомогательной лебедкой, установленной либо на берегу, либо на барже. В последнем случае требуется меньшее усилие для вытягивания анкерной линии. Перед перестановкой баржи ослабляют туговый трос, отсоединяют анкер-

ный трос от тяговой лебедки, закрепляют его на вспомогательной лебедке, поднимают якоря. Бережка перемещается при одновременном сматывании тягового троса с барабана основной лебедки и наматывании анкерного троса на барабан вспомогательной лебедки. Буксируемые суда удерживают бережку в створе.

3.4. Для уменьшения тягового усилия и увеличения поперечной устойчивости трубопровода при протаскивании рекомендуется использовать понтоны повышенной грузоподъемности, группируемые по несколько понтонов вместе (рис.3).



Рис.3. Схема групповой установки понтонов:
1-трубопровод; 2 - понтоны; 3 - бровка траншеи

Длину участка трубопровода, приподняаемого над дном \mathcal{L} , и высоту подъема в середине пролета Z определяют по формулам:

$$\mathcal{L} = \frac{3}{2} \frac{\rho_n n}{\rho} ; \quad (4)$$

$$Z = \frac{\rho \ell^4}{72 E J} ; \quad \ell = \frac{\mathcal{L}}{2} , \quad (5)$$

где ρ_n - выталкивашая сила понтона, кгс;

n - число понтонов в группе;

ρ - отрицательная плавучесть трубопровода без понтонов, кгс/см;

ℓ - половина длины пролета \mathcal{L} , см;

E - модуль упругости стали, кгс/см²;

J - момент инерции сечения трубы, см⁴.

Максимальные напряжения в месте подвески понтонов определяют из выражения

$$\sigma = \sqrt{\frac{E \rho D_H Z}{W}} = 257 \sqrt{\frac{\rho}{g_{TP}}} Z , \quad (6)$$

где D_H - наружный диаметр трубы, см;:

W - момент сопротивления поперечного сечения трубы, см³;

ϑ_{tr} - вес трубы в воздухе без изоляции и футеровки, кгс/см.

Расстояние l_n между грунтами pontонов:

$$l_n = \frac{\pi \cdot P_n}{P - P_{расч}}, \quad (7)$$

где $P_{расч}$ - расчетная отрицательная плавучесть трубопровода с учетом pontонов, кгс/см.

Коэффициент уменьшения поверхности соприкосновения трубопровода с грунтом и сил сопротивления, преодолеваемых в момент трогания трубопровода с места

$$K = \frac{l_n}{l_n - Z}. \quad (8)$$

В приложении 3 дан пример расчета грунтовой расстановки pontонов при протаскивании пласти.

3.5. После протаскивания трубопровода pontоны отстрагливают в строго определенной последовательности во избежание провисов на вогнутых участках рельефа. В первую очередь снимают pontоны на вогнутом участке, наиболее удаленном от одного из берегов.

Укладка трубопроводов способом протаскивания с регулированием плавучести

3.6. Указанный способ применяют при укладке нефтепроводов диаметром более 1020 мм, протаскивание которых требует применения тяговых усилий, превышающих номинальное усилие используемых тяговых средств, а также для укладки газопроводов с pontонами.

3.7. Укладку трубопровода осуществляют поэтапно способом протаскивания и способом свободного погружения с учетом продольного профиля дна и в зависимости от глубин на соответствующем участке перехода. На глубоководном участке трубопровод укладывают протаскиванием, на участке с меньшими глубинами - способом свободного погружения.

3.8. Технологическая последовательность укладки зависит от местоположения монтажной площадки и профилей дна траншеи, в соответствии с которыми применяют различные схемы:

первая схема – когда монтажная площадка размещена со стороны мелководного участка водоема;

вторая схема – когда монтажная площадка размещена со стороны глубоководного участка водоема;

третья схема – когда глубоководный участок в середине водоема разделен мелководными участками, примыкающими у обоих берегов;

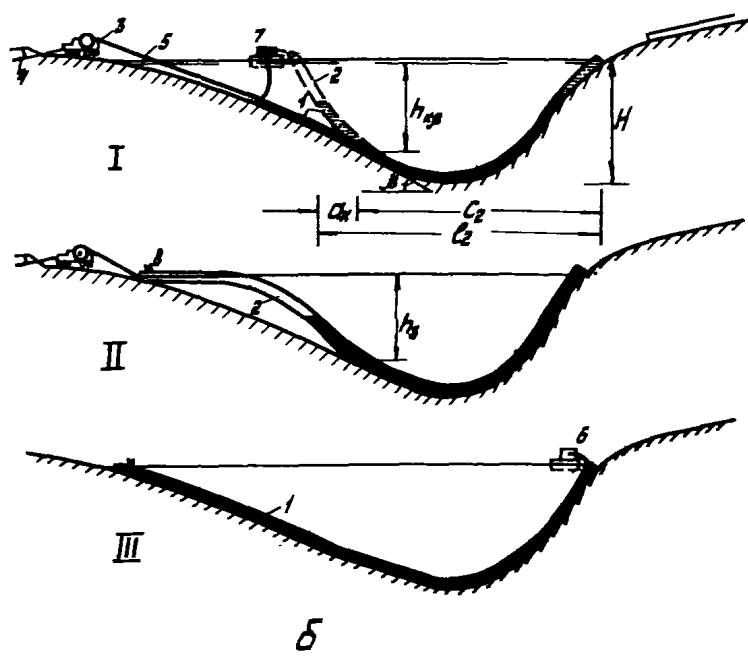
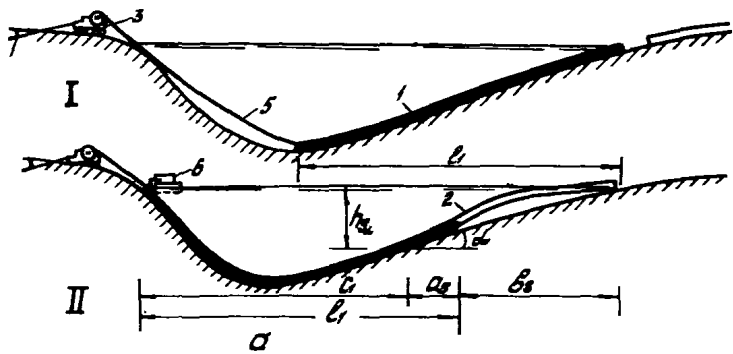
четвертая схема – когда глубоководные участки размещены у обоих берегов и разделены мелководным (островным) участком для двухручьного русла.

3.9. По первой схеме укладку трубопровода выполняют в такой технологической последовательности (рис.4, а):

протаскивают трубопровод с одновременным заполнением его водой на расчетную длину ℓ_1 , после чего прекращают подачу воды. Далее протаскивают трубопровод до противоположного берега. При этом концевой участок трубопровода (в мелководной зоне) всыпывает. По окончании протаскивания возводят залив воды в трубопровод со стороны оголовка и укладывают плавающий участок.

3.10. По второй схеме укладку трубопровода выполняют в следующей технологической последовательности (рис.4, б): протаскивают трубопровод с одновременным заполнением его водой на расчетную длину ℓ_2 , после чего прекращают подачу воды. В головную часть трубопровода подают воздух от компрессора до ее всыпки, затем продолжают протаскивание трубопровода до выхода оголовка на противоположный берег. На завершающем этапе заполняют водой (с помощью насоса) сначала концевой участок (со стороны монтажной площадки), а затем весь трубопровод. При этом плавающий участок погружается на дно. Концевой участок заполняют водой медленно (с ограниченным расходом воды), чтобы избежать образования воздушных пузырей. После заполнения водой концевого участка залив продолжают с максимальным расходом.

3.11. По третьей технологической схеме трубопровод укладывают в следующей последовательности (рис.4, в): протаскивают трубопровод с одновременным его заполнением водой на расчет-



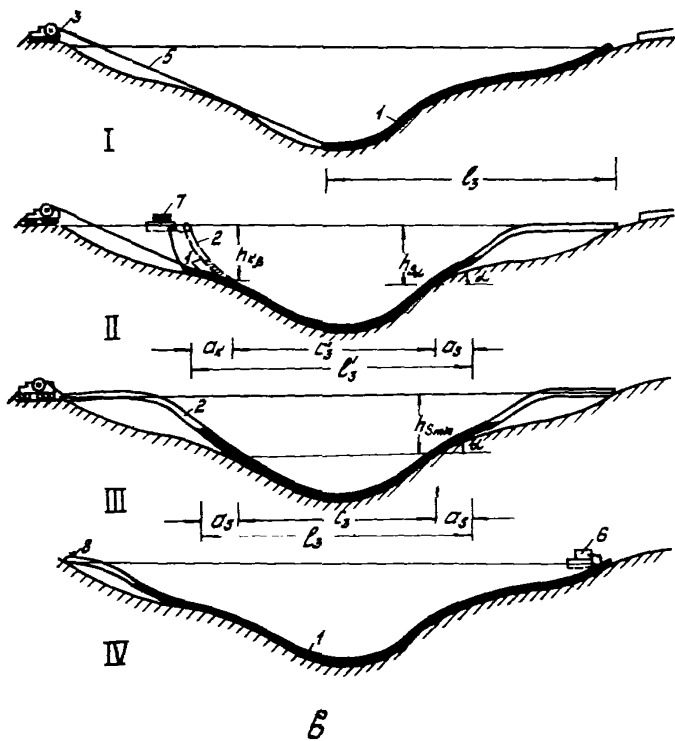


Рис.4. Технологические схемы укладки трубопроводов с регулированием плавучести:

а, б, в—соответственно первая, вторая и третья схемы; I, II, III, IV—последовательные этапы укладки; 1—трубопровод с водой; 2—трубопровод с воздухом; 3—тросовая лебёдка; 4—мертвняк; 5—трос; 6—наполнительный агрегат; 7—компрессор; 8—воздушный патрубок

ную длину ℓ_3 , после чего прекращают подачу воды. Протаскивают трубопровод на расчетную длину с постепенным всплытием концевого участка; закачивают воздух в головную часть трубопровода до его всплытия. Продолжают протаскивание трубопровода до выхода оголовка на противоположный берег. Заполняют трубопровод водой с концевого участка.

3.12. Длину участков трубопровода ℓ_1 , ℓ_2 , ℓ_3 , заполняемых водой в процессе протаскивания, определяют расчетом [3] (из условия, чтобы напряжения в трубопроводе при его всплытии не превышали допустимых значений) и контролируют по соответствующим отметкам, нанесенным на наружную поверхность трубопровода.

Укладка трубопровода свободным погружением с натяжением и самонатяжением

3.13. Применение растягивающего усилия к трубопроводу в процессе его погружения с поверхности воды позволяет существенно увеличить допустимую глубину укладки по сравнению со свободным погружением трубопровода без натяжения.

Для создания растягивающего усилия можно использовать тяговые лебедки и специальные натяжные устройства. При закреплении концов трубопровода к неподвижным береговым опорам растяжение трубопровода создают за счет его самонатяжения в процессе погружения. Самонатяжение трубопровода можно использовать для создания больших усилий при относительно малых перемещениях, что имеет место для трубопроводов диаметром 1020 мм и более.

3.14. Технология укладки трубопровода с самонатяжением включает следующие операции (рис.5):

установку неподвижных опор на обоих берегах;
монтаж пilet трубопровода и вывод ее наплаву в створ укладки;

закрепление трубопровода к береговым опорам: с одного конца – посредством короткого (практически нерастяжимого) троса, с другого конца – посредством упругого элемента с расчетными деформативными характеристиками (отрезок троса расчетной длины, гидроцилиндр);

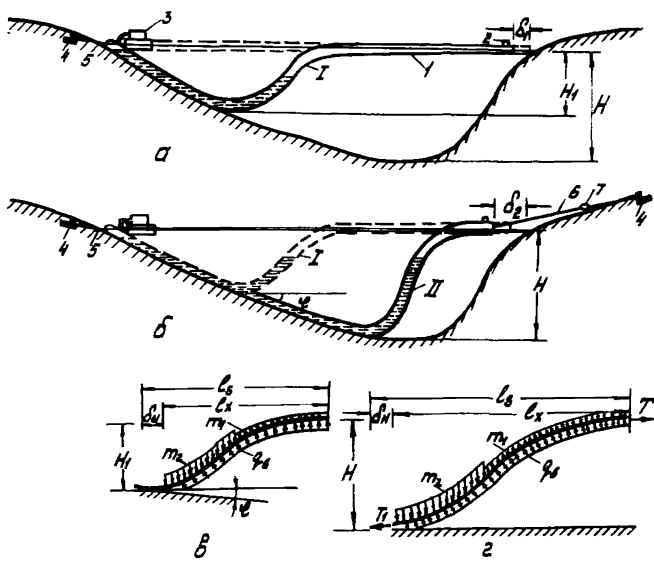


Рис.5. Схема погружения трубопровода с самонатяжением:
 а-технологическая; в-расчетная схема укладки трубопровода на первом этапе погружения; г-технологическая; г-расчетная схема укладки трубопровода на втором этапе погружения (с самонатяжением); I, II-положения трубопровода, соответствующие расчетным схемам (в и г); I - трубопровод; 2 - воздушный шарубок; 3-наполнительный агрегат; 4-береговой анкер; 5-нерастяжимая связь; 6-упруго деформируемая связь; 7-динамометр

укладку трубопровода свободным погружением со стороны нерастяжимой связи до промежуточной глубины H_1 , при этом упругий элемент не работает;

укладку трубопровода погружением с самонатяжением на глубинах, превышающих H_1 .

3.15. Глубину H_1 определяют расчетом [3]. Величину продольного растягивающего усилия T , которое необходимо создать

за счет самонатяжения трубопровода, определяют расчетом напряженно-деформированного состояния трубопровода при его погружении на максимальную глубину по методике, приведенной в приложении 4. Расчет технологических параметров укладки трубопровода с самонатяжением приводится в приложении 5.

3.16. Для стабилизации натяжения и повышения надежности укладки трубопровода можно использовать силовой гидроцилиндр, оттарированный на величину расчетного усилия, которое остается постоянным в пределах перемещения подвижного штока цилиндра.

При необходимости увеличения усилия натяжения можно использовать систему параллельно установленных гидроцилиндров. Если требуется увеличить длину перемещения (при постоянном усилии натяжения), то гидроцилиндры устанавливают последовательно.

Величину усилия натяжения трубопровода контролируют с помощью динамометра.

Укладка трубопровода из длинномерных панелей, изготовленных на централизованной базе

3.17. Панели трубопровода подготавливают на централизованной базе и транспортируют наливом к месту строительства перехода. Панели должны соответствовать техническим условиям на их изготовление.

3.18. К месту строительства транспортируют одиночные панели или несколько панелей, скрепленных в панели. Порядок буксировки согласовывается с Бассейновым управлением пути.

Панели транспортируют двумя буксирами-катерами. Усилие буксировки определяют расчетом (приложение 6).

3.19. Транспортируемые панели могут быть забалластированы полностью до проектной величины либо частично, с некоторым запасом плавучести, либо не иметь пригрузки.

В первом случае плавучесть панели обеспечивают закреплением pontонов. Запас плавучести для частично балластируемых панелей создают путем чередования пригруженных и непригруженных участков панели. Длину непригруженных участков Q по отношению к общей длине $\ell_{пл}$ панели определяют из выражения

$$\frac{Q}{\ell_{пл}} = \frac{\Delta q + P}{q + P}, \quad (9)$$

- $\Delta \varphi$ - заданный запас плавучести при транспортировке плети (в среднем на единицу длины);
 P - вес в воде забалластированных участков (на единицу длины);
 φ - плавучесть незабалластированных участков (на единицу длины);

В табл.3 приведены значения относительной длины незабалластированных участков для трубопроводов диаметром 1020 мм и 1220 мм.

Таблица 3

Диаметр трубо- проводов мм	Толщина стенки, мм	Плавучесть с изоляци- ей и путе- ровкой, кгс/м	Вес в воде		Величина $a/\ell_{пл}$	
			с пригруз- кой чугун- ными гру- зами, кгс/м	с же- лезобетон- ными при- грузами, кгс/м	при балластиро- вке с грузами	чугун- ными
1020	I2	-535	142	177	0,35	0,38
	I4	-486	142	174	0,38	0,41
	I6	-437	142	172	0,40	0,45
1220	I2	-830	199	252	0,29	0,32
	I4	-771	199	249	0,31	0,34
	I6	-713	199	243	0,33	0,36
	20	-596	199	240	0,38	0,41

3.20. Доставленные на переходах плети крепят вблизи берега вне судового хода, в местах, защищенных от господствующего направления ветров и действия волн, создаваемых проходящими судами.

3.21. Монтаж трубопровода из доставляемых на переход готовых плетей выполняют либо на береговой площадке, куда предварительно вытаскивают плети, либо наплаву с использованием плавсредств и специального оборудования. Укладку трубопровода соответственно осуществляют способом протаскивания с берега либо погружением с поверхности воды. Возможно также комбинирование обоих способов укладки. Вторая технологическая схема монтажа позволяет укладывать трубопровод по мере готовности подводной траншеи с минимальным разрывом во времени. Ее применение возможно при ограниченных скоростях течения и высоте волн; кроме того, доставляемые плети должны быть забалластированы до проектной величины.

3.22. При необходимости дополнительной балластировки пле-ти вытаскивают на берег и выкладывают параллельно створу. Перед балластировкой производят визуальный осмотр состояния изоляции и футеровки, исправляют обнаруженные дефекты, а в случае необходимости сварочных работ производят повторное гидравлическое испытание в соответствии с указаниями СНиП III 42-80 (табл. I.7 для первого этапа).

3.23. При укладке пле-ти трубопроводов комбинированным способом работы выполняют в следующей технологической последо-вательности (рис.6): разрабатывают трашер на участке с глуби-нами, превышающими допустимые, для способа свободного погруже-ния трубопровода. Протаскивают трубопровод на глубоководном участке либо с ближайшего берега, либо с мелководного участка. При протаскивании с берега головной участок пле-ти разгружают понтонами и в процессе протаскивания заполняют водой. Всплытие головного участка для последующей пристыковки пле-ти осущест-вляют путем вытеснения воды. При протаскивании с мелководного участка трубопровод наращивают наплаву одновременно с разработ-кой глубоководного участка трашером, а протаскивание выполняют по ее завершении. При этом концевой участок протаскиваемой пле-ти остается наплаву для последующего наращивания.

3.24. После укладки трубопровода на глубоководном участ-ке его наращивают длинномерными пле-ти со стыковкой наплаву по мере готовности трашера.

3.25. Нарашивание пле-ти на мелководном участке осущест-вляют следующим способом: выводят первую плеТЬ с понтонами в створ перехода и опускают на дно путем залива воды в полость трубопровода. После опуска трубопровода понтоны снимают, ос-тавляя их только на отрезке расчетной длины со стороны стыкуе-мой пле-ти. Выводят вторую плеТЬ в створ перехода. В оголовок первой пле-ти подают сжатый воздух до его всплытия и выравнива-ния положения близко к горизонтальному.

Стыкуют обе пле-ти в плавучей камере, на плавучей монтаж-ной площадке или с борта баржи: закрепляют пле-ти соосно, обре-зают заглушки, сваривают катушку, просвечивают и изолируют сты-ки. После стыковки плеТЬ заливают водой и погружают на дно во избежание длительного воздействия гидродинамических нагрузок. Снимают понтоны, за исключением концевого участка пле-ти, ко-

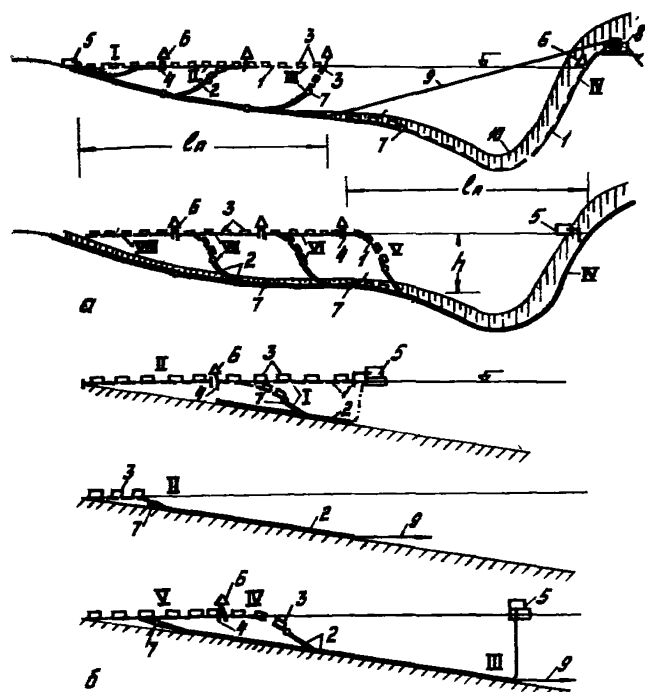


Рис.6. Схема нарезивания и укладки пletей газопровода, изготовленных на централизованной базе:

а-схема укладки трубопровода с нарезиванием на мелководном участке: I-IV-последовательные этапы нарезивания трубопровода в мелководной зоне и его протаскивания на глубоководном участке; V-VIII-последовательные этапы монтажа и укладки трубопровода на мелководном участке; б-вариант нарезивания пletей на мелководном участке с последовательным их протаскиванием; 1-трубопровод с воздухом; 2-трубопровод с водой; 3-понтони; 4-сткы пletей; 5-заполнительный агрегат; 6-компрессор; 7-разделитель; 8-тugовая лебедка; 9-тugовый трос; 10-траман

торый оставляют заполненным воздухом и лишь частично притягивают на безопасную по условиям судоходства и волнения глубину.

3.26. Последующее наращивание выполняют аналогично. Перед протаскиванием пласти, смонтированной указанным образом, из нее вытесняют воду с помощью разделителя.

4. УКЛАДКА ТРУБОВОДОВ С ТРУБОУКЛАДОЧНОЙ БАРЬЕРИ

Требования к трубам

4.1. Трубы, предназначаемые для укладки с трубоукладочной барьер, должны отвечать следующим требованиям:

иметь повышенные прочностные характеристики: временное сопротивление – $b_{sp} = 5200-5400 \text{ кгс}/\text{см}^2$, предел текучести – $b_T = 3800-4000 \text{ кгс}/\text{см}^2$;

должны быть испытаны на заводе на внутреннее давление согласно СНиП II-45-75;

иметь изоляционное покрытие усиленного типа, преимущественно заводского изготовления, отвечающее требованиям СНиП 45-75. Концы труб длиной 150 мм должны быть свободны от изоляции;

иметь сплошное кольцевое балластное покрытие (за исключением незаизолированных участков по концам), по возможности с большей плотностью.

4.2. Трубы балластируются в заводских условиях армированным бетоном (с использованием установки непрерывного набрызга или опалубки), а также непосредственно на переходе с использованием сборных кольцевых железобетонных грузов типа УТК [4].

4.3. Трубы, доставляемые на переход без утяжеляющего покрытия, должны иметь защитную обертку толщиной не менее 1 мм, предохраняющую изоляционное покрытие от механических повреждений при погрузочно-разгрузочных транспортных и монтажных работах.

4.4. Бетонное покрытие труб, предназначенных для укладки на глубоководных участках водоемов, не доступных для разработки траншей, должно обладать повышенной прочностью. Трубы с утяжеляющим покрытием и утяжеляющими грузами должны иметь маркировку в соответствии с "Руководством" [4].

4.5. Утилизирующие покрытия и грузы должны удовлетворять допускам по весу, линейным размерам и качеству изготовленной поверхности, которые регламентируются техническими условиями и нормативными документами. Точность измерения параметров, контролируемых в процессе подготовки трубопровода к укладке, регламентируется "Руководством по метрологическому обеспечению строительства подводных переходов магистральных трубопроводов" Р 391-80. М., НИИСТ, 1981 и "Инструкцией по метрологическому обеспечению контроля качества строительства магистральных трубопроводов" ИСЧ 2-141-82. М., НИИСТ, 1982.

4.6. Трубы с балластным покрытием доставляют на переход преимущественно водным транспортом, перегружают на береговую площадку и частично на трубобукладочную баржу с помощью плавучего крана. При перегрузке труб на берег кран вывешивается к временному причалу, а при перегрузке на трубобукладочную баржу – напосредственно к барже с подветренного борта. На берегу трубы складируют с помощью трубобукладчиков. Разгрузку судов производят при ское ветра не более 4 баллов. На барже создают запас труб, необходимый для ее бесстакановой работы, с учетом допустимой грузоподъемности баржи.

Состав комплекса трубобукладочных средств

4.7. В состав комплекса трубобукладочных средств входят:
трубобукладочная баржа для укладки и стиковки трубопроводов;

крановое судно для перегрузки труб с покрытием (или грузами) с транспортных барж на береговую площадку и на трубобукладочную баржу;

судно-буксировщик для транспортировки трубобукладочной баржи на переход и перестановки якорей в процессе укладки трубопровода;

водолазный бот для обслуживания водолазных работ при укладке трубопровода;

пасажирское судно для смены рабочих вахт и обслуживания команды трубобукладочного судна;

судно-заправщик для обеспечения трубопроводочной баржи и вспомогательных судов топливом, водой, смазочными материалами;

катер БМК для оперативной доставки людей и малых грузов на трубопроводочную баржу и вспомогательные суда.

4.8. Трубопроводочная баржа должна отвечать следующим требованиям:

максимальная осадка баржи в нерабочем положении должна допускать ее транспортировку по внутренним водным путям;

габариты баржи не должны препятствовать ее пропуску по судоходным каналам в районе аланзии;

баржа должна быть приспособлена для стыковки трубопроводов;

баржа может эксплуатироваться на внутренних водемах и прибрежных участках морей с ограничениями по гидрометеорологическим условиям;

грузоподъемность установленного на барже кранового оборудования, конструкция стингера и монтажной рамы, усилие натяжных устройств, мощность тяговой лебедки, удерживающая способность якорей, средства контроля должны обеспечивать безопасную укладку трубопровода на проектную глубину;

конструкция стингера должна позволять укладывать трубопроводы с понтонаами.

4.9. Для связи между судами используют телефонную и радиосвязь. Все суда должны иметь средства дальней радиосвязи. Дополнительно на всех судах и на береговом причале устанавливают радиотелефонную аппаратуру ближнего действия (типа УКВ).

Особенности проектных решений

4.10. При разработке проектов переходов многониточной системы трубопроводов через водохранилища с применением трубопроводочных комплексов необходимо рассмотреть:

возможность прокладки на переходе трубопроводов того же диаметра, что и на линейной части;

возможность и технико-экономическую целесообразность уменьшения расстояния между нитками (по сравнению с нормами

(СНиП II-45-75) и укладки нескольких трубопроводов в общую траншею с учетом конструктивных особенностей трубоукладочной баржи и гидрометеорологических условий на участке перехода;

дополнительные требования к трубам и мероприятиям по контролю их качества в процессе транспортировки, перегрузки и монтажа, гарантирующие надежность подводного трубопровода без предварительного (до укладки) испытания на внутреннее давление.

4.11. Отступления проектов от СНиП 45-75 и СНиП III-4280, обусловленные сплошной прокладкой трубопроводов с трубоукладочной баржи, не учитываемой действующими нормами, подлежат согласованию с Госстроем до пересмотра действующих норм.

4.12. Расстояние между трубопроводом, прокладываемым с баржи, и параллельной ниткой уложенного трубопровода определяется максимально возможным отклонением трубопровода от створа в процессе укладки. Это отклонение зависит от точности системы ориентации и конструктивных особенностей систем перемещения и удержания баржи в створе. В случае обоснованной возможности уменьшения расстояний между нитками менее 30 м (для газопроводов диаметром до 1020 мм) и менее 50 м (для газопроводов диаметром выше 1000 мм) следует рассмотреть варианты разработки подводной траншеи, при которых исключается работа земснарядов рядом с уложенными подводными трубопроводами. С этой целью предусматривают поэтапную разработку подводной траншеи соответственно этапам укладки трубопровода для нескольких ниток сразу. Уменьшение расстояний между нитками целесообразно, если при этом объемы работ сокращаются не менее чем на 20%.

4.13. Производительность земснарядов при разработке подводной траншеи должна быть достаточной для обеспечения необходимого темпа укладки трубопровода с трубоукладочной баржи (приложение 7). Земляные работы выполняют с опережением по отношению к укладке и с технологическим заделом, исключающим взаимные помехи земснаряда и трубоукладочной баржи при работе и перевозке якорей. Величина технологического задела должна составлять не менее 500 м.

4.14. Засыпка трубопровода допускается только после его испытания по завершении укладки.

Расчеты технологических параметров укладки трубопровода с трубоукладочного судна

4.15. Основным критерием при расчете является допустимая кривизна трубопровода в верхней (при сходе с баржи) и нижней (вблизи дна) критических зонах изгиба:

$$\rho_{min} \geq \frac{ED}{2(\sigma_g - \frac{N}{F})}, \quad (10)$$

где ρ_{min} – минимальный радиус кривизны трубопровода, см;
 D, F – соответственно диаметр, (в см) и площадь поперечного сечения трубы, см²;
 σ_g – допустимые монтажные напряжения в трубопроводе, кгс/см²;
 N – максимальная величина продольного растягивающего усилия в трубопроводе, кгс.

Минимальный радиус кривизны стингера, ограничивающего изгиб трубопровода в верхней зоне, должен быть не менее величины ρ_{min} из выражения (10).

4.16. Кривизна трубопровода в нижней зоне зависит от конструкции и длины стингера, глубин водоема, поперечных и продольных нагрузок на пролегающем участке.

Технологические и расчетные схемы укладки трубопровода с баржи показаны на рис.7, 8.

4.17. Параметры трубопровода: угол и высота в точке схода со стингера, длина пролета, реакции в опорных сечениях изменяются в процессе укладки и достигают предельных значений в зоне наибольших глубин и на примыкании к ней участке с обратным уклоном дна.

Расчет параметров трубопровода выполняют на основе следующих исходных данных, которые в каждом конкретном случае считают заданными:

- D – наружный диаметр;
- δ – толщина стенки трубы;
- D_l – наружный диаметр трубопровода с покрытием;
- m – масса снаряженного трубопровода;
- γ_w – выталкивющая сила воды;
- ρ – отрицательная плавучесть трубопровода;
- σ – допустимые монтажные напряжения;

J - момент инерции сечения трубы;
 W - момент сопротивления;
 F - площадь поперечного сечения трубы;
 α - угол наклона монтажной рамы;
 R - радиус кривизны стингера;
 $l_{ст}$ - длина стингера;
 $W_{ст}$ - плечевость стингера (при параллельном закреплении);
 T - nominalное усилие натяжных устройств.

4.18. Статический расчет трубопровода при укладке с трубоукладочной барике (применительно к прямолинейному стингеру) выполняют, исходя из следующих предпосылок (см. рис.7). Прямо-

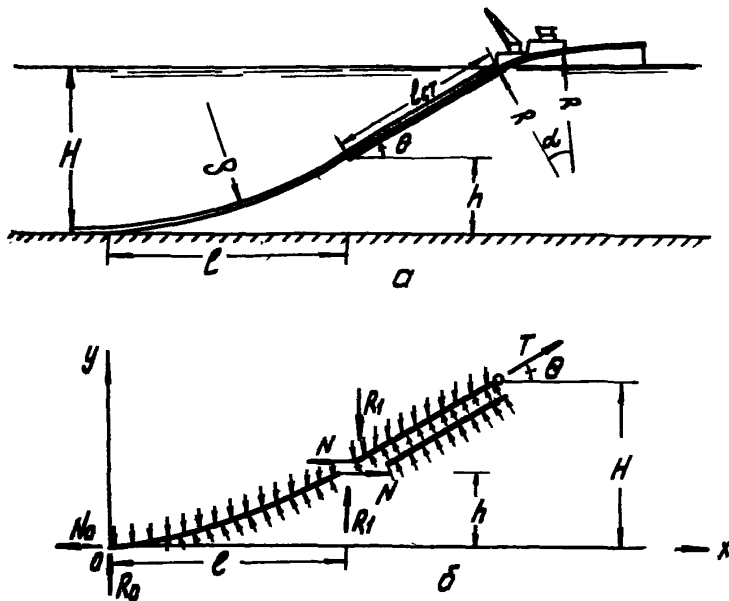


Рис.7. Схемы укладки трубопровода с трубоукладочной барике (прямолинейный стинггер):
 а - технологическая; б - расчетная

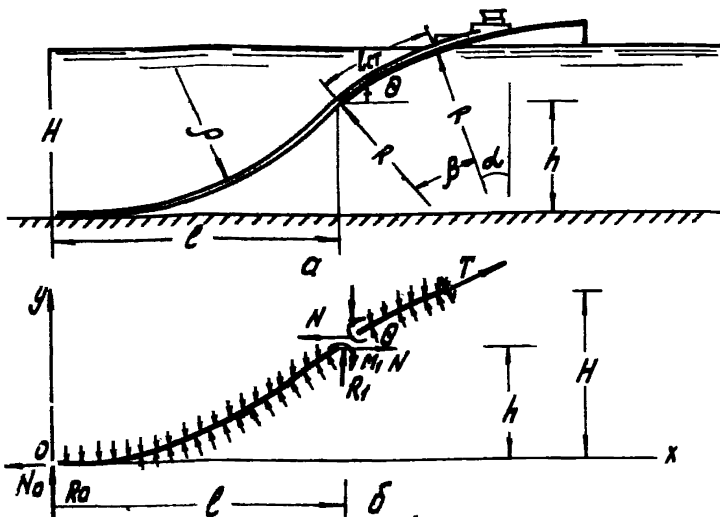


Рис. 8. Схемы укладки трубопровода с трубоукладочной баркой (жесткий криволинейный стингер):
а - технологическая; б - расчетная

линейный стингер имеет шарнирное закрепление в верхней части и регулируемую плечевую часть, позволяющие изменять угол наклона стингера в зависимости от глубины укладки трубопровода. Применение трубопровода к стингеру на участке ската контролируют системой датчиков. Стингер сопрягается с наклонной монтажной рамкой по допустимому радиусу R . В трубопроводе создают напряжение, величина которого ограничена номинальным усилием натяжных устройств.

Напряжение в трубопроводе регулируют путем изменения отрицательной плечевой части трубопровода, усилия натяжения и угла наклона стингера. Расчет выполняют в следующей последовательности:

определяют величину продольного растягивающего усилия N_a ,

которое можно создать в месте касания трубопроводом дна при минимальной глубине укладки H_0 и номинальном усилии натяжения T :

$$N_0 = T - q_B H_0, \quad (II)$$

где q_B – выталкиваемая сила, действующая на единицу длины трубопровода.

По формуле (IO) определяют минимальный допустимый радиус изгиба трубопровода;

определяют безразмерное соотношение $\frac{N_0}{P\varphi} = M_1(\varphi)$ по таблице 7 приложения 8 находят параметры $\varphi, h_1(\varphi), \theta_1(\varphi), Q(\varphi)$;

определяют расчетные параметры трубопровода на прямолинейном участке:

$$\ell = \varphi \sqrt{\frac{EJ}{N_0}}; \quad (I2)$$

$$h = h_1(\varphi) \frac{P E J}{N_0^2}; \quad (I3)$$

$$\operatorname{tg} \theta = \frac{P}{N_0} \sqrt{\frac{EJ}{N_0}} \theta_1(\varphi); \quad (I4)$$

определяют предельные значения параметров стингера:

$$l_{cm, \min} = \frac{H_0 - h}{\sin \theta}; \quad (I5)$$

$$Q = \operatorname{tg} \frac{\varphi}{2} P \sqrt{\frac{EJ}{N_0}} = Q(\varphi) P \sqrt{\frac{EJ}{N_0}} = \frac{Q(\varphi)}{\varphi} \rho \ell; \quad (I6)$$

$$q_{cm} = P + \frac{2Q}{l_{cm} \cos^2 \theta}. \quad (I7)$$

Безразмерные параметры вычисляют по формулам:

$$M_1(\varphi) = 1 - \frac{T}{C h \frac{\varphi}{2}}; \quad (I8)$$

$$h_1(\varphi) = \varphi \left(\frac{\varphi}{2} - t h \frac{\varphi}{2} \right); \quad (I9)$$

$$\theta_1(\varphi) = \frac{2h_1(\varphi)}{\varphi} = \varphi - 2t h \frac{\varphi}{2}; \quad (20)$$

$$Q(\varphi) = t h \frac{\varphi}{2}. \quad (21)$$

Фактические параметры стингера: угол поворота θ , длина l_{cm} , плавучесть q_{cm} должны быть не менее предельных значений, рассчитанных по формулам (I4), (I5), (I7).

Продольное растягивающее усилие, которое необходимо соз-

дать в точке касания трубопроводом дна N_0 , и угол склона трубопровода со стингера θ связаны с максимально возможной глубиной укладки следующей зависимостью:

$$H_a = \operatorname{tg} \theta \sqrt{\frac{EJ}{N_a}} \frac{\varphi}{2} + l_{cm} \sin \theta. \quad (22)$$

Относительную длину участка прилегания трубопровода к стингеру (минимальную длину стингера) определяют из выражения

$$\frac{l_{cm}}{H} = \frac{1}{\sin \theta} \left(1 - 0,75 \frac{P}{H} \operatorname{tg}^2 \theta \right). \quad (23)$$

Относительная высота точки отрыва трубопровода от стингера:

$$\frac{h}{H} = 0,75 \frac{P}{H} \operatorname{tg}^2 \theta; \quad \frac{h}{P} = 0,75 \operatorname{tg}^2 \theta. \quad (24)$$

Относительная длина пролета

$$\frac{\ell}{h} = \frac{2}{\operatorname{tg} \theta}; \quad \frac{\ell}{P} = 1,5 \operatorname{tg} \theta. \quad (25)$$

При заданном значении угла θ параметр φ определяют по табл. 7 приложения 8 из выражения

$$\psi(\varphi) = 2,18 \frac{M_i(\varphi)}{\varphi^2} = \frac{EJ}{P P^3 \operatorname{tg}^2 \theta}; \quad (26)$$

соответственно

$$N_0 = \frac{\varphi^2 EJ}{P^2}. \quad (27)$$

В частном случае, когда продольное усилие в точке касания трубопроводом дна равно нулю, параметры укладки находят из выражений:

$$\frac{\ell}{P} = 2,83 \sqrt{\frac{EJ}{P P^3}}; \quad (28)$$

$$\frac{h}{P} = \frac{8}{3} \frac{EJ}{P P^3}; \quad (29)$$

$$\operatorname{tg} \theta = 1,89 \sqrt{\frac{EJ}{P P^3}}. \quad (30)$$

Пример расчета технологических параметров укладки трубопровода с прямолинейного стингера дан в приложении 9.

4.19. Статический расчет подводного трубопровода, укладываемого с изогнутого криволинейного стингера, выполняют по программе, составленной на языке Фортран II, I2 . Расчетом определяют форму упругой линии, изгибающие моменты и напряжения в сечениях трубопровода для заданной глубины укладки в зависимости от параметров стингера и натяжных устройств. При этом программа находит такую форму упругой линии, при которой напряжения в сечениях трубопровода будут меньше допустимого значения.

Опускаемый с помощью стингера трубопровод принимает форму δ -образной кривой (рис.9). В верхней своей части он опирается на стингер, в нижней части между точкой ската со стингера и точкой касания дна находится в провисающем состоянии. Угол наклона касательной к изогнутой оси находится в пределах $\alpha \leq \theta \leq \frac{\pi}{2}$, где α - угол наклона монтажной рамы. В точке касания трубопровода с дном этот угол равен углу наклона дна φ .

В качестве математической модели, описывающей упругий изгиб трубопровода, принимают неразрезанную балку трубчатого сечения, подверженную одновременному действию осевых и попереч-

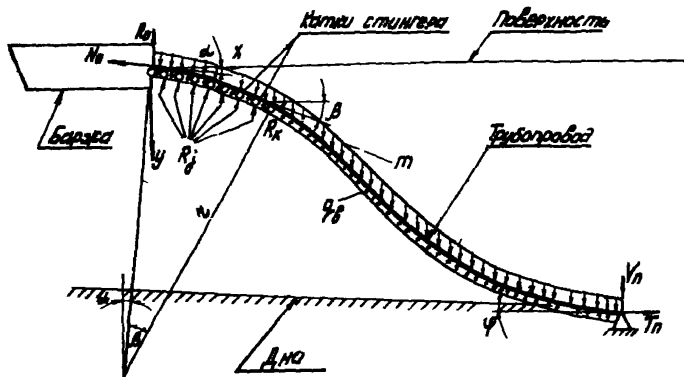


Рис.9. Расчетная схема трубопровода при укладке с трубокладочной баржей

ных нагрузок. Точка касания с дном представляется маркиро-не-подвижной опорой, роликовые опоры стингера - подвижными марками.

Считается, что на участке прилегания к стингеру трубопровод изгибается по кривой, описываемой радиусом кривизны стингера z . Сам стингер рассматривается как жесткая конструкция. Форма упругой линии трубопровода в провисшей части определяется системой дифференциальных уравнений, решение которой дано в работе [5].

4.20. При определении параметров укладки трубопровода с берега необходимо учитывать возможность случайных отклонений фактической величины отрицательной плавучести трубопровода от расчетного значения в большую сторону, что может привести к увеличению фактических напряжений на нижнем участке S -образной кривой.

Коэффициенты относительного увеличения отрицательной плавучести трубопровода определяют из выражения:

$$\left. \begin{aligned} K_1 &= 1 + \frac{\Delta \pi \pi}{\rho}; \\ K_2 &= 1 + \frac{\Delta w w}{\rho}, \end{aligned} \right\} \quad (31)$$

где $\Delta \pi$ - относительная величина нормативного допуска на массу трубопровода;

Δw - относительная величина нормативного допуска на водонемешение трубопровода;

π - расчетная величина массы единицы длины трубопровода, подготовленного к укладке;

w - расчетная величина водонемешения единицы длины трубопровода, подготовленного к укладке;

ρ - расчетная величина отрицательной плавучести трубопровода, подготовленного к укладке.

Из двух значений коэффициентов принимают наибольший.

Понтоны устанавливают из расчета отрицательной плавучести трубопровода, равной

$$\rho_1 = \frac{\rho}{K}, \quad (32)$$

где ρ - отрицательная плавучесть трубопровода, учитываемая при расчете его напряженно-деформированного состояния.

Минимальная расчетная величина отрицательной плавучести должна превосходить абсолютную величину нормативного допуска.

4.21. Возможность укладки трубопровода с криволинейного стынгера можно оценить с помощью формул (33)–(39), соответствующих частному случаю расчетной схемы при условии равенства нулю величины продольного усилия N_0 в точке касания трубопровода с дном:

$$\bar{e} = \frac{\ell}{P} = \sqrt{2\alpha} \left(1 + \sqrt{1 + \frac{P}{R}} \right); \quad (33)$$

$$\frac{h}{\delta} = \frac{1}{\alpha} \frac{\ell^4}{a} \left(\frac{\sqrt{2\alpha}}{\ell} - \frac{1}{4} \right); \quad (34)$$

$$\operatorname{tg} \theta = \frac{1}{2} \frac{\ell^3}{a} \left(\frac{\sqrt{2\alpha}}{\ell} - \frac{1}{3} \right); \quad (35)$$

$$\frac{H}{R} = \frac{h}{P} \frac{P}{R} + \cos \alpha - \cos \theta; \quad (36)$$

$$\frac{\rho_{cm}}{R} = (\theta - \alpha); \quad (37)$$

$$\alpha = \frac{EJ}{\rho \rho^3}; \quad (38)$$

$$T = g_b H. \quad (39)$$

Расчетные значения ρ_{cm} , H сопоставляют с заданными. При условии, что фактическая длина стынгера не менее расчетной, можно считать допустимым укладку трубопровода на расчетную глубину H с усилием натяжения T при отрицательной плазучести трубопровода P .

Пример оценки технологических параметров укладки приведен в приложении 10.

Технология укладки трубопроводов с трубоукладочного судна

4.22. Укладка трубопровода с трубоукладочной баржи должны предшествовать следующие работы:

измерение дна по створу перехода;

водолазное обследование дна водолема на участке бестраншейной укладки;

разработка подводной траассы в границах, обеспечивающих необходимый фронт работ для укладки трубопровода;

установка береговой опоры с блоком, изготовление оголовка трубопровода, подготовка оборудования и оснастки, необходимых для выполнения работ на первом этапе укладки;

установка светящихся отвальных знаков и ограничительных буев;

устройство временного причала для вспомогательных судов; устройство площадки для складирования труб;

доставка на переход и подготовка к укладке партии труб на первый этап укладки.

4.23. Прокладку трубопровода с трубобуксирной береги осуществляют в несколько последовательных этапов (рис. II):

укладывают трубопровод на одном из прибрежных участков путем протаскивания парализованной на барже плавти;

укладывают трубопровод на основном глубоководном участке с перемещением баржи;

укладывают трубопровод на другом прибрежном участке по аналогии с первым этапом;

соединяют основной и прибрежный участки в единую нитку.

4.24. Прокладку параллельных ниток трубопроводов выполняют в соответствии следующих требований:

уложенную нитку трубопровода обозначают буями через 250м; по трассе прокладываемой нитки устанавливают поплавки и выставляют отвальные знаки;

якоря трубобуксирочной береги укладывают на расстоянии не менее 100 м от проложенных ниток. Границы зоны укладки якорей обозначают вехами на берегу;

в процессе укладки контролируют расположение между параллельными нитками путем захолаживания по перечеркням между двумя контрольными отворами, обозначаемыми на захолаживании в момент их прохождения.

4.25. Укладку трубопровода с трубобуксирной береги выполняют в соответствии с проектом производства работ, в котором определяют:

границы последовательных этапов разработки трассы, укладки трубопроводов и их стиковки;

технологические параметры укладки трубопровода на каждом этапе и по участкам трассы: угол наклона стингера, усилие натяжения, отрицательную изогнутость трубопровода, расстояние между понтонами и другие;

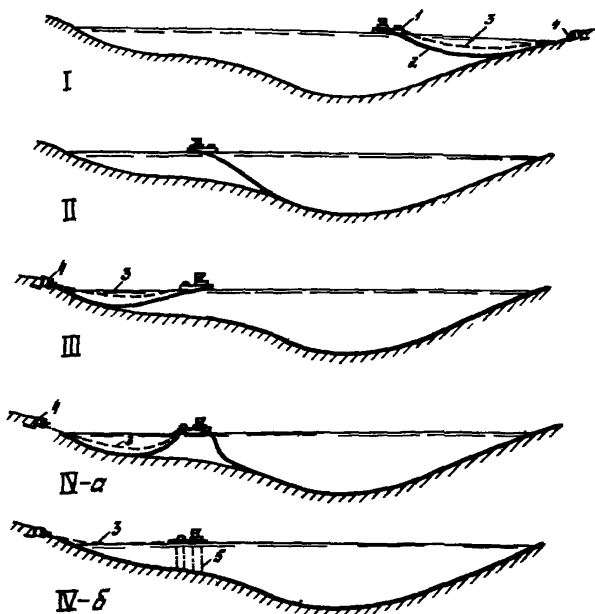


Рис.10. Схема прокладки подводного трубопровода на переходе с использованием трубосукальчной баржи:

I,II,III,IV-последовательные этапы монтажа и укладки трубопровода; I-трубосукальчная баржа; 2-трубопровод; 3-трос спусковой лебедки; 4-мертвик с блоком; 5-тросы хран-балок по борту баржи

технологическую последовательность работ на каждом этапе укладки;

методы контроля и порядок приема трубопровода.

4.26. Работы на барже выполняют круглосуточно и организуют по вахтовому методу.

4.27. Укладку трубопровода выполняют в следующей технологической последовательности.

Трубокладочную баржу устанавливают в створе перехода на минимальном удалении об берега, регламентируемом осадкой баржи. Конец троса со спусковой лебедки берега подают на берег, заводят через заанкеренный блок, вытягивают на баржу и закрепляют на оголовке первой трубы, уложенной на монтажной раме. После этого приступают к монтажу трубопровода, вытягивая его на берег с помощью спусковой лебедки. Шаг подъемки трубопровода соответствует длине стыкуемой трубы или секции. После выхода оголовка трубопровода на берег тяговый трос отсоединяют и сматывают на барабан спусковой лебедки. Дальнейшую укладку трубопровода осуществляют путем циклического перемещения баржи. В намеченном месте, удобном для последующейстыковки, трубопровод опускают на дно, предварительно заглубив его конец. Разворачивают трубокладочную баржу и осуществляют укладку прибрежного мелководного участка с помощью спусковой лебедки, как указано выше. На заключительном этапе выполняютстыковку прибрежного участка с уложенной ниткой трубопровода. Концы трубопровода поднимают с борта трубокладочной баржи иimmersing на нее грузозаподъемными средствами, центрируют, сваривают, проверяют качество сварки, изолируют и опускают на дно.

4.28. Во избежание недопустимых скимающих напряжений в трубопроводе и значительного его изгиба в плане перед спуском состыкованного участка создают предварительное натяжение трубопровода с помощью спусковой лебедки. Усилие натяжения должно быть достаточным для перемещения всего прибрежного участка и вытягивания схемы, равной разности длин криволинейного \S -образного участка (пристыковке) и его горизонтальной проекции.

4.29. Конструкция трубокладочного судна может предусматривать монтаж единичных труб или двух-трехзвенных секций. В первом случае сварочные работы выполняют поточно-расщепленным способом на трех сварочных пунктах. На первом пункте с помощью центратора производят сборку, прививку стыка, а при монтаже труб I220 мм – сварку первого слоя шва; на втором и третьем пунктах выполняют сварку остальных слоев шва.

При сборке трехзвенных секций все операции по сваркестыка выполняют расщепленным способом на одном пункте.

4.30. Производительность трубокладочной баржи определяется затратами времени на I цикл работ, складывающимися из

времени наиболее продолжительной операции на одном из постов и времени на перестановку баржи.

В приложении 7 приведены данные о времени выполнения отдельных видов работ и производительности трубосварочного баржи при монтаже трубопровода D1220 мм x 20 мм из одиночных труб и трехслойных секций. К наиболее продолжительным операциям, регламентирующими производительность баржи, относятся сварка и контроль стыка.

4.31. Для уменьшения напряжений в трубопроводе при укладке на максимальных глубинах его оснащают контомами, которые устанавливают в кормовой части судна. Контомы должны иметь устройство автоматической отстройки. По мере продвижения баржи участок трубопровода, уложенный на дно, освобождают от контомов. Контомы отстреливают секции на участках трубопровода длиной 200-400 м, доставляют на берегу и подготавливают к последующей установке. На конец каждого участка стыкуемых плавней контомы не навешивают.

5. ТЕХНИКА БЕЗОПАСНОСТИ

5.1. При разработке подводных трапеций и укладке подводных трубопроводов в вопросах техники безопасности следует руководствоваться:

СНиП II-4-80 "Техника безопасности в строительстве". М., Госстройиздат, 1980;

"Правилами техники безопасности при строительстве магистральных трубопроводов Миннефтегазстроя". М., Надра, 1970;

"Правилами техники безопасности при производстве подводно-технических работ на реках и водограничниках". Минречфлот РСФСР. М., Транспорт, 1965;

"Правилами охраны труда на водолазных работах". М., Транспорт, 1965.

5.2. При эксплуатации электроустановок электросетей и кабелей следует руководствоваться "Правилами технической эксплуатации электроустановок потребителей" и правилами техники безопасности при эксплуатации электроустановок потребителей". М., Энергопиздат, 1968.

5.3. При перемещении грузов кранами следует руководствоваться "Правилами устройства и безопасной эксплуатации грузоподъемных кранов". М., Металлургия, 1976.

5.4. Плавучие технические средства, используемые при разработке подводных траншей и укладке трубопроводов, должны отвечать требованиям Речного регистра РСМСР и быть укомплектованы штатным спасательным и спасательными средствами.

Перед началом подводно-технических и монтажных работ весь производственный персонал должен пройти инструктаж по технике безопасности с учетом конкретных условий строительства (независимо от сроков ранее проведенных инструктажей).

5.5. При транспортировке плеcт трубопровода наплаву следует руководствоваться Правилами пропуска судов, составов и имотов через судоходные каналы и Правилами плавания по внутренним судоходным путям. Не допускается причаливание лодок к плеcтам и нахождение на них людей.

5.6. При монтаже плеcт трубопровода и их перемещении необходимо соблюдать следующие требования: перед началом работ необходимо проверить состояние стальных полотенец, канатов, блоков и тормозных устройств кранов-трубоукладчиков;

В процессе работ следует строго соблюдать схему расположения механизмов, не следует превышать величины допустимых нагрузок, вибрации, а также высоты подъема трубопровода каждым краном-трубоукладчиком. В случае выхода из строя одного из кранов-трубоукладчиков необходимо немедленно опускать трубопровод на грунт.

5.7. При протаскивании трубопровода по дну водной преграды необходимо:

надежно прикрепить лебедку к мертвяковой опоре, рассчитанной на максимальное усилие;

использовать систему дистанционного управления лебедкой; проверить надежность тягового троса, в случае необходимости испытать его на разрывное усилие;

вывести весь персонал на безопасное расстояние от тяговых и якорных канатов, устанавливаемое проектом производства работ но не менее 20 м;

следить за показаниями динамометра лебедки, не допускать перегрузки троса свыше расчетной величины;

обеспечить синхронную работу тяговых средств на противоположных берегах с помощью радио-телефонной связи.

5.8. Укладка трубопровода в темное время суток допускается только при достаточном освещении района работ прожекторами и обеспечении соответствующей сигнализацией.

5.9. Во избежание аварии при укладке трубопровода необходимо выполнить технологические расчеты с учетом несущей способности трубопровода, действующих на него нагрузок, грузоподъемности используемых технических средств.

5.10. При погрузке и разгрузке транспортных судов, доставляющих на переход трубы, необходимо руководствоваться правилами по грузоподъемным устройствам судов.

5.11. В процессе эксплуатации судов земкаравана необходимо проверять состояние блоков, тросов, скоб и других приспособлений, используемых в процессе работы, и своевременно устранять их неисправности. Рабочие места во время ремонта должны иметь хорошее освещение.

Между плавучими средствами и берегом должна быть установлена надежная связь (радио, рупоры, сигналы огражнений).

5.12. При выполнении водолазных работ в процессе укладки и заглубления подводных трубопроводов необходимо руководствоваться требованиями техники безопасности в соответствии с ГОСТ 12.3.012-77 "Работы водолазные. Общие требования безопасности", ГОСТ 12.2.035-78 "Водолазное сваривание и средства обеспечения водолазных спусков и работ".

5.13. Разработку подводных траиней и укладку трубопроводов следует выполнять строго в соответствии с проектом производства и календарным графиком работ.

5.14. Монтаж трубопровода на трубоскладочной базе и его укладка допускаются при гидрологических и метеорологических условиях, определяемых правилами эксплуатации базы. При высоте волны, скоростях течения и ветра, превышающих допустимые значения, необходимо приостановить монтажные работы, установить заглушку на конце монтируемой пласти, опустить трубопровод на дно и вывести баржу в ближайшее место от оток.

5.15. Сварочное и специальное электрооборудование, используемое на береге и плавсредствах при монтаже трубопровода, должно иметь защелки.

5.16. Понтоны, используемые при укладке трубопроводов, должны иметь устройства автоматической отстроповки. Отстроповку допускается выполнять после вывода судов и плавучих технических средств из зоны эксплуатации pontонов.

ПРИЛОЖЕНИЯ

Приложение I

ПРИМЕР ТЕХНОЛОГИЧЕСКОЙ ПОСЛЕДОВАТЕЛЬНОСТИ И СХЕМА
РАЗРАБОТКИ ТРАНИЕМ НА ПЕРЕХОДЕ ЧЕРЕЗ Р. ОБЬ

Продольный профиль для реки и траншеи по створу перехода приведен на рис. I приложения I. Проектный объем разработки составляет 381 тыс.м³. Грунты - пески мелковернистые и среднезернистые. Разработка траншеи предусмотрена двумя земснарядами с одинаковой производительностью по грунту, но с разной глубиной грунтозабора: первый - до 12 м, второй - до 20 м.

Основой для прогнозирования возможных сроков начала и окончания работ служат графики хода уровней в створе перехода (рис.2 приложения I).

Суммарную суточную выработку и часовую производительность земснарядов (при двухсменной работе) определяем исходя из указанного проектного объема и возможной продолжительности работ (табл. I приложения I).

Таблица I

Водность года	Возможная продолжительность работ, сутки	Среднесуточная выработка, тыс.м ³	Производительность по грунту, м ³ /ч
Маловодный	90	4,7	460
Средний	70	6,1	600
Многоводный	40	10,6	1000

П р и м е ч а н и е. Производительность определяем с учетом коэффициента использования земснарядов по времени ($K=0,7$).

По условиям зависимости принимаем следующую последовательность работ: в первую очередь разрабатывают траншее на маловодном участке от ГК 16 до правого берега ГК 4, во вторую очередь - на глубоководном участке ГК 16 - левый берег.

Определим участки траншее, которые могут быть разработаны до проектных отметок земснарядом с глубиной грунтозабора 12 м: урез левого берега от ГК 23; островной участок ГК 15-9.

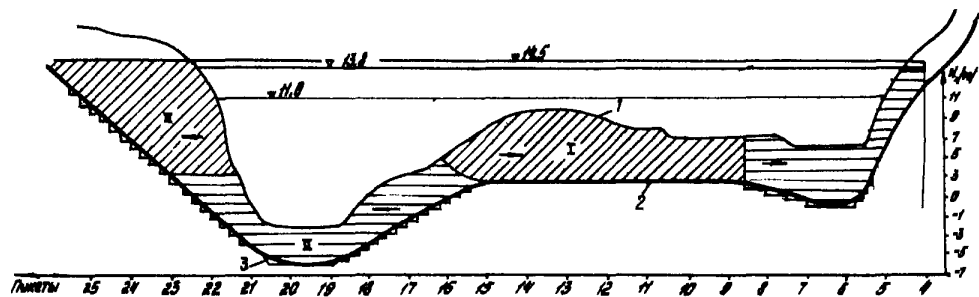


Рис. I. Схема разработки подводной траншеи двумя земснарядами:
I-первый этап работ; II-второй этап работ; 1-профиль дна раки; 2-проектный профиль траншеи;
3-стационарный рабочий профиль траншеи

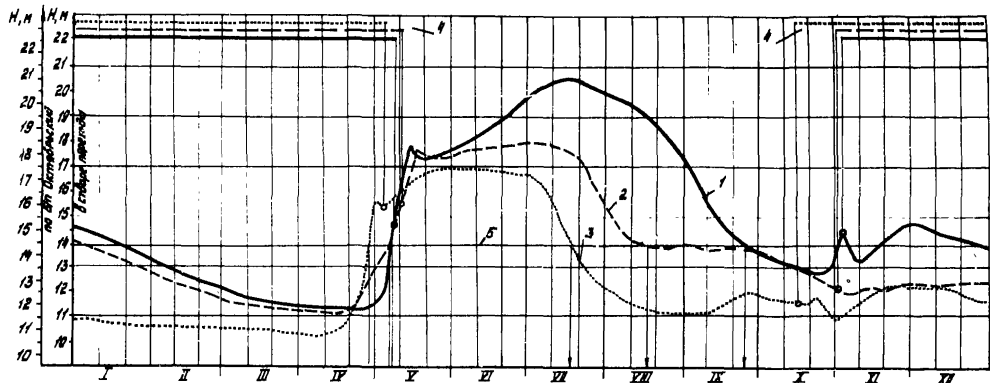


Рис.2. Графики хода уровней воды:
 1-многоводный год; 2-средний по водности год; 3-маловодный год; 4-продолжительность ледового
 периода; 5-строительный уровень воды

Определяем объем работ на этих участках (130 тыс.м³).

Исходя из одинаковой производительности земснарядов, планируем им равный объем работ - 190 тыс.м³.

Определяем участок траншеи, который можно разрабатывать до промежуточной отметки: ПК 23-21-70. Объем работ в 60 тыс.м³ на этом участке планируем земснаряду с глубиной грунтозабора 12 м.

Границы и очередность работы земснарядов показаны на схеме (см.рис. I приложения I). Направление движения земснарядов при разработке траншеи принято одинаковым - в сторону берега, что исключает взаимные помехи при перекладке якорей.

Ориентация земснарядов - визуальная, по береговым створам. Траншею разрабатывают в соответствии со ступенчатым рабочим профилем, заменяющим проектный профиль. В табл.2 приложения I приведена разбивка по участкам в границах первого этапа работ.

Таблица 2

№ участка в порядке его разбивки	Начало участка (пикет)	Длина участка м	Отметка дна разрабатываемой траншеи, м	Глубина опускания рабочего органа (от СРТ), м	Ширина траншеи по дну, м
I	8-50	50	1,5	12,3	10
2	8-00	50	1,0	12,8	10
3	7-50	50	0,5	13,3	10
4	7-00	120	0,0	13,8	10
5	5-80	10	0,7	13,0	10
6	5-60	10	1,4	12,4	10
7	5-50	10	2,0	11,8	10

Участок от ПК 5-50 до берега разбит на отреаки длиной по 10 м с шагом изменения глубин 0,7 м.

Траншею разрабатывают способом веерного павильонажа на полную глубину. При ширине траншеи по дну 11 м, длине грунторазрабатывающей рамы 30 м и глубинах от 3 до 14 м угол поворота земснаряда относительно линии створа α на рассмотренном выше участке составляет:

при $H = 14$ м; $\alpha = 8^{\circ}30'$;

при $H = 3$ м; $\alpha = 9^{\circ}30'$.

Расстояние от земснаряда (в фиксированной точке) до опорной

Точки на берегу измеряют по дальномеру. Пикетаж в точке грунтовзабора уточняют введением поправок к измеренным по дальномеру расстояниям. Поправки определяют из выражения (2). Например, при $L = 30$ м, $\ell_0 = 20$ м, $h_0 = 1$ м, $\alpha = 90^\circ$ значения поправок составят для максимального и минимального значений глубины на рассмотренном участке:

при $Z = 14$ м; $\Delta X = -6$ м;

при $Z = 3$ м; $\Delta X = -10$ м.

Для определения истинного местоположения (пикета) грунтовзаборного устройства вычитают из измеренного по дальномеру расстояния значение поправки с ее знаком и составляют дополнительную таблицу (табл.3 приложения I) с указанием для каждого участка контрольного расстояния по дальномеру.

Таблица 3

№ участка	Начало участка (пикет)	Расстояние до базовой точки на берегу, м	Поправка на положение грунтовзаборного устройства, м	Контрольное расстояние по дальномеру, м
4	7-00	350	-6	356

Аналогичные поправки вносят для всех участков ступенчатого профиля.

Приложение 2

РАСЧЕТ ДОПУСТИМОЙ ВЫСОТЫ ЗАБОЯ ПРИ ЗАГЛУБЛЕНИИ ПОДВОДНОГО ТРУБОПРОВОДА, УЛОЖЕННОГО НА ДНО

В зависимости от характера задач, решаемых при заглублении подводных трубопроводов, предварительно уложенных на дно водной преграды, определяют следующие технологические параметры:

допустимую высоту забоя h и пролет трубопровода ℓ между верхней и нижней точками опирания на дно при заданном значении предельного радиуса естественного изгиба ρ ;

длину пролета ℓ и максимальные изгибные напряжения в трубопроводе σ при известном значении высоты забоя (величины заглубления) - h .

Расчет выполняют по приближенной расчетной схеме, как балки на трех опорах, или по уточненной схеме, учитывющей упругость основания на верхнем участке опирания трубопровода. В последнем случае необходимо знать коэффициент поперечного сопротивления грунта (коэффициент постели).

Расчетная схема трубопровода - балки на трех опорах приведена на рис.3 приложения 2.

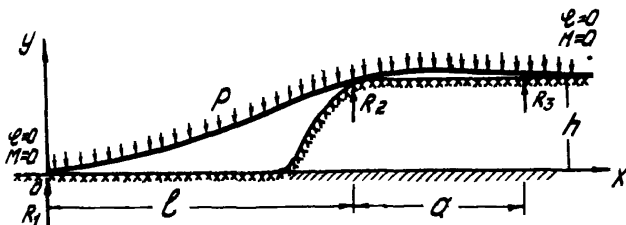


Рис.3. Расчетная схема трубопровода как балки на трех опорах

Расчетные параметры определяют по формулам, полученным на основе решения приближенного дифференциального уравнения изогнутой оси трубопровода [6]:

$$\frac{h}{\rho} = 1,07 \frac{EJ}{\rho \rho^3}; \quad (40)$$

$$\frac{\ell}{\rho} = \sqrt{52 \frac{EJ}{\rho\rho^3}} \frac{h}{\rho} = 2,73 \sqrt{\frac{EJ}{\rho\rho^3}} = 2,64 \sqrt{\frac{h}{\rho}}; \quad (41)$$

$$b = 177,5 \sqrt{\frac{\rho}{q_{tp}}} h = 0,134 \frac{\rho \ell^2}{W}, \quad (42)$$

где E — модуль упругости (для стали $E = 2,1 \cdot 10^6$ кгс/см 2);
 J — момент инерции поперечного сечения трубы, см 4 ;
 ρ — отрицательная плавучесть трубопровода, кгс/см;
 q_{tp} — масса трубы (без изоляции и пригрузки) на единицу длины, кг/см;
 W — момент сопротивления, см 3 .

Расчетная схема трубопровода как балки на упругом основании показана на рис. 4 приложения 2.

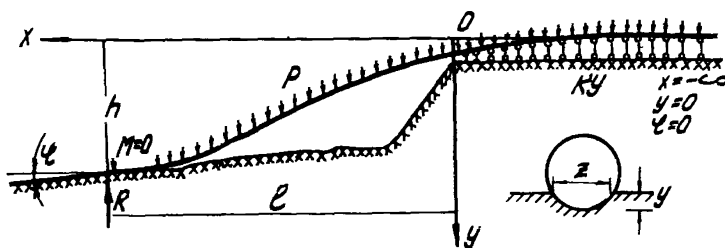


Рис. 4. Расчетная схема трубопровода как балки на упругом основании

Расчетные зависимости получены путем совместного решения дифференциальных уравнений изогнутой оси трубопровода для прямолинейного участка и верхнего участка опирания на грунт, рассматриваемого как полубесконечная балка на минклеровском основании [6]:

$$\frac{\ell}{\rho} = \sqrt{b \frac{EJ}{\rho\rho^3} \frac{l}{M}}; \quad (43)$$

$$\frac{h}{\rho} = 0,5 \frac{EJ}{\rho\rho^3} \frac{\bar{h}}{\bar{M}^2} = \frac{1}{72} \left(\frac{\ell}{\rho} \right)^2 \frac{\bar{h}}{\bar{M}}; \quad (44)$$

$$\bar{M} = 1 - \frac{2}{\psi} + \frac{2}{\psi^3} + 3 \eta \left(\frac{1}{\psi^3} - \frac{6}{\psi^4} \right); \quad (45)$$

$$\bar{h} = 1 + \frac{4}{\psi} + \frac{6}{\psi^2} + 12 \frac{\psi+1}{\psi^4} \zeta; \quad (46)$$

$$\psi = \beta \ell = \beta \rho \frac{\ell}{\rho}; \quad (47)$$

$$\zeta = \frac{K}{\rho \beta} \operatorname{tg} \alpha_0 = \frac{P}{D_1} \frac{K_a D_1^2}{\rho \beta \rho} \sqrt{\frac{g_o}{D_1}} \operatorname{tg} \alpha_0; \quad (48)$$

$$\beta \rho = \sqrt{\frac{K \rho^4}{4 E J}} = \sqrt{\frac{1}{4} \frac{\rho \rho^3}{E J} \frac{K_a D_1^2}{\rho} \frac{\rho}{D_1} \sqrt{\frac{g_o}{D_1}}}, \quad (49)$$

где K_a - коэффициент поперечного сопротивления грунта, кгс/см³;
 D_1 - наружный диаметр трубопровода с балластом, см;
 α_0 - угол взаимного поворота опорных сечений трубопровода, рад.

В частном случае при $\alpha = 0$, $\zeta = 0$ расчетные параметры определяют из выражений:

$$\frac{h}{D_1} = \left[0,283 \sqrt{\frac{\rho}{K_a D_1^2}} \cdot h_1(\psi) \right]^2; \quad (50)$$

$$h_1(\psi) = \psi \sqrt[3]{\psi^2 + 4\psi + 6}; \quad (51)$$

$$\frac{\ell}{\rho} = \sqrt{6 \frac{E J}{\rho \rho^3} \ell_1(\psi)}; \quad (52)$$

где ψ определяют по графику функции $F(\psi)$ (рис.5 ·приложения 2),

$$F(\psi) = \frac{\psi^2 - 2\psi + \frac{2}{\psi}}{\sqrt[3]{\psi^2 + 4\psi + 6}} = 2,5 \sqrt{\frac{E J}{\rho \rho^3} \frac{\rho}{D_1}} \sqrt[3]{\frac{K_a D_1^2}{\rho}}. \quad (53)$$

Значения функции $h_1(\psi)$ определяют по графику рис.5 приложения 2.

При $\alpha \neq 0$ расчет выполняют последовательным приближением:

при известных значениях параметров, входящих в правую часть выражения (53), по графику рис.5 приложения 2 определяют значение ψ_1 в первом приближении (при $\alpha = 0, \zeta = 0$) и соответствующее ему значение ζ_1 из выражения (54):

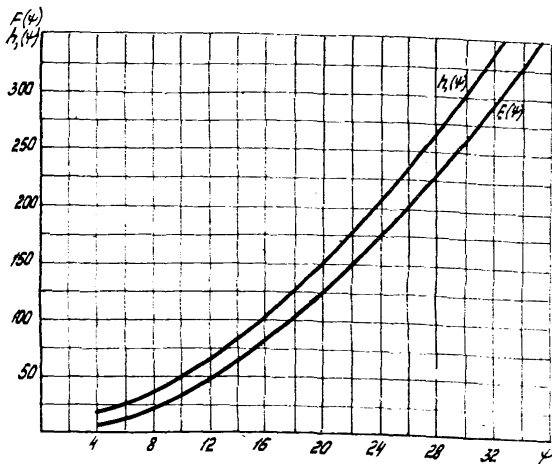


Рис. 5. Графики $F(\psi)$, $h_1(\psi)$

$$\zeta_1 = 1,07 \sqrt[4]{\frac{EJD_1K_a^2}{P^3}} \bar{\zeta} \operatorname{tg}\alpha; \quad (54)$$

$$\bar{\zeta} = \sqrt[4]{\psi^2 + 4\psi + 6} = \sqrt{\psi + 2}; \quad (55)$$

определяют параметр $R(\psi, \zeta)$ из выражения

$$R(\psi, \zeta) = \frac{\psi^2 M}{\zeta^{2/3}} = 2,38 \sqrt[3]{\frac{EJ}{P\rho^3}} \frac{1}{\operatorname{tg}^2\alpha}. \quad (56)$$

По табл. 4 приложения 2 при полученному ранее значении ζ_1 определяют уточненное значение ψ_2 . Если расхождение значений $\frac{\psi_2 - \psi_1}{\psi_1} \leq 0,05$, то дальнейшего уточнения не требуется.

Далее определяют параметр $\beta\rho$ из выражения

$$\beta\rho = \sqrt[3]{\frac{\zeta}{\operatorname{tg}\alpha} \frac{P\rho^3}{4EJ}}. \quad (57)$$

Таблица 4

§

Значения параметра $R(\psi, \zeta)$ для различных ψ

$\zeta \backslash \psi$	8	10	12	14	16	18	20	22	24	26	28
-100	0,86	2,58	4,43	6,95	9,77	12,07	16,12	19,89	24,03	28,53	33,4
-150	0,13	1,52	2,94	4,96	7,15	9,42	12,05	14,94	18,1	21,56	25,29
-200		0,90	2,07	3,84	5,67	7,57	9,76	12,17	14,81	17,67	20,77
-250		0,46	1,47	3,07	4,67	6,33	8,23	10,33	12,61	15,08	17,75
-300		0,13	1,02	2,51	3,96	5,44	7,14	9,01	11,04	13,24	15,62
-350			0,66	2,03	3,33	4,66	6,18	7,83	9,64	11,59	13,69
-400			0,39	1,72	2,95	4,21	5,64	7,20	8,89	10,72	12,70
-450			0,15	1,43	3,59	3,76	5,09	6,54	8,11	9,81	11,64
-500				1,19	2,27	3,39	4,63	5,99	7,47	9,06	10,76
-600				0,79	1,79	2,79	3,92	5,14	6,46	7,89	9,41
-700				0,48	1,40	2,33	3,36	4,49	5,69	6,99	8,37
-800				0,22	1,09	1,96	2,93	3,95	5,06	6,25	7,53
-900					0,83	1,65	2,55	3,52	4,55	5,66	6,85
-1000						0,61	1,38	2,24	3,15	4,13	5,17
-1500							0,49	1,19	1,93	2,71	3,54
-2000								0,55	1,26	1,88	2,59
-2500									0,69	1,30	1,93
-3000										0,88	1,46
100	3,61	4,88	6,58	8,68	II,19	I4,09	I7,38	2I,04	25,09	29,52	34,32
200	3,15	3,80	4,74	6,01		7,53	9,32	II,35	I3,63	I6,16	I8,92
300	3,07	3,40	4,08	4,99		6,II	7,44	8,96	I0,68	I2,58	I4,67
400	3,07	3,30	3,75	4,46		5,34	6,41	7,64	9,03	I0,59	I2,30
500		3,18	3,56	4,12		4,66	5,75	6,79	7,97	9,29	I0,75
I000		3,33	3,47				4,36		5,64		7,31
2000			3,32				3,68		4,34		5,28
3000							3,52		3,90		4,54

Определяют $\frac{\ell}{P} = \frac{\psi}{\beta P}$ и соответствующее ℓ .
находит

$$\frac{h}{P} = \frac{I}{72} \frac{P P^3}{E J} \left(\frac{\ell}{P} \right)^4 h, \quad (58)$$

где \bar{h} определяют из выражения (46).

ПРИМЕРЫ РАСЧЕТА

1. Определить допустимую высоту забоя траншеи при заглублении трубопровода 1020х20 мм с отрицательной плечевостью $\beta = -1,50$ кгс/см и допустимыми напряжениями $\sigma = 2300$ кгс/см², $J = 7,85 \cdot 10^5$ см⁴. Определить соответствующую длину пролета.

Определяем допустимый радиус изгиба и параметр $\frac{EJ}{P P^3}$

$$P \frac{EJ}{2\sigma} = \frac{2 \cdot 1 \cdot 10^6 \cdot 102}{2 \cdot 2300} = 466 \text{ м};$$

$$\frac{EJ}{P P^3} = 0,0109.$$

По формулам (40) и (41) находим:

$$\frac{h}{P} = 0,0166; \quad h = 5,4 \text{ м};$$

$$\frac{\ell}{P} = 0,285; \quad \ell = 133 \text{ м.}$$

2. Определить те же параметры при коэффициенте постели $K_0 = 1$ кгс/см³, если диаметр трубопровода с балластным покрытием $D_1 = 120$ см.

$$\text{Определяем } f_{(q)} = 2,5 \sqrt{0,0109} \sqrt{\frac{466}{1,2}} 3 \sqrt{\frac{1 \cdot (120)^2}{1,5}} = \Pi$$

По графику рис.5 приложения 2 находим $\psi = 18,4$, $\frac{h}{P} = 135$.

По формулам (50)–(52) находим

$$\frac{h}{D_1} = \left[0,283 \sqrt[3]{\frac{1,5}{1 \cdot (120)^2}} 135 \right]^2 = 3,23; \quad h = 3,9 \text{ м}$$

$$\frac{\ell}{P} = \sqrt{6 \cdot 0,0109 \cdot 1,06} = 0,271; \quad \ell = 126 \text{ м.}$$

3. Определить те же параметры при углах поворота опорных сечений $\alpha = +2^\circ$ и -2° , $\operatorname{tg} \alpha = \pm 0,0349$.

По формуле (54) находим:

$$\zeta_1 = 1,07 \sqrt[4]{\frac{2,1 \cdot 10^6 \cdot 7,85 \cdot 10^5 \cdot 120 \cdot 1}{1,5^3}} \cdot 4,52 \cdot 0,0349 = 467.$$

Определяем значение $R(\psi, \zeta)$ из выражения (56):

$$R(\psi, \zeta) = 2,38 \sqrt[3]{0,0109 \cdot \frac{1}{(0,0349)^2}} = 4,95.$$

По табл. 4 приложения 2 находим:

при $\zeta = 500$ $\psi = 16,3$; при $\zeta = 400$ $\psi = 15,3$.

Экстраполяцией находим при $\zeta_1 = 467$ $\psi_1 = 16$;

при $\zeta = -500$ $\psi = 200,5$; при $\zeta = -450$ $\psi = 19,9$.

Экстраполяцией находим при $\zeta_1 = -467$ $\psi_1 = 20,1$.

Уточняем значение ζ_2 и ψ_2 при $R(\psi, \zeta) = 4,95$

при $\alpha = +2^\circ$ $\zeta_2 = 438$, $\psi_2 = 15,7$;

при $\alpha = -2^\circ$ $\zeta_2 = -485$, $\psi_2 = 20,3$.

Дальнейшего уточнения не требуется.

Определяем параметр $\beta\rho$ из выражения (57)

при $\alpha = 2^\circ$

$$\beta\rho = \sqrt[3]{\frac{438}{0,0349} \cdot \frac{1}{4 \cdot 0,0109}} = 66;$$

при $\alpha = -2^\circ$

$$\beta\rho = \sqrt[3]{\frac{485}{0,0349} \cdot \frac{1}{4 \cdot 0,0109}} = 68,3.$$

Определяем $\frac{\rho}{\beta\rho} = \frac{\psi}{\zeta}$

при $\alpha = 2^\circ$ $\frac{\rho}{\beta\rho} = \frac{15,7}{66} = 0,238$, $\rho = 111 \text{ м}$;

при $\alpha = -2^\circ$ $\frac{\rho}{\beta\rho} = \frac{20,3}{68,3} = 0,297$, $\rho = 139 \text{ м}$.

По формуле (46) находим \bar{h}

при $\alpha = 2^\circ$ $\bar{h} = 2,72$; при $\alpha = -2^\circ$ $\bar{h} = 0,482$;

соответствующие значения:

при $\alpha = 2^\circ$ $\frac{h}{\rho} = \frac{1}{72} \cdot \frac{1}{0,0109} \cdot (0,238)^4 \cdot 2,72 = 0,01111$;

при $\alpha = -2^\circ$ $\frac{h}{\rho} = \frac{1}{72} \cdot \frac{1}{0,0109} \cdot (0,297)^4 \cdot 0,482 = 0,0047$.

Допустимый перепад отметок в верхнем и нижнем спорных сечениях $h = 5,18$ м при $\alpha = 2^0$;
 $h = 2,2$ м при $\alpha = -2^0$.

Приложение 3

ПРИМЕР РАСЧЕТА ГРУШОВОЙ РАССТАНОВКИ ПОНТОНОВ ПРИ УКЛАДКЕ ТРУБОПРОВОДОВ СПОСОБОМ ПРОТАСКИВАНИЯ

Определить длину, максимальную высоту и напряжения в профиле трубопровода I220x20 мм на участке отрыва его от дна при сосредоточенном закреплении понтонов грузоподъемностью 10 т грушами по 3 понтона. Отрицательная плечевая часть трубопровода без понтонов - 270 кгс/м, с понтонами - 150 кгс/м.

Длину пролета определяем по формуле (4):

$$L = \frac{3 \cdot 30000}{2 \cdot 270} = 167 \text{ м.}$$

Наибольшую высоту подъема от дна определяем по формуле (5):

$$z = \frac{2,7 \cdot (83 \cdot 10^3)^4}{72 \cdot 2,1 \cdot 10^6 \cdot 1,36 \cdot 10^6} = 62 \text{ см,}$$

а максимальные напряжения в месте закрепления понтонов - по формуле (6):

$$\sigma = 257 \sqrt{\frac{270}{592} \cdot 62} = 1367 \text{ кгс/см}^2.$$

Расстояние между грушами понтонов находим из выражения (7):

$$\ell_{\text{понт}} = \frac{30000}{270 - 150} = 250 \text{ м.}$$

Относительная величина поверхности соприкосновения трубопровода с грунтом:

$$K = I - \frac{167}{250} = 0,33.$$

Усилие сцепления трубопровода с грунтом уменьшается обратно пропорционально величине К, т.е. в 3 раза.

СТАТИЧЕСКИЙ РАСЧЕТ ПОДВОДНОГО ТРУБОПРОВОДА
ПРИ УКЛАДКЕ СВОБОДНЫМ ПОГРУЖЕНИЕМ

В настоящем приложении излагаются основные положения методики статического расчета подводного трубопровода, укладываемого путем залива воды в полость. В приложении I3 приводится программа на языке Фортран, позволяющая определять форму упругой линии, изгибающие моменты, напряжения и усилия в сечениях трубопровода в зависимости от его параметров, плавучести и натяжения, а также методика определения оптимального режима укладки.

При погружении балластированного трубопровода заливом в него воды с учетом наличия разгружающих понтонов и натяжения на трубу в ее провисающей части, когда трубопровод принимает форму

S -образной кривой, действуют следующие силы:

M , - собственный вес трубы, равномерно распределенный по ее длине;

Γ_b - выталкивавшая сила воды;

N_a - сила натяжения, приложенная к трубопроводу;

R_n - распределенная реакция упругого основания, действующая на лежащий на дне участок погруженного трубопровода;

B - выталкивавшая сила понтонов, которая выбирается из условия $B = KR^2$,

где K - некоторый коэффициент ($K > 1$), учитывающий за-
пас плавучести;

P - подводный вес балластированного трубопровода (на единицу длины);

S - расстояние между понтонами.

В залитой части трубы учитывается также вес воды, находящейся внутри нее.

Изгиб трубопровода сопровождается большими угловыми перемещениями. Угол наклона касательной к изогнутой оси трубы (θ), отсчитываемый от горизонтальной оси по часовой стрелке, меняется от 0 (на поверхности водоема) до $\frac{\pi}{2}$ (в провисающей части). В точке касания с дном угол θ равен углу наклона дна водоема φ .

В качестве математической модели, описывавшей упругий изгиб трубопровода, прината модель длинной непрерывной балки трубчатого сечения на двух опорах (рис.6 приложения 4), под-

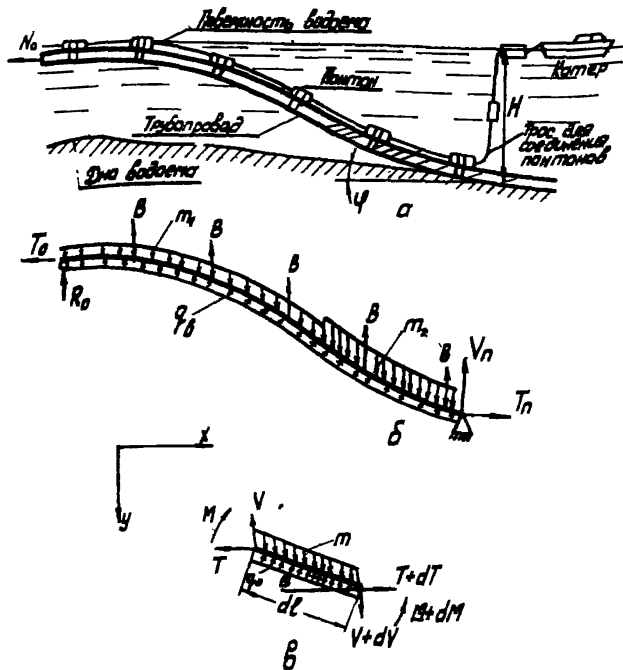


Рис.6. Расчетная схема трубопровода при укладке способом свободного погружения:

а-положение трубопровода; б-распределение усилий на провисающем участке; в-распределение усилий в элементе трубопровода $d\ell$

вергаящейся одновременно действию продольной силы N_0 , равномерно распределенных поперечных нагрузок m_1 и m_2 , отвечающих собственному весу трубы без воды и с водой, а также сосредоточенных сил B . Кроме того, по всей длине действует выталкивющая сила q_B , которая через силу Архимеда q выражается зависимостью

$$q_s = q \cos \theta. \quad (59)$$

Точка касания с дном представляется шарнирно-неподвижной опорой, последний неупроченный понтон подвижным шариром. Под действием приложенных нагрузок в шарнирно-неподвижной опоре возникает реакция, показанная на рис.6 приложения 4 ее составляющими T_n и V_n .

Форму упругой линии трубопровода в провисающей части определяют по следующим дифференциальным уравнениям:

$$\frac{d\tau}{dl} + \frac{q}{2} \sin 2\theta = 0; \quad (60)$$

$$\frac{dv}{dl} + m - q \cos^2 \theta = Q; \quad (61)$$

$$\frac{dm}{dl} + \tau \sin \theta - \left(V - \frac{m-q}{2} dl \right) \cos \theta = 0; \quad (62)$$

$$\frac{d\theta}{dl} = - \frac{M}{EJ}; \quad (63)$$

$$\frac{dx}{dl} = \cos \theta; \quad (64)$$

$$\frac{dy}{dl} = \sin \theta, \quad (65)$$

где τ и V — горизонтальная и вертикальная составляющие сил, действующих в сечении;

M — изгибающий момент;

q — сила Архимеда на единицу длины $q = \gamma_s \frac{\pi D^2}{4}$;

γ_s — удельный вес воды;

D — диаметр трубопровода с учетом утяжеляющего бетонного слоя.

Система дифференциальных уравнений (60)–(65) должна удовлетворять граничным условиям в точке опирания на последний неупроченный понтон (в точке 0) и в точке касания с дном (точке n). Однако сама область не определена и положение точки n неизвестно. Поставленная задача формулируется как задача Коши для системы нелинейных уравнений (60)–(65) при начальных условиях в точке 0 ($l = 0$):

$$\left. \begin{array}{l} x_0 = 0; \\ y_0 = 0; \\ \theta_0 = 0; \\ T_0 = N_0. \end{array} \right\} \quad (66)$$

На нижнем конце трубопровода в точке n граничными условиями являются:

$$\left. \begin{array}{l} \theta_n = \varphi; \\ M_n = 0. \end{array} \right\} \quad (67)$$

Считаем, что на больших глубинах упругость основания не влияет на величину реакции дна.

Неизвестными на верхней опоре являются поперечная сила V_0 и момент M_0 . Решаем задачу следующим образом.

Считаем, что для понтонов в его предельном состоянии (перед потоплением) действительна следующая формула:

$$V_0 = \beta - \frac{\rho s}{2}. \quad (68)$$

Определяя момент на верхней опоре по формуле

$$M_0 = x [M] \quad (0 \leq x \leq 1), \quad (69)$$

решаем задачу Коши при начальных условиях (66), (68), (69).

Здесь значения $[M]$ определяют исходя из условия, чтобы максимальные напряжения в сечениях трубопровода не превышали допускаемых:

$$[M] \leq W([G] - \frac{N}{Q}), \quad (70)$$

где $[G]$ – допустимое напряжение.

Поскольку обетонирование трубы незначительно увеличивает ее жесткость, при определении площади поперечного сечения Q , момента сопротивления W и момента инерции J в расчет принимаются параметры, характеризующие металлическую трубу.

Задача Коши решается для ряда значений момента M_0 , определяемого формулой (69). То решение, которое удовлетворяет с заданной точностью граничным условиям в точке n $\theta_n = \varphi$, $M_n = 0$, и будет решением поставленной задачи об изгибе трубопровода.

Интегрирование уравнений (60)–(65) при начальных условиях (66), (68), (69) выполняется методом конечных разностей по следующим рекуррентным формулам для узлов сетки $\ell_i = i\pi$ ($i = 1, 2, \dots, N$), где h – шаг сетки:

$$\theta_{i+1} = \theta_{i-1} - \frac{2h}{EJ} M_i; \quad (71)$$

$$T_{i+1} = T_i - \frac{qh}{2} \sin 2\theta_{i+1}; \quad (72)$$

$$V_{i+1} = V_i - h (\pi - q \cos^2 \theta_{i+1}); \quad (73)$$

$$M_{i+1} = M_i + h \left\{ \left[V_i - \frac{(\pi - q)h}{2} \right] \cos \theta_{i+1} - T_i \sin \theta_{i+1} \right\}; \quad (74)$$

$$x_{i+1} = x_i + h \cos \theta_{i+1}; \quad (75)$$

$$y_{i+1} = y_i + h \sin \theta_{i+1}. \quad (76)$$

Путь решения разностной задачи следующий: вычислив по формуле (68) V_0 и задавшись по формуле (69) значением M_0 , выполним процесс (71)–(76) до тех пор, пока не будет удовлетворено граничное условие в нижней точке для угла θ .

При этом задается также положение уровня залива воды в трубопроводе (оно может задаваться как глубиной залива и сравниваться с координатой Y , т.е. в виде коэффициента $C = \frac{h_3}{Y}$, так и в виде координаты по переменной $\ell(\ell_3)$, т.е. $C = \frac{\ell_3}{\ell}$). Соответственно в формулах (71)–(76) подставляется значение M_1 , либо M_2 . Следует иметь в виду, что при достижении узлов сетки, совпадающих с понтонами, сила V пересчитывается с учетом грузоподъемности понтонов B .

После этого проверяется второе граничное условие ($M_N = 0$). Если оно не выполнено, меняется X и решается задача при другом граничном условии M_0 . При некотором значении M_0 удовлетворяются оба граничных условия в точке ℓ/N , что свидетельствует о решении задачи.

Напряжения в любой точке ℓ не должны превышать допустимые, т.е. должно соблюдаться условие

$$\sigma_i = \frac{N_i}{\Omega} \pm \frac{M_i}{W} \leq [\sigma], \quad (77)$$

где $N_i = T_i \cos \theta_i + V_i \sin \theta_i$. (78)

Программа *SPT* позволяет находить форму упругой линии, изгибающие моменты, напряжения и усилия в сечениях труб в зависимости от натяжения и параметров трубопровода.

ОПИСАНИЕ ПРОГРАММЫ

Исходные данные

GP - грузоподъемность понтонов, кг;

F1 - угол наклона дна, рад;

TETA(i) - начальный угол наклона трубопровода, рад;

X(1), Y(1) - начало декартовой системы координат, м;

YH - предполагаемая глубина укладки, м;

E - модуль упругости материала трубы, кгс/м²;

EP - точность удовлетворения граничного условия для момента в точке касания дна;

RU - начальное натяжение N_0 , кгс;

RO - плотность воды ρ , кг/м³;

HP - расстояние между понтонами, м;

HL - шаг сетки *h* разностной схемы при решении задачи Коши МКР, м;

DS - допустимое напряжение [*б*], кгс/м²;

P1 - число *J*;

D1 - внешний диаметр трубы, м;

D2 - внутренний диаметр трубы, м;

D3 - внешний диаметр трубы с учетом обетонирования, м;

BM - отрицательная плывучесть трубопровода, кгс/м.

Информация, выводимая на печать

Исходные данные

D1, D2, D3 - диаметры *d*, *d₁* и *D*;

P - отрицательная плывучесть *p*;

F1 - изгибная жесткость *EJ*;

B - грузоподъемность понтонов *B*;

S - пролет между понтонами *s*;

HW - уровень залыва воды *h_z*;

F1 - угол наклона дна *φ*:

Начальные условия

ТЕТА - угол наклона θ_0 ;

x_i, y_i - координаты x_i, y_i ;

T - горизонтальная составляющая T_a ;

V - вертикальная составляющая V_a ;

M - изгибающий момент M_a ;

CAPPA - коэффициент χ ;

Решение

"УЗЛ" - номер узла i ;

X - абсцисса x_i ;

Y - ордината y_i ;

T - горизонтальная составляющая усилия T_i ;

V - вертикальная составляющая усилия V_i ;

N - продольное усилие N_i ;

Q - перерезывающая сила Q_i ;

M - изгибающий момент M_i ;

SIGMA - нормальное напряжение σ_i .

П р и м е ч а н и я: 1. Уровень залива воды определяется в подпрограмме *SUBROUTINE FS* (величина *9Z*) следующим образом:

$$YZ = C YH.$$

2. При значении $\theta_i < TD$ шаг разностной схемы h уменьшается в *CDR* раз. Величина *TD* вычисляется внутри подпрограммы *SUBROUTINE FS* по формуле $TD = CDT * 1,7453E-2$

(если *CDT* = 1, то *TD* = 0,1⁰, *CDT* = 2, то *TD* = 0,2⁰ и т.д.)

3. Значения величин *C, CDR* и *CDT* задаются в подпрограмме *SUBROUTINE FS*.

ПРИМЕР РАСЧЕТА

Определить возможную глубину укладки и выполнить статический расчет трубопровода.

Исходные данные

$d = 1,02 \text{ м}; \quad B = 5000 \text{ кг};$

$d_1 = 0,98 \text{ м}, \quad S = 28 \text{ м};$

$D = 1,20 \text{ м}; \quad P = 150 \text{ кгс/м};$

$m_1 = 1280,4 \text{ кгс/м}; \quad N_0 = 50000 \text{ кгс};$

$$\begin{aligned}
 P_2 &= 2034,0 \text{ кгс/м}; \quad \varphi = 0; \\
 E &= 2,1 \cdot 10^{10} \text{ кгс/м}^2; \quad M_{\eta} = 0; \\
 [6] &= 3 \cdot 10^7 \text{ кгс/м}^2; \quad h = 2 \text{ м}; \\
 C &= 0,8.
 \end{aligned}$$

Точность решения

$$\begin{aligned}
 \theta_{\eta} &= \pm 0,5^\circ \\
 M_{\eta} &= \pm 0,005 [\text{м}].
 \end{aligned}$$

Решением задачи получены: конфигурация упругого изгиба трубопровода, эпюры напряжений, изгибающих моментов и усилий в трубопроводе. На рис.7 приложении 4 представлены конфигурация упругого изгиба и эпюра напряжений в трубопроводе, скачки напряжений соответствуют местам крепления понтонов. Максимальное напряжение на верхнем участке упругого изгиба $\sigma_{\max,B} = 0,91 \cdot 10^7 \text{ кгс/м}^2$, на нижнем участке $\sigma_{\max,H} = 2,3 \cdot 10^7 \text{ кгс/м}^2$, т.е. меньше допустимого при глубине укладки $H = 33 \text{ м}$.

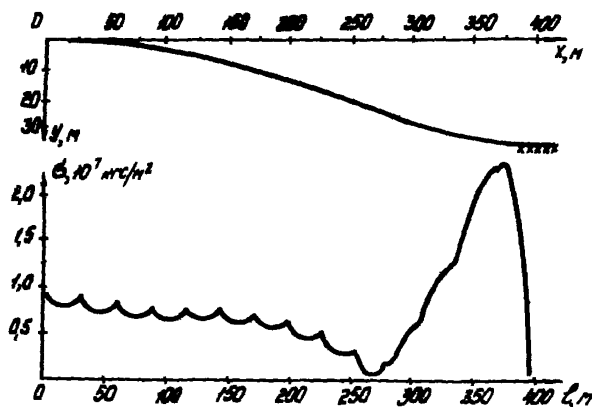


Рис. 7. Конфигурация трубопровода и эпюра напряжений (6) при укладке свободным погружением

Для определения предельно допустимой глубины укладки необходимо произвести ее расчет для ряда значений C , соответствующих различным уровням залива воды в трубопроводе и определяющих при всех остальных заданных параметрах глубину его

укладки. По результатам расчетов строятся графики зависимости $b_{\max H} = f(H)$. Предельно допустимая глубина укладки соответствует значению $b_{\max H} = [b]$. На рис.8 приложения 4 представлены графики зависимости $b_{\max H} = f(H)$ для различных значений напряжения N_0 и расстояния между понтонами S :
 1 - $N_0 = 50$ тс, $S = 20$ м; 2 - $N_0 = 50$ тс, $S = 24$ м;
 3 - $N_0 = 0$, $S = 28$ м; 4 - $N_0 = 25$ тс, $S = 28$ м; 5 -
 $N_0 = 50$ тс, $S = 28$ м; 6 - $N_0 = 75$ тс, $S = 28$ м;
 7 - $N_0 = 100$ тс, $S = 28$ м.

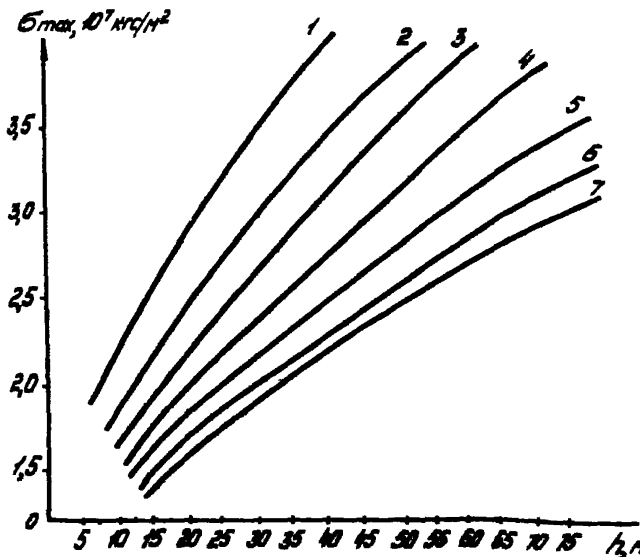


Рис.8. Графики зависимости максимальных напряжений в нижней части упругого изгиба трубопровода от глубины укладки при различных значениях запаса плывучести P_n (кгс/м) и усилия натяжения N (тс):

1 - $P_n = 100$, $N = 50$; 2 - $P_n = 58$, $N = 50$; 3 - $P_n = 29$, $N = 0$; 4 - $P_n = 29$, $N = 25$; 5 - $P_n = 29$, $N = 50$; 6 -
 $P_n = 29$, $N = 75$; 7 - $P_n = 29$, $N = 100$

Пользуясь такими графиками, можно определить величины натяжения и плавучести трубопровода, необходимые для его укладки на различные глубины водоема.

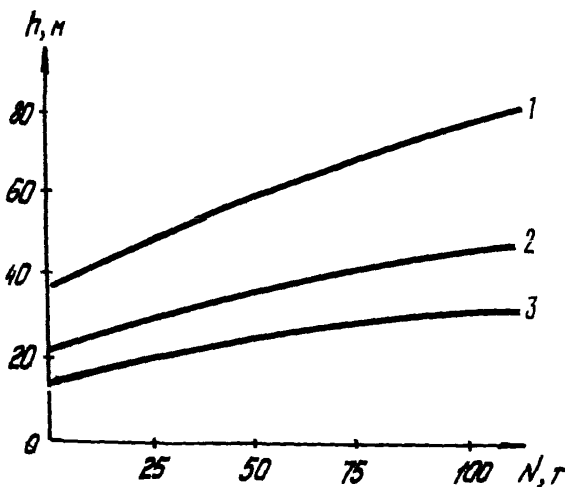


Рис.9. Графики зависимости $h = f(N)$, при различном запасе плавучести плети $P_{\text{пл}}$ (кгс/м):
I - 29; 2 - 58; 3 - 100

На рис.9 представлены графики зависимости допустимой глубины укладки H от натяжения N_0 при $[6] = 3 \cdot 10^7 \text{ кгс/м}^2$ для различных значений избыточной плавучести плети $P_{\text{изд}}$: I - $P_{\text{изд}} = 28,6 \text{ кгс/м}$ ($S = 28 \text{ м}$); 2 - $P_{\text{изд}} = 58 \text{ кгс/м}$ ($S = 24 \text{ м}$); 3 - $P_{\text{изд}} = 1000 \text{ кгс/м}$ ($S = 20 \text{ м}$). Как видно из графиков рис.9, допустимая глубина укладки обетонированного трубопровода увеличивается с увеличением натяжения и с уменьшением запаса плавучести плети. Оптимальный режим укладки трубопровода можно обеспечить, регулируя величину натяжения в зависимости от глубины дна водоема в соответствии с графиками рис.9.

РАСЧЕТ ТЕХНОЛОГИЧЕСКИХ ПАРАМЕТРОВ УКЛАДКИ
ТРУБОПРОВОДА СВОБОДНЫМ ПОГРУЖЕНИЕМ
С САМОНАТЯЖЕНИЕМ

Конструктивные параметры упругого элемента определяют, исходя из расчетных величин продольного растягивающего усилия T и продольного перемещения плавающего участка трубопровода δ_c . Величину δ_c определяют из выражения

$$\delta_c = \delta_{\Sigma} - \delta_T = \delta_{u_2} - \delta_{u_1} + \delta_p - \delta_T, \quad (79)$$

где δ_{u_2} - перемещение плавающего конца трубопровода при изгибе по S -образной кривой, соответствующее максимальной глубине погружения трубопровода при расчетной величине продольного усилия T , равное разности длин S -образной кривой и ее горизонтальной проекции;

δ_{u_1} - то же при укладке трубопровода свободным погружением ($T = 0$) на промежуточную глубину H_1 ;

δ_p - перемещение плавающего конца трубопровода за счет разности длин продольного профиля dna траншеи и ее горизонтальной проекции для участка с глубинами от H_1 до H ;

δ_T - деформация растяжения трубопровода от продольного усилия T .

Величину δ_u вычисляют на ЭВМ в соответствии с методикой и программой, приведенными в приложении 4.

Величину δ_p определяют на основании проектного продольного профиля dna траншеи, который разбивают на прямолинейные и криволинейные отрезки.

Разницу между длиной наклонного прямолинейного отрезка и его проекцией вычисляют по формуле

$$\Delta_{pr_n} = l_n (\sqrt{1 + i_n^2} - 1), \quad (80)$$

где l_n - длина горизонтальной проекции отрезка, см;

i_n - его уклон;

n - индекс (порядковый номер) отрезка.

Разницу между длиной криволинейного отрезка и его горизонтальной проекцией вычисляют по приближенной формуле

$$\Delta_{kp_k} = R_k \alpha_k \frac{(c_{1,k} + c_{2,k})^2}{8}, \quad (81)$$

где R_K – радиус кривой, м;

α_K – угол поворота кривой, рад;

$\alpha_1 K, \alpha_2 K$ – вертикальные углы в начале и конце кривой, рад.

Общую разницу длин линии продольного профиля дна и ее горизонтальной проекции находят суммированием значений Δp_{pK} и Δk_{pK} по всем отреакам:

$$\delta_p = \sum_i^n \Delta p_{pi} + \sum_i^n \Delta k_{pi} . \quad (82)$$

Величину упругих деформаций растяжения трубопровода вычисляют по формуле

$$\delta_r = \frac{T}{F} \mathcal{L}_r , \quad (83)$$

где T – расчетная величина продольного усилия, кгс;

F – площадь поперечного сечения трубы, см²;

\mathcal{L}_r – длина растянутого участка трубопровода, см.

При использовании в качестве упругого элемента стального троса его длину δ_{rp} определяют из условия

$$\frac{T \ell_{rp}}{E_{rp} F_{rp}} \leq K \delta_c , \quad (84)$$

где T – расчетная величина продольного усилия натяжения трубопровода при максимальной глубине укладки, кгс;

δ_c – максимальное значение величины продольного перемещения конца трубопровода, см;

E_{rp} – модуль упругости каната, кгс/см²;

F_{rp} – площадь поперечного сечения всех проволок каната, см²;

K – понижающий коэффициент, учитывающий возможные отклонения фактических деформаций троса от расчетных в большую сторону ($k = 0,8$).

Разрывное усилие троса T_p должно существенно превышать натяжение T с учетом того, что фактические деформации троса могут оказаться меньше расчетных и, следовательно, перемещению δ_c будет соответствовать продольное усилие $T_p > T$.

Для более точного определения относительной деформации и расчетной длины троса рекомендуется провести его испытания при условиях, близких к расчетному значению T .

ПРИМЕР РАСЧЕТА

Определить технологические параметры укладки трубопровода D1020x16 мм на глубину 35 м погружением заливом воды с само-натяжением трубопровода в процессе погружения. Подобрать трос, необходимый для создания требуемого усилия натяжения. Отрицательная плавучесть трубопровода $P = 328 \text{ кгс/м}$. Допустимые напряжения при укладке $\delta = 3100 \text{ кгс/см}^2$. Расчет выполняем на ЭВМ. При заданном уровне максимальных напряжений определяем допустимую глубину укладки трубопровода свободным погружением (при отсутствии натяжения) - H , и соответствующее перемещение плавающего конца трубопровода:

$$H_1 = 18 \text{ м}, \quad \delta_{u1} = 1,82 \text{ м.}$$

Определяем усилие натяжения T , которое необходимо создать для укладки трубопровода на глубину $H_2 = 35 \text{ м}$ при том же уровне напряжений, и соответствующее перемещение конца трубопровода:

$$T = 90 \text{ тс}, \quad \delta_{u2} = 2,65 \text{ м.}$$

По формулам (80)–(82) определяем расчетное значение δ_p на участке продольного профиля дна с глубинами от 18 до 35 м. Участок, длиной 1200 м состоит из пяти криволинейных отрезков с радиусом $R = 4000 \text{ м}$ и углами поворота $\alpha = 1,3-2,8^\circ$ и четырех прямолинейных отрезков с уклонами $0,0097-0,0481$. Расчетное значение $\delta_p = 0,47 \text{ м}$. По формуле (83) определяем деформацию растяжения трубопровода $\delta_T = 0,17 \text{ м}$ при расчетном усилии $T = 90 \text{ тс}$ и длине растянутого участка $\mathcal{L} = 2000 \text{ м}$.

Определяем расчетную величину перемещения трубопровода на втором этапе укладки (при погружении на глубинах от 18 до 35 м): $\delta_c = 2,65-1,82 + 0,47 - 0,17 = 1,13 \text{ м.}$

В качестве упруго-деформируемого элемента принимаем трос диаметром 42 мм, пропущенный через блок. Характеристика троса:

$F_K = 6,84 \text{ см}^2$, $E_K = 6 \cdot 10^6 \text{ кг/см}^2$, $T_p = 89,6 \text{ тс}$. При расчетных значениях усилия в каждой ветви троса $T = \frac{90}{45} = 45 \text{ тс}$ и деформаций $\delta_c = 1,13 \text{ м}$ определяем расчетную длину одной ветви троса из выражения (84):

$$\ell_K = \frac{0,8 \cdot 113 \cdot 6,8 \cdot 10^6 \cdot 6,84}{45000} = 110 \cdot 10^2 \text{ см.}$$

Укладку трубопровода выполняем в два этапа: до глубины 18 м – свободным погружением, на глубинах от 18 до 35 м – погружением с предварительным закреплением троса к береговой мертвяковой опоре.

Приложение 6

РАСЧЕТ БУКСИРОВОЧНОГО СОПРОТИВЛЕНИЯ ПЛЕТЕЙ ТРУБОПРОВОДА

I. Полное гидродинамическое сопротивление воды движению буксируемых плетей трубопровода в отсутствии волнения определяется по формуле

$$R = C_{tp} S_{cm} \frac{\rho}{2} V^2 + C_{ast} S_{tp} \frac{\rho}{2} V^2 + C_n S_n K_n \bar{K} K_\phi \frac{\rho}{2} V^2, \quad (85)$$

где R - полное сопротивление плетей, кгс;
 ρ - плотность жидкости ($\rho = 102$ кгс 2 /м 4);
 V - скорость движения плетей с учетом течения, м/с; при встречном течении $V = V_d + V_r$, при попутном течении $V = V_d - V_r$, где V_d - скорость буксировки относительно берега; V_r - скорость течения;

$C_{tp} = \frac{0,455}{(\lg Re)^{1/4} \Delta C_{tp}}$ коэффициент трения плети, где $Re = \frac{VL}{\nu}$ - число Рейнольдса; L - длина плети, м; ν - коэффициент кинематической вязкости, м 2 /с; ΔC_{tp} - надбавка на шероховатость поверхности плети; для коротких плетей ΔC_{tp} рекомендуется принимать: для гладких трубопроводов без бетонного или другого шероховатых покрытий $\Delta C_{tp} = 2,0 \times 10^{-3}$; для плетей с бетонным покрытием $\Delta C_{tp} = 3,0 \times 10^{-3}$; для футерованных плетей $\Delta C_{tp} = 4,0 \times 10^{-3}$;

$S_{cm} = S_{u3} \cdot n$ - смоченная поверхность плетей с учетом понтонов, м 2 ;
 S_{u3} - смоченная поверхность изолированной плети, м 2 ;

n - количество буксируемых плетей в плоту;

C_{ast} - коэффициент остаточного сопротивления плети трубопровода, определяемый в зависимости от мощности буксира и длины тягового троса ℓ_{tp} : для буксира мощностью 300 л.с. (при полных оборотах двигателя) $C_{ast} = 1,6$ при $\ell_{tp} = 50$ м; $C_{ast} = 1,4$ при $\ell_{tp} = 100$ м; $C_{ast} = 1,3$ при $\ell_{tp} \geq 150$ м; для буксира мощностью 150 л.с. $C_{ast} = 1,4$ при $\ell_{tp} = 50$ м; $C_{ast} = 1,3$ при $\ell_{tp} \geq 100$ м;

$S_{tp} = S_{u3} \cdot n$ - суммарная площадь погруженных в воду поперечных сечений трубопроводов, м 2 ;

S_{u3}^{tp} - площадь погруженного в воду поперечного сечения отдельной плети, м 2 ;

$C_n = 0,32$ - коэффициент остаточного сопротивления понтонов;

$S_{n,pon}$ - суммарная площадь погруженных в воду поперечных сечений понтонов, м 2 ;

$S_{\text{понт}}$ - площадь погруженного в воду поперечного сечения отдельного понтонов, м²;

n - число понтонов на плетях;

K_n - коэффициент, учитывающий влияние на сопротивление числа понтонов на плети; при значении $5 < n < 30$ определяется по формуле $K_n = \frac{31}{\sqrt{n}} + \frac{1}{n} \left(\frac{1}{1} - \frac{1}{30} \right)$; при значении $n < 5 - K_n = \frac{31}{\sqrt{n}}$; при значении $n > 30 - K_n = 1$;

\bar{K} - поправочный коэффициент на нестандартное расстояние между понтонами (стандартным отношением $t_n = t_n / d_n$ принято $\bar{t}_n = 8$, где t_n - расстояние между понтонами; d_n - диаметр понтона), определяемый по формуле:

$$\bar{K} = \frac{\bar{t}_n}{\bar{t}_n + 8} + (0,5 - \frac{4}{\bar{t}_n})$$

K_ϕ - определяется в зависимости от формы понтона [5]; для парных цилиндрических понтонов $K_\phi = 1,0$, для одиночных цилиндрических понтонов $K_\phi = 0,8$.

Пример расчета буксировочного сопротивления плетей трубопровода.

Плот из 4 футерованных плетей трубопровода длиной 200 м диаметром 1,22 м буксируется без понтонов буксиром 300 л.с. на тяговом тросе длиной 50 м со скоростью 2 м/с при встречном течении, скорость которого равна 1 м/с.

Исходные данные: $\rho = 102 \text{ кгс}^2/\text{м}^4$; $V = 3 \text{ м/с}$; $C_{tr} = 4 \cdot 10^{-3}$; $S_{cm} = S_{u3} \cdot n = 1280 \text{ м}^2$; $C_{otr} = 1,6$; $S_{tp} = S_{u3} \cdot n = 1,6 \text{ м}^2$.

$$R = (4 \cdot 10^{-3} \cdot 1280 + 1,6 \cdot 1,6) \frac{102}{2} \cdot 3^2 = 3440 \text{ кгс.}$$

На рис.10 приложения 6 представлены графики зависимости сопротивления воды движению плота из 4 футерованных плетей (параметры плетей указаны выше) от скорости буксировки при различной длине буксирного троса (50 и 150 м). На том же рисунке дана зависимость силы тяги на гаке F_r буксира № 45 проекта 1427 мощностью 300 л.с. от скорости его движения при полных оборотах двигателя (зависимость $F_r = f(V)$) получена по результатам замеров силы тяги на гаке динамометром). Как видно из рис.10, сила тяги на гаке буксира № 45 при скорости движения 10,8 км/ч равна 1300 кгс, и буксировка плота с такой скоростью невозможна. Максимальная скорость буксировки плота данным буксиром составляет при длине буксирного троса $l_{tp} = 50 \text{ м}$ $V = 7,7 \text{ км/ч}$, при $l_{tp} = 150 \text{ м} - V = 8,2 \text{ км/ч}$. Аналогич-

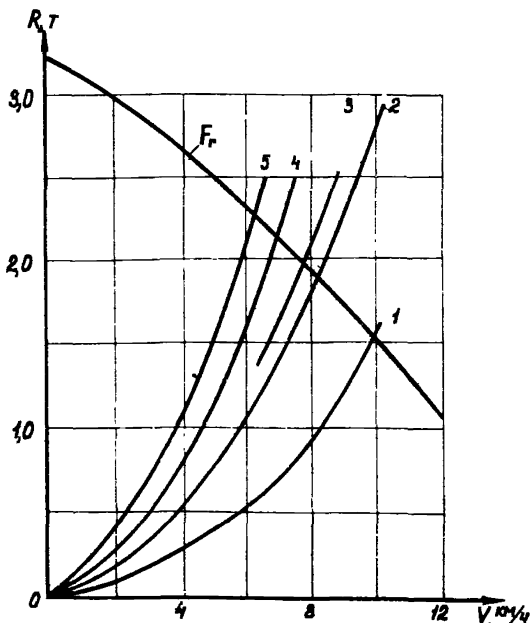


Рис. II. Графики зависимости буксировочного сопротивления плота от скорости буксировки при различном количестве плетей в плоту n и длине буксирующего троса ℓ_{tp} (м):

$$1 - n = 2, \ell_{tp} = 150; 2 - n = 4, \ell_{tp} = 150; 3 - n = 4, \ell_{tp} = 50; 4 - n = 6, \ell_{tp} = 150; 5 - n = 8, \ell_{tp} = 150$$

ным образом можно определить максимальную скорость буксировки плота из различного количества плетей, а также допустимое количество буксируемых плетей при заданной минимальной скорости буксировки. Так, например, при скорости движения по реке не менее 5 км/ч и скорости течения 2 км/ч буксир № 45 может буксировать не более 6 плетей при движении против течения (см.рис. II приложения 6).

2. При наличии встречного или бокового волнения в процессе буксировки буксировочное сопротивление определяется в соответствии с Рекомендациями [5].

3. При буксировке плети трубопровода непосредственно по грунту к гидродинамическому сопротивлению, вычисляемому по формуле (85), добавляется сопротивление трения F_{tp} трубопровода о грунт, которое вычисляется по формуле

$$F_{tp} = KfQ, \quad (86)$$

где Q - масса цепей гайдропов или трубопровода в воде;

f - коэффициент трения гайдропов или трубопровода по грунту, определяемый по табл.5;

$K=1,5-2,0$ - коэффициент трогания с места, представляющий собой отношение усилия, необходимого для сдирата неподвижной плети, к усилию для ее равномерного движения (при движении плети $K = 1$).

Таблица 5

Тип грунта	Коэффициент f	
	Для трубы	Для плети
Скальные грунты	0,65	0,65
Пески крупные и гравелистые	0,55	0,59
Пески мелкие и супеси	0,45	0,50
Илистые и суглинистые грунты	0,40	0,45
Глина	0,45	0,40

Приложение 7

**ЗАТРАТЫ ВРЕМЕНИ НА ТЕХНОЛОГИЧЕСКИЕ ОПЕРАЦИИ
МОНТАЖА ТРУБОПРОВОДА ДИАМЕТРОМ 1020 мм
НА ТРУБОУКЛАДОЧНОЙ БАРКЕ**

Таблица 6

Наименование работ	Варианты укладки трубопровода					
	I вариант - нарезыванием труб длиной 12 м			II вариант - нарезыванием секций труб длиной 36 м		
	3 сварочных пункта на 4 поста	2 сварочных пункта на 4 поста	I сварочный пункт на 4 поста			
Трубы						
	IC20x 12	IC20x 20	IO20x 12	IO20x 20	IO20x 12	IO20x 20
1. Сварка одного неповоротного стыка. Трудоемкость, чел.-ч (по ЕИР, сборник 22, табл.3. 16)	3,0	6,8	3,6	6,8	3,6	6,8
2. Затраты времени на сварку одного неповоротного стыка при 4 сварщиках на каждом пункте сварки, мин.	48	102	48	102	48	102
3. Затраты времени на сварку одного стыка при работе на нескольких пунктах сварки, мин.	16	34	24	51	46	102
4. Потребность времени на стыковку-центровку труб, мин.	5	5	5	5	5	25
5. Потребность времени на перестановку баржи во время укладки трубопровода, мин.	10	10	10	10	20	30
6. Потребность времени на просвечивание сварного стыка, мин.	5	5	5	5	5	5
7. Проявление и сушка пленки, заключение о качестве стыка, мин.	-	-	-	-	25	25

Окончание табл.6

I	2	3	4	5	6	7
8. Потребность времени на очистку, изоляцию и обетонирование стыка, мин.	-	-	-	-	25	25
9. Затраты времени на I цикл работ по сварке стыка, изоляции, обетонированию его и укладке трубопровода	36	54	44	70	148	205
10. Количество свариваемых стыков трубопровода за сутки (в 3 смены)	40	26	32,7	20,6	9,7	7
II. Протяженность трубопровода, укладываемого за I сут (производительность баржи), м	480	312	392	246	349	250

Приложение 8

БЕЗРАЗМЕРНЫЕ ВЕЛИЧИНЫ ДЛЯ РАСЧЕТА ТЕХНОЛОГИЧЕСКИХ
ПАРАМЕТРОВ УКЛАДКИ ТРУБОПРОВОДА С ТРУБОУКЛАДОЧНОЙ
БАРШ С ПРИМЕНЕНИЕМ СТИГЕРОВ

Таблица 7

φ	$M_1(\varphi)$	$h_1(\varphi)$	$\theta_1(\varphi)$	$Q(\varphi)$	$\psi_{(\varphi)} = 218$	$\frac{M_1(\varphi)}{\varphi^2}$	$\frac{Q(\varphi)}{\varphi}$
0,3	0,01127	0,00033	0,0022	0,1489	0,27	0,496	
0,6	0,0433	0,0052	0,0173	0,2913	0,262	0,485	
0,7	0,0583	0,0095	0,0272	0,3364	0,259	0,48	
0,8	0,075	0,0161	0,040	0,4799	0,255	0,475	
0,9	0,0934	0,025	0,056	0,4219	0,251	0,469	
1,0	0,1132	0,038	0,076	0,4621	0,246	0,462	
1,2	0,1565	0,0756	0,126	0,5370	0,236	0,447	
1,4	0,2033	0,1338	0,1912	0,6044	0,225	0,432	
1,6	0,2522	0,2176	0,272	0,6640	0,214	0,415	
1,8	0,3022	0,331	0,367	0,7163	0,203	0,398	
2,0	0,352	0,477	0,477	0,7616	0,1915	0,381	
2,2	0,4124	0,711	0,632	0,819	0,177	0,360	
2,5	0,4704	1,064	0,803	0,8483	0,164	0,339	
3,0	0,5749	1,765	1,19	0,9651	0,139	0,302	
4,0	0,7342	4,143	2,07	0,963	0,100	0,241	
5,0	0,8339	7,375	3,03	0,986	0,073	0,197	
6,0	0,9447	12,6	4,0	0,986	0,054	0,166	
7,0	0,9397	17,5	5,0	0,998	0,054	0,166	
8,0	0,9354	23	5,0	0,999	0,032	0,142	
9,0	0,9778	34	7,0	1,0	0,026	0,125	
10,0	0,983	46	8,0	1,0	0,026	0,116	

Приложение 9

ПРИМЕРЫ РАСЧЕТА ТЕХНОЛОГИЧЕСКИХ ПАРАМЕТРОВ
УКЛАДКИ ТРУБОПРОВОДА С ПРЯМОЛИНЕЙНОГО СТИНГЕРА

Пример 1. Исходные данные: $D = 720$ мм, $\delta = 16$ мм,
 $J = 2,194 \cdot 10^5$ см 4 [6] = 3,10 3 кгс/см 2 , $\rho = 93,4$ кгс/м,
 $\rho = 263$ м, $H = 55$ м, $D_1 = 0,84$ м, $q_s = 554$ кгс/м.

Определяем параметры укладки при $N_0 = 0$.

$$\frac{EJ}{\rho\rho^3} = 0,0271, T = 0,554 \cdot 55 = 30,5 \text{ т.}$$

По формулам (28), (29), (30)

$$\frac{\ell}{\rho} = 0,466, \quad \frac{h}{\rho} = 0,0723, \quad tg\theta = 0,31,$$

$$l = 123 \text{ м}, \quad h = 19 \text{ м}, \quad \theta = 17^\circ, \quad l_{cm} = 123 \text{ м.}$$

Определяем параметры укладки трубопровода при угле склона со стингера более 17° : $\theta = 18 - 22^\circ$, $EJ = 4,607 \cdot 10^{11}$ кг

Таблица 1

θ_{trap}	18	19	20	21	22
h/ρ	0,079	0,089	0,099	0,11	0,122
h_m	20,8	23,4	26,1	29	32,2
ℓ/ρ	0,487	0,516	0,546	0,576	0,606
ℓ_m	128,1	135,7	143,6	151,5	159,4
$\psi_f(\varphi)$	0,256	0,229	0,204	0,184	0,166
φ	0,8	1,33	1,8	2,12	2,5
N_0, m	1,79	4,4	7,3	9,1	11,3
l_{cm}	111	97	84,5	73	61
q_{pc}	5,7	5,6	5,3	5,2	5,05
$q, \text{кгс/м}$	207	222	235	257	285

Пример 2. Исходные данные: $D = 1220$ м, $\delta = 20$ мм,
 $J = 1,357 \cdot 10^6$ см 4 , $\rho = 146$ кгс/м, $\rho = 490$ м, $H = 40$ м,
 $M = 2223$ кг/м, $q_s = 1985$ кгс/м, $EJ = 2,85 \cdot 10^{12}$ кгс.см 2 .

Определяем параметры укладки при $N_0 = 0$:

$$\frac{EJ}{\rho\rho^3} = 0,0166, \quad \frac{\ell}{\rho} = 0,364, \quad \ell = 178 \text{ м}, \quad \frac{h}{\rho} = 0,044,$$

$$h = 21,7 \text{ м}, \quad tg\theta = 0,243, \quad \theta = 13^\circ 40', \quad l_{cm} = 77,4 \text{ м.}$$

Определяем параметры укладки трубопровода при угле склона со стингера более $13^{\circ}40'$ ($\theta = 14-18^{\circ}$) (табл.9 приложения 9).

Таблица 9

Расчетные параметры	Угол склона трубопровода со стингера Θ , град.	
	14	16
h , м	22,6	29,8
l , м	181	208
$l_{стн}$ м	72	37
φ	0,45	1,8
N_0 , тс	1,8	21,3
Q , тс	12,9	12,1
g , кгс/м	527	854

Минимальное усилие натяжения на палубе баржи для предотвращения продольных скимающих усилий в месте касания трубопроводом дна $N_0 = 0$ должно составлять:

$$T_0 = g_b H = 79,4 \text{ тс.}$$

Приложение ИО

ПРИМЕРЫ ОЦЕНКИ ТЕХНОЛОГИЧЕСКИХ ПАРАМЕТРОВ УКЛАДКИ ТРУБОПРОВОДА С ЖЕСТКОГО КРИВОЛИНИЙНОГО СТИНГЕРА

Пример 1.

Оценить параметры укладки трубопровода 720 x 16 мм с криволинейного стингера радиусом $R = 372$ м, если допустимый радиус укладки на нижнем участке $\rho = 266$ м и предельное растягивающее усилие в месте касания трубопроводом дна равно нулю.

Исходные данные для расчета: $\alpha = 7^0$, $J = 2,194 \cdot 10^5 \text{ см}^4$, $\gamma_g = 554 \text{ кгс/м}$, $P = 93,4 \text{ кгс/м}$, $A = \frac{EI}{P\rho^3} = 0,0262$, $\frac{\rho}{R} = 0,715$, $\bar{\rho} = \frac{\rho}{P} = 0,5295$; $\ell = 141 \text{ м}$, $\operatorname{tg}\theta = 0,281$, $\theta = 15^0 40'$, $\frac{h}{\rho} = 0,0908$, $h = 24,1 \text{ м}$; $\frac{H}{R} = 0,095$, $H = 35,2 \text{ м}$, $\frac{\ell_{ct}}{R} = 0,151$, $\ell_{ct} = 56,3 \text{ м}$, $T = 19,5 \text{ т}$.

Пример 2.

Оценить параметры укладки трубопровода 1020x20 мм с криволинейного стингера радиусом 390 м при допустимых напряжениях $\sigma = 2300 \text{ кгс/см}^2$ и $N_0 = 0$.

Исходные данные для расчета: $\alpha = 7^0$, $J = 7,85 \cdot 10^5 \text{ см}^4$, $\gamma_g = 1130,4 \text{ кгс/м}$, $P = 150 \text{ кгс/м}$, $\rho = 466 \text{ м}$, $\frac{EI}{P\rho^3} = 0,0108$.

По формулам (33)–(39) находим:

$$\begin{aligned} \frac{\ell}{\rho} &= 0,366, & \ell &= 170,7 \text{ м}; \\ \frac{h}{\rho} &= 0,042, & h &= 19,6 \text{ м}; \\ \operatorname{tg}\theta &= 0,1576, & \theta &= 9^0, \\ \frac{H}{R} &= 0,055, & H &= 21,4 \text{ м}, \\ T &= 24,2 \text{ т} \end{aligned}$$

Оценить те же параметры при $\sigma_{gan} = 3000 \text{ кгс/см}^2$, $\rho = 357 \text{ м}$

$$\begin{aligned} \frac{EI}{P\rho^3} &= 0,02416, & \frac{H}{R} &= 0,104 & H &= 41 \text{ м}, \\ \frac{\ell}{\rho} &= 0,524, & \ell &= 187 \text{ м}, & \frac{\ell_{ct}}{R} &= 0,127, & \ell_{ct} &= 49,7 \text{ м} \\ \frac{h}{\rho} &= 0,088, & h &= 31,5 \text{ м}, \\ \operatorname{tg}\theta &= 0,256, & \theta &= 14^0 20', & T &= 46,3 \text{ т}, \end{aligned}$$

Приложение II

ОПИСАНИЕ ПРОГРАММЫ СТАТИЧЕСКОГО РАСЧЕТА ТРУБОПРОВОДА ПРИ УКЛАДКЕ С ТРУБОУКЛАДОЧНОЙ БАРИИ НА ЗАДАННУЮ ГЛУБИНУ (ЯЗЫК ФОРТРАН)

Исходные данные

φ_1 - угол наклона дна, рад;

$\text{ТЕТА}(I,I)$ - начальный угол наклона стингера (угол наклона монтажной площадки), рад;

$X(I,I); Y(I,I)$ - начало системы координат, м;

YH - глубина укладки, м;

E - модуль упругости материала трубы, кгс/см²;

EP - точность удовлетворения граничного условия для монтажа в точке касания с дном;

PD - точность пристрелки по глубине, м;

RAD - радиус кривизны стингера, м;

RU - продольное напряжение трубы, кгс;

DN - приращение напряжения, кгс;

RO - плотность воды, кг/м³;

HST - пролет по дуге между опорами на участке прилегания к стингеру, м;

DS - допустимые напряжения, кгс/м²;

PT - число $\bar{\pi}$;

$D1$ - внешний диаметр трубы, м;

$D2$ - внутренний диаметр трубы, м;

$D3$ - внешний диаметр трубы с учетом обетонирования, м;

P - отрицательная плавучесть на единицу длины, кгс/м;

HL - шаг сетки h при решении методом конечных разностей, м;

Информация, выводимая на печать

Трубопровод:

$D1, D2, D3$ - диаметры d, d_1, D , м;

P - отрицательная плавучесть P , кгс/м;

EJ - жесткость при изгибе EJ , кгс.м².

Стингер:

RAD - радиус кривизны стингера Σ , м;

$ALFA$ - угол α , рад;

LK - длина l_K , м;

S - пролет S , м.

Натяжение:

N - продольное натяжение N_0 , кгс.

Наклон дна:

$F1$ - угол φ , рад;

Глубина укладки:

YH - заданная глубина укладки H , м;

Начальные условия:

$TETA$ - угол θ_K , рад;

X_K, Y_K - координаты точки схода трубы со стингера X_K, Y_K , м;

T_K, V_K - величина T_K, V_K , кгс;

M - момент M_K , кгс.м;

SAPRA - коэффициент χ ;

Провисающая часть трубопровода:

Нумерация колонок (слева направо)

I - номер узла i ;

2 - угол наклона θ_i , рад;

3 - координата X_i , м;

4 - координата Y_i , м;

5 - длина L_i , м;

6 - горизонтальная составляющая усилия в сечении T_i , кгс;

7 - вертикальная составляющая усилия V_i , кгс;

8 - продольное усилие N_i , кгс;

9 - перерезающая сила Q_i , кгс;

10 - изгибающий момент M_i , кгс.м;

II - нормальное напряжение σ_i , кгс/м²;

Примечания

I. Программой предусмотрен автоматический поиск точки схода трубы со стингера для данного натяга, при котором расчетная глубина укладки удовлетворяет условию $|Y(LK, NS) - YH| \leq PD$ и максимальные напряжения, возникающие в трубопроводе, не превышают допустимое значение: $SIMAS \leq DS$. За начальную принимается максимальная длина стингера (100 м).

В процессе счета возможны следующие ситуации:

а) точка схода трубы со стингера совпадает с его начальной длиной (100 м), а расчетная глубина укладки удовлетворяет условию $Y(LK, NS) > YH + PD$, тогда точка схода поднимается выше;

б) расчетная глубина укладки $Y(LK, NS) < YH - PD$, тогда исходное натяжение получает приращение DH , т.е. $N = N + DN$;

в) $|Y(LK, NS) - YH| < PD$, но $SIMAX > DS$, тогда, как и в случае б), натяг увеличивается на величину DN .

2. Значения величин CDT и HD задаются внутри подпрограммы *SUBROUTINE PTC*.

ПРИМЕР РАСЧЕТА

Выполнить статический расчет трубопровода, укладываемого с трубокладочной баржи на дно моря глубиной 67 м.

Исходные данные

$$H = 67 \text{ м},$$

$$d_1 = 1,02 \text{ м}, \quad \alpha = 7^\circ$$

$$d_2 = 0,98 \text{ м}, \quad \varphi = 0^\circ$$

$$D = 1,20 \text{ м},$$

$$M = 1280,4 \text{ кгс/м};$$

$$E = 2,1 \cdot 10^{10} \text{ кгс/м}^2, \quad N_0 = 100000 \text{ кгс},$$

$$[G] = 3 \cdot 10^7 \text{ кгс/м}^2,$$

$$z = 390 \text{ м}, \quad S = 1,0 \text{ м},$$

$$P = 150 \text{ кгс/м}, \quad h = 2,0 \text{ м}.$$

Точность решения:

$$\theta_n = \pm 0,5^\circ;$$

$$M_n = \pm 0,005 M_c.$$

Решением задачи получены: конфигурации упругого изгиба трубопровода, эпюры напряжений, изгибающих моментов, усилий в трубопроводе, уложенном на глубину 67 м. Определена длина стингера $\rho_k = 80$ м ($\beta = 19^\circ$), при которой максимальное напряжение на нижнем участке провисающего трубопровода $\sigma_{max,n}$ равно допустимому напряжению [6]. На рис. II приложения II представлены конфигурации упругой линии и эпюра напряжений трубопровода.

Регулировать режим укладки трубопровода можно путем изменения угла схода трубопровода со стингером β и натяжения N . Если значение угла схода β меньше оптимального, то глубина ограничена уровнем напряжений в верхней части изогнутого трубопровода. Если же значение угла схода больше оптимального, то глубина укладки ограничена уровнем напряжений на нижнем участке провисающего трубопровода. На рис. I2 приложения II при-

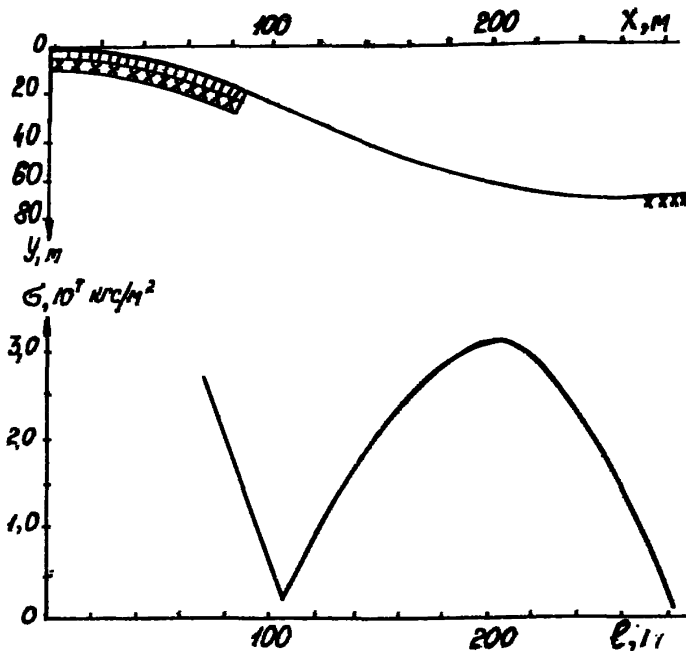


Рис. II. Конфигурация трубопровода и эпюры напряжений (σ) при укладке на глубину 67 м

ведены графики зависимости максимальных напряжений на нижнем участке упругого изгиба трубопровода от глубины укладки при различных значениях натяжения N_{Tc} : 1 - $N = 50$, 2 - $N = 100$, 3 - $N = 150$, 4 - $N = 200$. При допустимом напряжении $[\sigma] = 3 \cdot 10^7 \text{ кгс/м}^2$ натяжение $N = 50$ тс соответствует глубина укладки $H = 43$ м, при $N = 100$ тс - $H = 67$ м; при $N = 150$ тс - $H = 100$ м; при $N = 200$ тс - $H = 140$ м.

На рис. I3 приложения II даны графики зависимости допустимой глубины H и оптимальных углов схода β от величины натяжения для указанных выше параметров трубопровода. Пользуясь

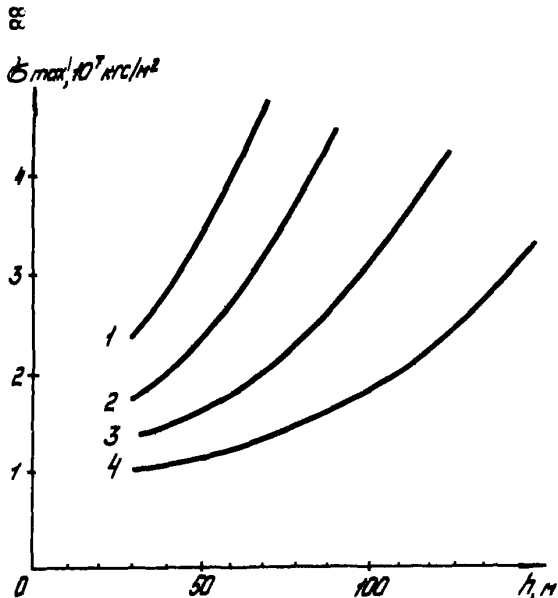


Рис.12. График зависимости максимальных напряжений в нижней части упругого изгиба трубопровода от глубины укладки при различных усилиях натяжения N , тс:
1 - 50; 2 - 100; 3 - 150; 4 - 200

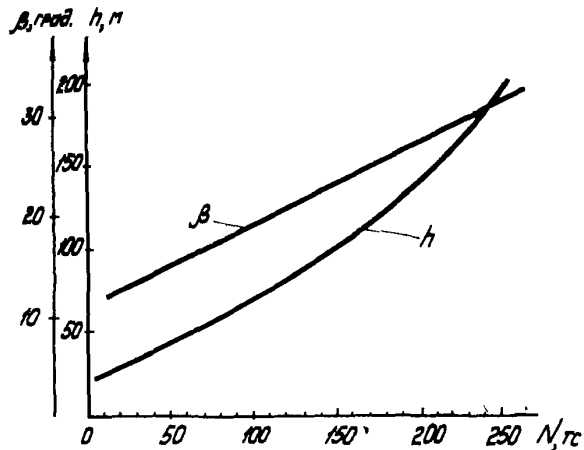


Рис.13. График зависимости глубины укладки h и оптимальных значений углов схода трубопровода β от усилия натяжения

такими графиками, можно определить оптимальные параметры укладки трубопровода на заданные глубины водоема. Например, если глубина водоема $H=43$ м, то чтобы уложить данный трубопровод на эту глубину, необходимо приложить к нему натяжение не менее 50 тс и при данном натяжении угол ската трубопровода с стингера должен быть не менее 15° .

Приложение 12

Программа RTS

```
001
002      УКЛАДКА ТРУБОПРОВОДА С БАРЖИ НА
003      ЗАДАННЫЙ ГЛУБИНУ
004      DOUBLE PRECISION TETA,T,V,DM,TK,VK,VM,CAPP
005      COMMON/TXN/TETA(300,5),X(300,5),Y(300,5)/
006      *TVGAT(200,5),V(200,5),DM(300,5)/
007      *PAS/PIS(200,5),Q(200,5),SIGMA(200,5)/R/R(1
008      00,5)/
009      *BC/TK,VK,VM,CAPPA/RAD/RAD/F/F/FA/FA/W/W/PI
010      /PI/
011      *HD/HD/SIMAX/SIMAX/STL/STL/PRL/PRL/JND/LD/L
012      K,IK,K1
013      */FI/FI
014      PSI=1.
015      SR=1.
016      SL=0.0
017      FI=0.0
018      TETA(1,1)=.122173
019      X(1,1)=0.0
020      Y(1,1)=0.0
021      WH=105.
022      NP=100
023      LS=1
024      E=2.1E10
025      EP=2.E-2
026      PD=.25
027      RAD=300.
028      DU=6.5E4
029      DM=5.E3
030      D0=1.E3
031      HST=1.
032      DT=.5
033      DS=3E7
034      D1=3.14159
035      D1=.508
036      D2=.4826
037      D3=.688
038      F=PI/4.*((D1**2-D2**2))
039      M=PI*D1**3*(1-(D2/D1)**4)/32.
040      F1=D1*D3**2/4.
041      FA=RC*FI
042      R=70.
043      P=FA+P
044      QM=PI/64.*((D1**4-D2**4))
045      SJ=UM*E
046      ST'=EJ/RAD
```

```

037      56 CONTINUE
038      HL=?
039      CALL PTC(STH,HST,HL,HT,NS,NP,EJ,RP,EP,RU)
040      PRINT 70, RH, RP, LK, ((TETA(K,LL), LL=NS, NS), K=
041      , =IK, IK), ((X(K,LL), LL=NS, NS), K=I
042      *LL=NS, NS), K=IK, IK), ((Y(K,LL), LL=NS, NS), K=I
043      K, IK), ((T(K,LL),
044      *LL=NS, NS), K=LK, LK), ((V(K,LL), LL=NS, NS), K=L
045      K, LK), ((DM(K,LL),
046      *LL=NS, NS), K=IK, IK), SIMAX
047      70 FORMAT(1X,'N=',E8.2,2X,'NP=',I3,2X,'L=',I6,
048      ,2X,'TETA=',F11.4,2X,'X=',F6.2,2X,'Y=',F6.2,2X,'T=',F9
049      *9.2,2X,'H=',D9.2,2X,'SIHAX=',E9.3)
050      IF(ABS(V(IK,NS)-VH), LE, RD) GO TO 57
051      IF(V(IK,NS)-VH)53,53,52
052      IF(NP, EQ, 100) GO TO 51
053      GO TO 54
054      52 SR=PSI
055      GO TO 55
056      54 SL=PSI
057      55 PSI=SL+(SR-SL)/2.
058      NP=100*RSI
059      GO TO 56
060      57 CONTINUE
061      SL=0.0
062      IF(SIMAX, LE, DS) GO TO 50
063      RU=RU+DN
064      GO TO 56
065      58 CONTINUE
066      PRINT 68
067      60 FORMAT(//, 'УКЛАДКА ТРУБОПРОВОДА С БАРЖИ. НА
068      ЗАДАННУЮ ГЛУБИНУ',/)
069      PRINT 22,D1,D2,D3,R,EJ
070      22 FORMAT(//,3X,'ТРУБОПРОВОД', D1='F5.3,3X
071      ,D2='F5.3,3X,
072      *3HD3=,F5.3,3X,2HP=F7.3,3X,3HEJ=,E10.4,/)
073      PRINT 23,RAD,((TETA(K,LL), LL=1,1), K=1,1),S
074      TL,HST
075      24 FORMAT(3X,'СТИНГЕР:', RAD='F5.1,4X,'ALFA
076      =',D11.4,4X,
077      *3HLK=,F5.1,4X,2HS=,F5.2,/)
078      PRINT 25,RU,F1,VH
079      18 FORMAT(3X,'НАТЯЖЕННЕ:', N='E9.3,4X,
080      *'НАКЛОН ДНА:', F1='F7.4,4X,'ГЛУБИНА УКЛА
081      ДКИ:', VH='F7.2,/),
082      PRINT 29,((TETA(K,LL), LL=NS, NS), K=K1,K1),(
083      (X(K,LL),
084      *LL=NS, NS), K=K1,K1), ((Y(K,LL), LL=NS, NS), K=K
085      -1,K1),
086      *TK,VK,VH,C,PPA
087      19 FORMAT(3X,'НАЧАЛЬННЕ УСЛОВИЯ:', TETA='D1
088      ,1,4,2X,

```

```

      & 'X=' , F6.2 , '2X,' , 'Y=' , F6.2 , '2X,' , 'T=' , D10.3 , '2X,' , 'V
      & '      =' , D10.3 , '2X,' , 'CAPPA=' , D16.9 , '/')
      * PRINT 13
      13 FORMAT('ПРОВИСАЮЩАЯ ЧАСТЬ ТРУБОПРОВОДА',/)
      PRINT 80
      80 FORMAT('3X,' , 'УЗЕЛ' , '3X,' , 'TETA' , '7X,' , 'X' , '6X,' , 'Y' , '7
      & 'X' , 'L' , '8X,
      & 'T' , '11X,' , 'V' , '10X,' , 'M' , '7X,' , 'SIGMA' , '/')
      PRL=0.0
      DO 27 M=1,LK
      MM=K1+M
      IF(M-LD)36,36,37
      36 A1=HL*HD
      GO TO 38
      37 A1=HL
      38 PRL=PRL+A1
      PRINT 23,M,((TETA(K,LL),LL=NS,NS),K=MM,MM)
      ,((X(K,LL),
      *LL=NS,NS),K=MM,MM),((V(K,LL),LL=NS,NS),K=M
      M,MM),PRL,
      *((T(K,LL),LL=NS,NS),K=M,M),((V(K,LL),LL=NS
      ,NS),K=M,M),
      *((DM(K,LL),LL=NS,NS),K=MM,MM),((SIGMA(K,LL
      ),LL=NS,NS),K=M,M)
      23 FORMAT(2X,14,1X,D9.2,1X,F7.2,1X,F6.2,1X,F7
      .2,1X,D10.3,1X,
      27 CONTINUE
      END
      SUBROUTINE DTC(SH,STH,HS,TAV,IT,IP,PEJ,PN,
      EPS,ZN)
      DOUBLE PRECISION TETA,T,V,DM,TK,VK,VN,CAPP
      A
      DOUBLE PRECISION ER,EL
      C0M01/TX4/TETA(300,5),X(300,5),V(300,5)/
      *+V0/T(200,5),V(200,5),DM(300,5)/
      *+RS/PS(200,5),C(200,5),SIGMA(200,5)/R/R(1
      00,5)/
      *-C/TK,VK,VN,CAPP/RAD/RAD/F/F/FA/FA/W/W/PI
      /PI/
      *-B/H0/SINAX/SINMAX/STL/STL/PRL/PRL/IND/LD,L
      ,1K,K1
      */FI/FI
      *L=0.0
      CAPPA=1.,
      LD=0.
      X(1,1)=0.0
      *0=PI*COS(TETA(1,IT))
      CONTINUE
      L=0
      *DR=0
      PS=0
      CDT=.1
      T=CDT*1.7453E-2

```

```

016      SRX=0.0
017      SRY=0.0
018      STLH=P*STH
019      ALFA=ETETA(1,IT)
020      BETA=STH/RAD
021      I1=I#+1
022      DO 1 I=2,K1
023      I1=I-1
024      I2=I-2
025      I3=I-3
026      TLEST=*(I-1)
027      ETETA(I,IT)=ETETA(1,IT)+TL/RAD
028      X(I,IT)=RAD*(SIN(ETETA(I,IT))-SIN(ETETA(1,IT)
029          )))
030      U(I,IT)=RAD*(COS(ETETA(1,IT))-COS(ETETA(I,IT)
031          )))
032      D(I,IT)=SH
033      IF(I-212,2,3
034      2  S(I-1,IT)=-*(S*/RAD+P#*(1.-COS(BETA))+PW*RA
035          *
036          *(SIN(ETETA(I,IT)))*BETA+(COS(ETETA(I,IT))-COS
037          (ETETA(1,IT))))-
038          *FA*RAD/2.**(SIN(ETETA(I,IT))+BETA-SIN(ETETA(1
039          ,IT))**
040          *SIN(BETA)))/SIN(BETA)
041      GO TO 1
042      3  IF(I3-1)4,5,5
043      4  S=0.0
044      GO TO 21
045      5  CONTINUE
046      GO 30 K2=I,13
047      30 S=S+R(I2+1,IT)*SIN((I-K2-1)*BETA)
048      21 CONTINUE
049      IF(I,(K,K1))GO TO 26
050      SH=SH
051      GO TO 1
052      26 VM=CAPPA+S#
053      6  R(I-1,IT)=(VM/RAD+P#*(1.-COS((I-1)*BETA))+*
054          R(I,IT)*
055          *SIN((I-1)*BETA)-S+PW*RAD*(SIN(ETETA(I,IT))*
056          (I-1)*BETA+
057          *(COS(ETETA(I,IT))-COS(ETETA(1,IT))))-FA*RAD/
058          2.**(SIN(ETETA(I,IT))*
059          *(I-1)*
060          *BETA-SIN(ETETA(1,IT))*SIN((I-1)*BETA)))/SIN
061          (BETA)
062      S=0.0
063      SRY=SRX+R(I-1,IT)*SIN(ETETA(I-1,IT))
064      SRY=SRY+R(I-1,IT)*COS(ETETA(I-1,IT))
065      1  CONTINUE
066      L=L+1
067      I=I+L
068      I1=I-1
069      TL=TL+S
070      PL=HS*L

```

```

055      IF(L-1)9,9,10
056      9  I3=I-3
057      TETA(I,IT)=TETA(I-1,IT)-HS*DM(I-1,IT)/PEJ
058      R(I-1,IT)=0.0
059      SXL=SRX+R(I-1,IT)*SIN(TETA(I-1,IT))
060      SYL=SRV+R(I-1,IT)*COS(TETA(I-1,IT))
061      TK=TG+R(1,IT)*SIN(TETA(1,IT))-SXL-FA*RAD/2
062      ,*SIN(TETA(1,IT)-
063      *TETA(K1,IT))*SIN(TETA(K1,IT)-TETA(1,IT))
064      VK=PN*SIN(TETA(1,IT))-R(1,IT)*COS(TETA(1,I
065      T)+SYL-PW*STL+
066      *FA*RAD/2.*(*SIN(TETA(K1,IT)-TETA(1,IT))*COS
067      (TETA(K1,IT)-
068      *TETA(1,IT))+(*TETA(K1,IT)-TETA(1,IT)))
069      T(L,IT)=TK-FA*SIN(2.*TETA(I,IT))/2.*HS
070      V(L,IT)=VK+(FA*(COS(TETA(I,IT))**2-PW)*HS
071      DM(I,IT)=DM(I-1,IT)+((VK-HS*(PW-FA)/2.)*CO
072      S(TETA(I,IT))-*
073      *TK*SIN(TETA(I,IT)))*HS
074      GO TO 31
075      .10 TETA(I,IT)=TETA(I-1,IT)-HS*DM(I-1,IT)/PEJ
076      T(L,IT)=T(L-1,IT)-FA*SIN(2.*TETA(I,IT))/2.
077      ,*HS
078      V(L,IT)=V(L-1,IT)+(FA*(COS(TETA(I,IT))**2
079      -PW)*HS
080      DM(I,IT)=DM(I-1,IT)+((V(L-1,IT)-HS*(PW-FA)
081      /2.)*COS(TETA(I,IT))-
082      *T(L-1,IT)*SIN(TETA(I,IT)))*HS
083      IF(DM(I,IT).LT.0.0)GO TO 29
084      IPS=IPS+1
085      GO TO 31
086      .20 CONTINUE
087      IF(IPS-1)31,32,32
088      31 CONTINUE
089      X(I,IT)=X(I-1,IT)+HS*COS(TETA(I,IT))
090      V(I,IT)=V(I-1,IT)+HS*SIN(TETA(I,IT))
091      PNS(L,IT)=T(L,IT)*COS(TETA(I,IT))+V(L,IT)*
092      SIN(TETA(I,IT))
093      Q(L,IT)=V(L,IT)*COS(TETA(I,IT))-T(L,IT)*SI
094      N(TETA(I,IT))
095      SIGMA(L,IT)=PNS(L,IT)/F+ABS(DM(I,IT)/W)
096      IF(ABS(TETA(I,IT)-FI).EQ.0.0)GO TO 20
097      CONTINUE
098      IF(TETA(I,IT)-FI)20,17,17
099      .17 CONTINUE
100      IF(TETA(I,IT)-PI/2.)28,28,11
101      .28 CONTINUE
102      IF(TETA(I,IT).LE.TD)GO TO 33
103      GO TO 8
104      .33 KDR=KDR+1
105      -IF(KDR-1)34,34,8
106      34 HS=HS/HB
107      LD=L
108      GO TO 8
109      .20 CONTINUE
110

```

```

096      JK=1
097      LK=L
098      PER=DII(I,IT)/SM
099      IF(ABS(PER),LE,EPS)GO TO 15
100      GO TO 12
101      32 CONTINUE
102      11 CONTINUE
103      14 ER=CAPPA
104      GO TO 25
105      12 EL=CAPPA
106      25 CAPPA=(ER-EL)/2.+EL
107      IF(KDP-1)7,35,35
108      35 HS=HS*HD
109      GO TO 7
110      15 CONTINUE
111      SIMAX=SIGMA(1,IT)
112      DO 40 II=2,LK
113      IF(SIGMA(II,IT).GT.SIMAX)SIMAX=SIGMA(II,IT)
114      40 CONTINUE
115      RETURN
116      END

```

Текст решения

УКЛАДКА ТРУБОПРОВОДА С БАРЖИ НА ЗАДАННЮЮ ГЛУБИНУ

ТРУБОПРОВОД D1=0,508 D2=0,483 D3=0,608 P= 70,000 EJ= 1,2734*07

СТИЛГЕР: САР=300+0 АЛФА= 1,2217-001 LK= 96,0 S= 1,00

НАТЯЖЕНИЕ F= 6,500+04 НАКЛОНО ДНА: FI= 0,0000 ГЛУБИНА УКЛАДКИ: NH= 105,0

Начальные условия: ТЕТА= 4,4217-001 X1= 91,81 Y= 26,62 T= 4,828+004 V= 2,722+004
Z=-3,838+004 САРРА= 9,041373681-001

ПРОЧИСЛЕННАЯ ЧАСТЬ ТРУБОПРОВОДА

N3E3	ТЕТА	X	Y	L	T	V	H	SIGMA
1	4,49-001	93,61	27,48	2,00	4,805+004	2,697+004	-3,542+004	1,762+07
2	4,54-001	95,41	28,36	4,00	4,782+004	2,672+004	-2,926+004	1,502+07
3	4,59-001	97,20	29,25	6,00	4,759+004	2,647+004	-2,385+004	1,274+07
4	4,63-001	98,99	30,14	8,00	4,736+004	2,621+004	-1,910+004	1,074+07
5	4,66-001	100,78	31,04	10,00	4,712+004	2,595+004	-1,492+004	8,970+06
6	4,68-001	102,56	31,94	12,00	4,689+004	2,569+004	-1,125+004	7,415+06
7	4,70-001	104,35	32,85	14,00	4,666+004	2,544+004	-8,011+003	6,043+06
8	4,71-001	106,13	33,76	16,00	4,642+004	2,518+004	-5,158+003	4,832+06
9	4,72-001	107,91	34,66	18,00	4,619+004	2,492+004	-2,641+003	3,761+06
10	4,72-001	109,69	35,57	20,00	4,595+004	2,466+004	-4,165+002	2,813+06
11	4,72-001	111,47	36,48	22,00	4,572+004	2,440+004	1,552+003	3,272+06
12	4,72-001	113,25	37,39	24,00	4,548+004	2,414+004	3,296+003	3,986+06
13	4,72-001	115,04	38,30	26,00	4,525+004	2,388+004	4,844+003	4,618+06

14	4.71-002	116.82	39.21	28.00	4.501+004	2.362+004	6.221+003	5.178+06
15	4.70-002	118.60	40.12	30.00	4.478+004	2.336+004	7.447+003	5.675+06
16	4.69-002	120.39	41.02	32.00	4.454+004	2.310+004	8.542+003	6.117+06
17	4.67-002	122.17	41.92	34.00	4.431+004	2.284+004	9.521+003	6.511+06
18	4.66-002	123.96	42.82	36.00	4.408+004	2.258+004	1.040+004	6.862+06
19	4.64-002	125.75	43.71	38.00	4.384+004	2.233+004	1.119+004	7.177+06
20	4.63-002	127.54	44.61	40.00	4.361+004	2.207+004	1.190+004	7.459+06
21	4.61-002	129.33	45.50	42.00	4.338+004	2.182+004	1.255+004	7.712+06
22	4.59-002	131.12	46.38	44.00	4.315+004	2.156+004	1.313+004	7.941+06
23	4.57-002	132.92	47.26	46.00	4.292+004	2.131+004	1.366+004	8.148+06
24	4.54-002	134.71	48.14	48.00	4.269+004	2.106+004	1.415+004	8.336+06
25	4.52-002	136.51	49.01	50.00	4.246+004	2.081+004	1.460+004	8.507+06
26	4.50-002	138.31	49.88	52.00	4.224+004	2.056+004	1.501+004	8.664+06
27	4.48-002	140.12	50.75	54.00	4.201+004	2.031+004	1.539+004	8.807+06
28	4.45-002	141.92	51.61	56.00	4.178+004	2.006+004	1.574+004	8.940+06
29	4.43-002	143.73	52.47	58.00	4.156+004	1.981+004	1.607+004	9.062+06
30	4.40-002	145.54	53.32	60.00	4.133+004	1.957+004	1.638+004	9.176+06
31	4.38-002	147.35	54.17	62.00	4.111+004	1.932+004	1.667+004	9.283+06
32	4.35-002	149.16	55.01	64.00	4.089+004	1.908+004	1.695+004	9.383+06
33	4.32-002	150.98	55.85	66.00	4.067+004	1.884+004	1.721+004	9.477+06
34	4.30-002	152.80	56.68	68.00	4.045+004	1.860+004	1.746+004	9.566+06
35	4.27-002	154.62	57.51	70.00	4.023+004	1.836+004	1.770+004	9.651+06
36	4.24-002	156.44	58.33	72.00	4.001+004	1.812+004	1.793+004	9.732+06
37	4.21-002	158.27	59.15	74.00	3.980+004	1.788+004	1.815+004	9.810+06
38	4.18-002	160.09	59.96	76.00	3.958+004	1.765+004	1.836+004	9.885+06
39	4.16-002	161.92	60.77	78.00	3.937+004	1.741+004	1.857+004	9.958+06
40	4.13-002	163.75	61.57	80.00	3.915+004	1.718+004	1.878+004	1.003+07
41	4.10-002	165.59	62.37	82.00	3.894+004	1.695+004	1.898+004	1.010+07
42	4.07-002	167.43	63.16	84.00	3.873+004	1.672+004	1.917+004	1.016+07
43	4.04-002	169.27	63.95	86.00	3.852+004	1.649+004	1.936+004	1.023+07
44	4.01-002	171.11	64.73	88.00	3.831+004	1.626+004	1.955+004	1.030+07
45	3.98-002	172.95	65.50	90.00	3.810+004	1.603+004	1.974+004	1.036+07
46	3.94-002	174.80	66.27	92.00	3.789+004	1.581+004	1.992+004	1.042+07
47	3.91-002	176.65	67.03	94.00	3.769+004	1.558+004	2.010+004	1.049+07
48	3.88-002	178.50	67.79	96.00	3.749+004	1.536+004	2.029+004	1.055+07
49	3.85-002	180.35	68.54	98.00	3.729+004	1.514+004	2.047+004	1.061+07

50	3.82-002	182.21	69.29	100.00	3.709+004	1.492+004	2.065+004	1.067+07
51	3.79-002	184.07	70.02	102.00	3.689+004	1.470+004	2.082+004	1.073+07
52	3.75-002	185.93	70.76	104.00	3.669+004	1.448+004	2.100+004	1.079+07
53	3.72-002	187.79	71.48	106.00	3.649+004	1.426+004	2.118+004	1.085+07
54	3.69-002	180.66	72.20	108.00	3.630+004	1.405+004	2.136+004	1.092+07
55	3.65-001	191.52	72.92	110.00	3.610+004	1.383+004	2.153+004	1.098+07
56	3.62-002	193.30	73.63	112.00	3.591+004	1.362+004	2.171+004	1.104+07
57	3.59-001	195.27	74.33	114.00	3.572+004	1.341+004	2.189+004	1.110+07
58	3.55-002	197.14	75.02	116.00	3.553+004	1.320+004	2.206+004	1.116+07
59	3.52-002	199.02	75.71	118.00	3.534+004	1.299+004	2.224+004	1.122+07
60	3.48-002	200.90	76.40	120.00	3.515+004	1.278+004	2.241+004	1.128+07
61	3.45-002	202.78	77.07	122.00	3.497+004	1.258+004	2.259+004	1.134+07
62	3.41-002	204.67	77.74	124.00	3.479+004	1.237+004	2.277+004	1.141+07
63	3.37-002	206.55	78.40	126.00	3.461+004	1.217+004	2.294+004	1.147+07
64	3.34-002	208.44	79.06	128.00	3.443+004	1.196+004	2.312+004	1.153+07
65	3.30-001	210.34	79.71	130.00	3.425+004	1.176+004	2.330+004	1.159+07
66	3.27-002	212.23	80.35	132.00	3.407+004	1.156+004	2.347+004	1.165+07
67	3.23-002	214.13	80.98	134.00	3.390+004	1.137+004	2.365+004	1.172+07
68	3.19-002	216.03	81.61	136.00	3.373+004	1.117+004	2.383+004	1.178+07
69	3.15-001	217.93	82.23	138.00	3.356+004	1.097+004	2.400+004	1.184+07
70	3.12-002	219.83	82.84	140.00	3.339+004	1.078+004	2.418+004	1.190+07
71	3.08-002	221.74	83.45	142.00	3.322+004	1.058+004	2.435+004	1.196+07
72	3.04-002	223.64	84.05	144.00	3.305+004	1.039+004	2.453+004	1.203+07
73	3.00-002	225.56	84.64	146.00	3.289+004	1.020+004	2.470+004	1.209+07
74	2.96-002	227.47	85.22	148.00	3.273+004	1.001+004	2.488+004	1.215+07
75	2.92-002	229.38	85.80	150.00	3.257+004	9.824+003	2.505+004	1.221+07
76	2.88-002	231.30	86.37	152.00	3.241+004	9.637+003	2.522+004	1.228+07
77	2.84-002	233.22	86.93	154.00	3.225+004	9.451+003	2.540+004	1.234+07
78	2.81-002	235.14	87.48	156.00	3.210+004	9.267+003	2.557+004	1.240+07
79	2.76-002	237.07	88.03	158.00	3.194+004	9.083+003	2.574+004	1.246+07
80	2.72-002	238.99	88.57	160.00	3.179+004	8.901+003	2.591+004	1.252+07
81	2.68-002	240.92	89.10	162.00	3.164+004	8.728+003	2.608+004	1.258+07
82	2.64-002	242.85	89.62	164.00	3.150+004	8.541+003	2.625+004	1.265+07
83	2.60-002	244.78	90.14	166.00	3.135+004	8.362+003	2.641+004	1.271+07
84	2.56-002	246.72	90.64	168.00	3.121+004	8.185+003	2.658+004	1.277+07
85	2.52-002	248.66	91.14	170.00	3.107+004	8.009+003	2.674+004	1.282+07

86	2.48-001	250.50	91.63	172.00	3.063+004	7.834+003	2.690+004	1.288+07
87	2.43-001	252.54	92.11	174.00	3.060+004	7.660+003	2.706+004	1.294+07
88	2.39-001	254.48	92.59	176.00	3.066+004	7.488+003	2.722+004	1.300+07
89	2.35-001	256.42	93.05	178.00	3.053+004	7.316+003	2.737+004	1.305+07
90	2.31-001	258.37	93.51	180.00	3.040+004	7.146+003	2.753+004	1.311+07
91	2.26-001	260.32	93.96	182.00	3.028+004	6.977+003	2.768+004	1.316+07
92	2.22-001	262.27	94.40	184.00	3.015+004	6.809+003	2.782+004	1.322+07
93	2.18-001	264.22	94.83	186.00	3.003+004	6.642+003	2.797+004	1.327+07
94	2.13-001	266.18	95.25	188.00	2.991+004	6.476+003	2.811+004	1.332+07
95	2.09-001	268.13	95.67	190.00	2.979+004	6.311+003	2.824+004	1.337+07
96	2.04-001	270.09	96.07	192.00	2.968+004	6.147+003	2.838+004	1.342+07
97	2.00-001	272.05	96.47	194.00	2.956+004	5.984+003	2.850+004	1.347+07
98	1.95-001	274.02	96.86	196.00	2.945+004	5.822+003	2.863+004	1.351+07
99	1.91-001	275.98	97.24	198.00	2.934+004	5.661+003	2.875+004	1.355+07
100	1.86-001	277.94	97.61	200.00	2.924+004	5.501+003	2.886+004	1.360+07
101	1.82-001	279.91	97.97	202.00	2.914+004	5.342+003	2.897+004	1.363+07
102	1.77-001	281.88	98.32	204.00	2.903+004	5.184+003	2.907+004	1.367+07
103	1.73-001	283.85	98.67	206.00	2.894+004	5.027+003	2.917+004	1.371+07
104	1.68-001	285.82	99.00	208.00	2.884+004	4.871+003	2.926+004	1.374+07
105	1.64-001	287.80	99.33	210.00	2.875+004	4.715+003	2.934+004	1.376+07
106	1.59-001	289.77	99.64	212.00	2.866+004	4.561+003	2.942+004	1.379+07
107	1.54-001	291.75	99.95	214.00	2.857+004	4.407+003	2.948+004	1.381+07
108	1.50-001	293.72	100.25	216.00	2.848+004	4.254+003	2.954+004	1.383+07
109	1.45-001	295.70	100.54	218.00	2.840+004	4.102+003	2.959+004	1.385+07
110	1.40-001	297.68	100.82	220.00	2.832+004	3.951+003	2.962+004	1.386+07
111	1.36-001	299.67	101.09	222.00	2.824+004	3.800+003	2.965+004	1.386+07
112	1.31-001	301.65	101.35	224.00	2.817+004	3.650+003	2.966+004	1.386+07
113	1.26-001	303.63	101.60	226.00	2.809+004	3.501+003	2.966+004	1.386+07
114	1.22-001	305.62	101.85	228.00	2.802+004	3.352+003	2.965+004	1.385+07
115	1.17-001	307.60	102.08	230.00	2.796+004	3.204+003	2.962+004	1.383+07
116	1.12-001	309.59	102.30	232.00	2.789+004	3.057+003	2.958+004	1.381+07
117	1.08-001	311.58	102.52	234.00	2.783+004	2.910+003	2.951+004	1.378+07
118	1.03-001	313.57	102.72	236.00	2.777+004	2.764+003	2.943+004	1.374+07
119	9.86-002	315.56	102.92	238.00	2.771+004	2.619+003	2.933+004	1.369+07
120	9.39-002	317.55	103.11	240.00	2.766+004	2.474+003	2.920+004	1.364+07
121	8.94-002	319.54	103.29	242.00	2.761+004	2.329+003	2.905+004	1.357+07

122	8.48-002	321.53	103.46	244.00	2.756+004	2.185+003	2.888+004	1.350+07
123	8.53-002	323.53	103.62	246.00	2.751+004	2.041+003	2.868+004	1.341+07
124	7.58-002	325.52	103.77	248.00	2.747+004	1.898+003	2.844+004	1.331+07
125	7.13-002	327.52	103.91	250.00	2.743+004	1.755+003	2.817+004	1.319+07
126	6.69-002	329.51	104.04	252.00	2.739+004	1.612+003	2.787+004	1.306+07
127	6.25-002	331.51	104.17	254.00	2.735+004	1.470+003	2.753+004	1.292+07
128	5.82-002	333.51	104.29	256.00	2.732+004	1.328+003	2.714+004	1.275+07
129	5.39-002	335.50	104.39	258.00	2.729+004	1.186+003	2.671+004	1.257+07
130	4.97-002	337.50	104.49	260.00	2.726+004	1.045+003	2.623+004	1.237+07
131	4.56-002	339.50	104.58	262.00	2.723+004	9.036+002	2.569+004	1.214+07
132	4.16-002	341.50	104.67	264.00	2.721+004	7.626+002	2.510+004	1.189+07
133	3.76-002	343.50	104.74	266.00	2.719+004	6.218+002	2.443+004	1.161+07
134	3.38-002	345.49	104.81	268.00	2.717+004	4.811+002	2.370+004	1.130+07
135	3.01-002	347.49	104.87	270.00	2.715+004	3.406+002	2.289+004	1.096+07
136	2.65-002	349.49	104.92	272.00	2.713+004	2.002+002	2.199+004	1.059+07
137	2.30-002	351.49	104.97	274.00	2.712+004	5.986+001	2.101+004	1.017+07
138	1.97-002	353.49	105.01	276.00	2.711+004	-8.036+001	1.992+004	9.714+06
139	1.66-002	355.49	105.04	278.00	2.710+004	-2.205+002	1.872+004	9.211+06
140	1.36-002	357.49	105.07	280.00	2.709+004	-3.606+002	1.740+004	8.658+06
141	1.09-002	359.49	105.09	282.00	2.708+004	-5.007+002	1.595+004	8.049+06
142	8.40-002	361.49	105.11	284.00	2.708+004	-6.407+002	1.435+004	7.381+06
143	6.15-002	363.49	105.12	286.00	2.708+004	-7.808+002	1.260+004	6.646+06
144	4.17-003	365.49	105.13	288.00	2.707+004	-9.208+002	1.067+004	5.838+06
145	2.49-003	367.49	105.13	290.00	2.707+004	-1.061+003	8.551+003	4.952+06
146	1.15-003	369.49	105.14	292.00	2.707+004	-1.201+003	6.228+003	3.978+06
147	1.13-003	369.54	105.14	292.05	2.707+004	-1.204+003	6.166+003	3.953+06
148	1.10-003	369.59	105.14	292.10	2.707+004	-1.208+003	6.104+003	3.927+06
149	1.08-003	369.64	105.14	292.15	2.707+004	-1.211+003	6.042+003	3.901+06
150	1.05-003	369.69	105.14	292.20	2.707+004	-1.215+003	5.980+003	3.875+06
151	1.03-003	369.74	105.14	292.25	2.707+004	-1.218+003	5.918+003	3.849+06
152	1.01-003	369.79	105.14	292.30	2.707+004	-1.222+003	5.856+003	3.823+06
153	9.84-004	369.84	105.14	292.35	2.707+004	-1.225+003	5.793+003	3.796+06
154	9.61-004	369.89	105.14	292.40	2.707+004	-1.229+003	5.730+003	3.770+06
155	9.38-004	369.94	105.14	292.45	2.707+004	-1.232+003	5.668+003	3.744+06
156	9.16-004	369.99	105.14	292.50	2.707+004	-1.236+003	5.605+003	3.718+06
157	8.94-004	370.04	105.14	292.55	2.707+004	-1.239+003	5.542+003	3.691+06

158	8.72-004	370.00	105.14	292.60	2.707+004	-1.243+003	5.478+003	3.665+06
159	8.51-004	370.14	105.14	292.65	2.707+004	-1.246+003	5.415+003	3.638+06
160	8.29-004	370.19	105.14	292.70	2.707+004	-1.250+003	5.352+003	3.611+06
161	8.08-004	370.24	105.14	292.75	2.707+004	-1.253+003	5.288+003	3.585+06
162	7.88-004	370.29	105.14	292.80	2.707+004	-1.257+003	5.224+003	3.558+06
163	7.67-004	370.34	105.14	292.85	2.707+004	-1.260+003	5.160+003	3.531+06
164	7.47-004	370.39	105.14	292.90	2.707+004	-1.264+003	5.096+003	3.504+06
165	7.27-004	370.44	105.14	292.95	2.707+004	-1.267+003	5.032+003	3.477+06
166	7.07-004	370.49	105.14	293.00	2.707+004	-1.271+003	4.967+003	3.451+06
167	6.88-004	370.54	105.14	293.05	2.707+004	-1.274+003	4.903+003	3.423+06
168	6.68-004	370.59	105.14	293.10	2.707+004	-1.278+003	4.838+003	3.396+06
169	6.49-004	370.64	105.14	293.15	2.707+004	-1.281+003	4.773+003	3.369+06
170	6.31-004	370.69	105.14	293.20	2.707+004	-1.285+003	4.708+003	3.342+06
171	6.12-004	370.74	105.14	293.25	2.707+004	-1.288+003	4.643+003	3.313+06
172	5.94-004	370.79	105.14	293.30	2.707+004	-1.292+003	4.578+003	3.287+06
173	5.76-004	370.84	105.14	293.35	2.707+004	-1.295+003	4.512+003	3.260+06
174	5.58-004	370.89	105.14	293.40	2.707+004	-1.299+003	4.447+003	3.232+06
175	5.41-004	370.94	105.14	293.45	2.707+004	-1.302+003	4.381+003	3.205+06
176	5.24-004	370.99	105.14	293.50	2.707+004	-1.306+003	4.315+003	3.177+06
177	5.07-004	371.04	105.14	293.55	2.707+004	-1.309+003	4.249+003	3.150+06
178	4.90-004	371.09	105.14	293.60	2.707+004	-1.313+003	4.183+003	3.122+06
179	4.74-004	371.14	105.14	293.65	2.707+004	-1.316+003	4.116+003	3.094+06
180	4.57-004	371.19	105.14	293.70	2.707+004	-1.320+003	4.050+003	3.066+06
181	4.41-004	371.24	105.14	293.75	2.707+004	-1.323+003	3.983+003	3.038+06
182	4.26-004	371.29	105.14	293.80	2.707+004	-1.327+003	3.916+003	3.010+06
183	4.10-004	371.34	105.14	293.85	2.707+004	-1.330+003	3.849+003	2.982+06
184	3.95-004	371.39	105.14	293.90	2.707+004	-1.334+003	3.782+003	2.954+06
185	3.81-004	371.44	105.14	293.95	2.707+004	-1.337+003	3.715+003	2.926+06
186	3.66-004	371.49	105.14	294.00	2.707+004	-1.341+003	3.647+003	2.898+06
187	3.52-004	371.54	105.14	294.05	2.707+004	-1.344+003	3.580+003	2.869+06
188	3.38-004	371.59	105.14	294.10	2.707+004	-1.348+003	3.512+003	2.841+06
189	3.24-004	371.64	105.14	294.15	2.707+004	-1.351+003	3.444+003	2.813+06
190	3.10-004	371.69	105.14	294.20	2.707+004	-1.355+003	3.376+003	2.784+06
191	2.97-004	371.74	105.14	294.25	2.707+004	-1.358+003	3.308+003	2.755+06
192	2.84-004	371.79	105.14	294.30	2.707+004	-1.362+003	3.239+003	2.727+06
193	2.71-004	371.84	105.14	294.35	2.707+004	-1.365+003	3.171+003	2.698+06

194	2.59-004	371.89	105.14	294.40	2.707+004	-1.369+003	3.102+003	2.669+06
195	2.47-004	371.94	105.14	294.45	2.707+004	-1.372+003	3.033+003	2.640+06
196	2.35-004	371.99	105.14	294.50	2.707+004	-1.376+003	2.964+003	2.612+06
197	2.23-004	372.04	105.14	294.55	2.707+004	-1.379+003	2.895+003	2.583+06
198	2.12-004	372.09	105.14	294.60	2.707+004	-1.383+003	2.826+003	2.554+06
199	2.01-004	372.14	105.14	294.65	2.707+004	-1.386+003	2.756+003	2.524+06
200	1.90-004	372.19	105.14	294.70	2.707+004	-1.390+003	2.687+003	2.495+06
201	1.79-004	372.24	105.14	294.75	2.707+004	-1.393+003	2.617+003	2.466+06
202	1.69-004	372.29	105.14	294.80	2.707+004	-1.397+003	2.547+003	2.437+06
203	1.59-004	372.34	105.14	294.85	2.707+004	-1.400+003	2.477+003	2.407+06
204	1.49-004	372.39	105.14	294.90	2.707+004	-1.404+003	2.406+003	2.378+06
205	1.40-004	372.44	105.14	294.95	2.707+004	-1.407+003	2.336+003	2.348+06
206	1.31-004	372.49	105.14	295.00	2.707+004	-1.411+003	2.265+003	2.319+06
207	1.22-004	372.54	105.14	295.05	2.707+004	-1.414+003	2.195+003	2.289+06
208	1.13-004	372.59	105.14	295.10	2.707+004	-1.418+003	2.124+003	2.259+06
209	1.05-004	372.64	105.14	295.15	2.707+004	-1.421+003	2.052+003	2.230+06
210	9.67-005	372.69	105.14	295.20	2.707+004	-1.425+003	1.981+003	2.200+06
211	8.89-005	372.74	105.14	295.25	2.707+004	-1.428+003	1.910+003	2.170+06
212	8.14-005	372.79	105.14	295.30	2.707+004	-1.432+003	1.838+003	2.140+06
213	7.42-005	372.84	105.14	295.35	2.707+004	-1.435+003	1.766+003	2.110+06
214	6.73-005	372.89	105.14	295.40	2.707+004	-1.439+003	1.694+003	2.080+06
215	6.06-005	372.94	105.14	295.45	2.707+004	-1.442+003	1.622+003	2.049+06
216	5.43-005	372.99	105.14	295.50	2.707+004	-1.446+003	1.550+003	2.019+06
217	4.82-005	373.04	105.14	295.55	2.707+004	-1.449+003	1.478+003	1.989+06
218	4.24-005	373.09	105.14	295.60	2.707+004	-1.453+003	1.405+003	1.958+06
219	3.69-005	373.14	105.14	295.65	2.707+004	-1.456+003	1.332+003	1.928+06
220	3.16-005	373.19	105.14	295.70	2.707+004	-1.460+003	1.259+003	1.897+06
221	2.67-005	373.24	105.14	295.75	2.707+004	-1.463+003	1.186+003	1.867+06
222	2.20-005	373.29	105.14	295.80	2.707+004	-1.467+003	1.113+003	1.836+06
223	1.77-005	373.34	105.14	295.85	2.707+004	-1.470+003	1.039+003	1.805+06
224	1.36-005	373.39	105.14	295.90	2.707+004	-1.474+003	9.658+002	1.774+06
225	9.79-006	373.44	105.14	295.95	2.707+004	-1.477+003	8.920+002	1.744+06
226	6.29-006	373.49	105.14	296.00	2.707+004	-1.481+003	8.181+002	1.713+06
227	3.08-006	373.54	105.14	296.05	2.707+004	-1.484+003	7.439+002	1.682+06
228	1.58-007	373.59	105.14	296.10	2.707+004	-1.488+003	6.696+002	1.650+06
229	-2.47-006	373.64	105.14	296.15	2.707+004	-1.491+003	5.952+002	1.619+06

Программа FSTR

Приложение D

```

001      УКЛАДКА ТРУБОПРОВОДА СВОБОДНЫМ
002      ПОГРУЖЕНИЕМ С ПРИМЕНЕНИЕМ
003      РАЗГРУЖАЮЩИХ ПОНТОНОВ
004      DOUBLE PRECISION TETA,T,V,DM
005      COMMON//TXU/TETA(2000),X(2000),Y(2000)/TVB/
006      T(2000),V(2000),
007      *DM(2000)/PQS/PNS(2000),RS(2000),SIGMA(2000
008      )/DIAM/D1,D2,D3/
009      *VB/VH,DS,GP,BM/PF/PI,FA,F,F1,F1
010      GP=3.E3
011      E1=0.0
012      TETA(1)=0.0
013      X(1)=0.0
014      Y(1)=0.0
015      VH=100.
016      E=2.1E18
017      EP=2.F-2
018      QU=5.E4
019      R0=1.015E3
020      HP=24.
021      HL=4.
022      HS=3.E7
023      PI=3.141592
024      D1=.508
025      D2=.4826.
026      D3=.4608
027      F=PI/4.*{D1**2-D2**2}
028      F1=PI/4.*D3**2
029      FA=R0+F1
030      RH=00.
031      P=BH+FA
032      Z=P+D1/4.*D2**2*R0
033      UH=PI/64.*{D1**4-D2**4}
034      EJ=UH*E
035      CALL ES(HP,HL,EJ,P,Q,EP,RU)
036
037      SUBROUTINE ES(PH,HS,PEJ,PU,QW,EPS,PN)
038      DOUBLE PRECISION TETA,T,V,DM,EL,ER,CAPPA,E
039      LH,ERH
040      COMMON//TXU/TETA(2000),X(2000),Y(2000)/TVB/
041      T(2000),V(2000),
042      *DM(2000)/PQS/PNS(2000),RS(2000),SIGMA(2000
043      )/DIAM/D1,D2,D3/
044      *VB/VH,DS,GP,BM/PF/PI,FA,F,F1,F1
045      C=.45
046      CDR=25.
047      CDT=.25
048      CTP=.1
049      TD=CDT*1.7453E-2
050      TP=CTP*1.7453E-2
051      PV=1.0-3
052      :=PI/(32.*01)*(D1**4-D2**4)
053      AH=H*(DS-PH/F)
054      CAPPA=1.

```

```

014      EL=0,0
015      FLH=0,S
016      A3=HS
017      T(1)=PH*COS(TETA(1))
018      V(1)=GP-BH*PH/2,
019      20 CONTINUE
020      A4=A3
021      IL=0
022      IPS=0
023      KH=0
024      KDR=0
025      NL=0
026      NP=0
027      NW=0
028      I=1
029      DM(L)=-CAPPA*AB
030      909   PNS(L)=T(L)*COS(TETA(L))+V(L)*SIN(TETA(L))
031      S(L)=V(L)*COS(TETA(L))-T(L)*SIN(TETA(L))
032      SIGMA(L)=PN/F+ABS(DM(L))>R
033      7 CONTINUE
034      I=1
035      PL=0,P
036      NP=NP+1
037      A2=PH/HS
038      KUP=INT(A2)+1
039      IF(NP,ER,11)GO TO 22
040      V(L)=V(L)+GP
041      22 YZ=C*YM
042      1 CONTINUE
043      IF(KH,EQ,1)GO TO 39
044      GO TO 41
045      39 USEAS
046      KUP=KUP+1
047      KW=0
048      GO TO 42
049      41 IF(KDR-1)47,48,48
050      47 HS=A3
051      GO TO 42
052      48 HS=A3/CUR
053      I=I+1
054      IF(NP,ER,11)GO TO 33
055      L=NL+I-1
056      GO TO 38
057      33 L=NL+1
058      38 PL=PL+S
          ,F6.2,1X,'T=',D10.3,
          *1.,'V=',D10.3,1X,'H=',D10.3,1X,'CAPPA=',D3
          1,24)
059      TETA(L)=TETA(L-1)-DM(L-1)*HS/PEJ
060      X(L)=X(L-1)+HS*COS(TETA(L-1))
061      Y(L)=V(L-1)+HS*SIN(TETA(L-1))
062      IF(ABS(V(L))-YZ),LE,PH)GO TO 5
063      IF(V(L)-YZ)>9,9,36
064      9 IF(NK,EQ,0)GO TO 46
065      ELH=V(L)
066      GO TO 35

```

```

067      46 ELH=Y(L)
068      GO TO 4
069      36 IF(IL,ER,0)GO TO 34
070      GO TO 2
071      34 NW=1
072      ERH=Y(L)
073      PL=PL-A4
074      35 A4=A4*(YZ-ELH)/(ERH-ELH)
075      HS=A4
076      GO TO 38
077      5 IL=1
078      IF(NW,EQ,0)GO TO 4
079      A5=A3-A4.
080      KW=1
081      LW=L
082      4 A=PW
083      GO TO 3
084      2 A=QN
085      3 T(L)=T(L-1)-FA*SIN(2.*TETA(L))/2.*HS
086      V(L)=V(L-1)+(FA*COS(TETA(L))**2-A)*HS
087      V(L)=V(L-1)+(FA*COS(TETA(L))**2-A)*HS
088      DM(L)=DM(L-1)+((V(L-1)-HS*(A-FA)/2.)*COS(T
                           ETA(L))-_
                           *T(L-1)*SIN(TETA(L)))*HS
089      IF(DM(L),LT,0.0)GO TO 52
090      IPS=IPS+1
091      GO TO 10
092      52 IF(V(L)-YH)10,10,13
093      10 PNS(L)=Y(L)*COS(TETA(L))+V(L)*SIN(TETA(L))
094      QS(L)=V(L)*COS(TETA(L))-T(L)*SIN(TETA(L))
095      SIGMA(L)=PNS(L)/F+ABS(DM(L)/W)
096      IF(TETA(L)-FI)6,6,8
097      8 IF(TETA(L)-PI/2.)12,12,13
098      12 IF(TETA(L),LE,TD)GO TO 21
099      GO TO 18
100      21 IF(IPS-1)1,14,14
101      14 KDR=KDR+1
102      IF(KDR-1)15,15,18
103      15 HS=HS/CDR
104      LD=L
105      GO TO 18
106      6 IF(IPS-1)18,19,19
107      19 LK=L
108      PER=DM(L)/AM
109      IF(ABS(PER),LE,EPS)GO TO 16
110      GO TO 11
111      18 IF(KDR-1)44,45,45
112      44 A1=(PH-PL)/HS
113      KUP=I+INT(A1)
114      44 IF(I-KUP)1,43,43
115      43 NL=L
116      GO TO 7
117      13 ER=CAPPA
118      LZ=L
119      PRINT 50,L,TETA(LZ),Y(LZ),T(LZ),V(LZ),DM(L
                           Z),CAPPA

```

```

120      50 FORMAT(1X,,L=,,I4,1X,,TETA,,D11.4,1X,,V=)
121      .0 TO 23
122      11 EL=CAPPA
123          PRINT 40,L,TETA(LK),V(LK),T(LK),DM(L
124          K),CAPPA
125      40 FORMAT(1X,'L=',I4,1X,'TETA=',D11.4,1X,'V='
126          ,F6.2,1X,'T=',D10.3,
127          *1X,'M=',D10.3,1X,'CAPPA=',D3
128          1.24)
129      23 CAPPA=EL+(ER-EL)/2.
130      16 IF(HS-A3)24,20,20
131      24 HS=A3
132          GO TO 20
133      16 IF(4(L)-YZ)11,i1,17
134      17 CONTINUE
135          PRINT 26,D1,D2,D3,BM,PEJ,GP,PH,YZ,FI
136      26 FORMAT(//,3X,'ИСХОДНЫЕ ДАННЫЕ: D1=',F5.3,
137          2X,
138          **D2=',F5.3,2X,'D3=',F5.3,2X,'P=',E9.3,2X,
139          EJ=',E10.4,2X,
140          **,2X,'B=',E9.3,2X,'S=',F5.1,2X,'HH=',F7.2
141          ,2X,'F1=',F7.4,/)
142          PRINT 27,TFTA(1),X(1),V(1),T(1),V(1),DM(1)
143          ,CAPPA
144      27 FORMAT(3X,'НАЧАЛЬНЫЕ УСЛОВИЯ: TETA=',D11.
145          4,2X,'X=',F7.2,2X,
146          **Y=',F6.2,/,23X,'T=',D10.3,2X,'V=',D10.3,2
147          X,'M=',D10.3,2X,
148          **CAPPA=',D14.7,/)
149          PRINT 28
150      28 FORMAT(3X,'РЕМЕНЬ',/)
151          PRINT 80
152      80 FORMAT(3X,'УЗЕЛ',3X,'TETA',7X,'X',6X,'Y',7
153          X,'L',8X,
154          **T',11X,'V',10X,'H',7X,'SIGMA',/)
155          TL=-A3
156          DO 25 M=1,LK
157          IF(M-LH)29,49,37
158          37 IF(M,EQ,LH+1)GO TO 51
159          IF(M-LD)29,29,31
160          29 A=A3
161          GO TO 32
162          49 A=A4
163          GO TO 32
164          51 A=A5
165          GO TO 32
166          31 A=HS
167          32 TL=TL+A
168          PRINT 30,M,TETA(M),X(M),Y(M),TL,T(M),V(M),
169          *H(M),SIGMA(M)
170          30 FORMAT(2X,I4,1X,D9.2,1X,F7.2,1X,F6.2,1X,F7
171          .2,1X,D10.3,1X,
172          *D10.3,1X,D10.3,1X,E9.3)
173          25 CONTINUE
174          RETURN
175          END

```

Текущее решение

ИСХОДНЫЕ ДАННЫЕ: $\theta_1=0.508$ $\theta_2=0.463$ $\theta_3=0.608$ $P=9.000+01$ $EJ=1.2734+07$
 $B=3.000+03$ $S=24.7$ $HW=45.00$ $FI=0.0000$

НАЧАЛЬНЫЕ УСЛОВИЯ: $\Theta_1=0.0000+000$ $X=0.00$ $Y=0.00$
 $T=5.000+004$ $V=1.920+003$ $M=-1.880+004$ $Sigma=2.8666244-001$

РЕШЕНИЕ

УЗЕЛ	ТЕТА	X	Y	L	T	V	M	SIGMA
1	0.00+000	0.00	0.00	0.00	5.000+004	1.920+003	-1.880+004	1.040+07
2	5.91+003	4.00	0.00	4.00	4.999+004	1.560+003	-1.302+004	7.984+06
3	1.00+003	8.00	0.02	8.00	4.998+004	1.200+003	-9.500+003	6.309+06
4	1.30+002	12.00	0.06	12.00	4.997+004	8.396+002	-8.016+003	5.886+06
5	1.55+002	16.00	0.12	16.00	4.995+004	4.794+002	-8.475+003	6.077+06
6	1.82+002	20.00	0.18	20.00	4.993+004	1.190+002	-1.091+004	7.094+06
7	2.16+002	24.00	0.25	24.00	4.990+004	2.758+003	-1.546+004	9.000+06
8	2.64+002	28.00	0.34	28.00	4.987+004	2.398+003	-1.043+004	6.893+06
9	2.97+002	32.00	0.44	32.00	4.983+004	2.037+003	-7.486+003	5.660+06
10	3.21+002	35.90	0.56	36.00	4.980+004	1.675+003	-6.455+003	5.225+06
11	3.41+002	39.90	0.69	40.00	4.976+004	1.314+003	-7.267+003	5.563+06
12	3.64+002	43.90	0.83	44.00	4.971+004	9.524+002	-9.973+003	6.693+06
13	3.95+002	47.99	0.97	48.00	4.967+004	3.591+003	-1.474+004	8.687+06
14	4.41+002	51.98	1.13	52.00	4.962+004	3.228+003	-9.878+003	6.653+06
15	4.72+002	55.98	1.31	56.00	4.956+004	2.866+003	-7.071+003	5.474+06
16	4.95+002	59.98	1.49	60.00	4.950+004	2.503+003	-6.143+003	5.081+06
17	5.14+002	63.97	1.69	64.00	4.944+004	2.140+003	-7.036+003	5.451+06
18	5.36+002	67.97	1.90	68.00	4.938+004	1.776+003	-9.804+003	6.607+06
19	5.67+002	71.96	2.11	72.00	4.931+004	4.412+003	-1.462+004	8.619+06
20	6.13+002	75.95	2.34	76.00	4.924+004	4.048+003	-9.799+003	6.604+06

21	6.44-002	79.95	2.58	80.00	4.916+004	3.683+003	-7.025+003	5.437+06
22	6.66-002	83.94	2.84	84.00	4.909+004	3.318+003	-6.123+003	5.054+06
23	6.85-002	87.93	3.11	88.00	4.901+004	2.952+003	-7.036+003	5.432+06
24	7.07-002	91.92	3.38	92.00	4.882+004	2.587+003	-9.820+003	6.592+06
25	7.38-002	95.91	3.66	96.00	4.884+004	5.220+003	-1.464+004	6.607+06
26	7.84-002	99.90	3.96	100.00	4.894+004	4.853+003	-9.840+003	6.600+06
27	8.15-002	103.89	4.27	104.00	4.865+004	4.485+003	-7.077+003	5.437+06
28	8.37-002	107.87	4.60	108.00	4.885+004	4.117+003	-6.184+003	5.056+06
29	8.56-002	111.86	4.93	112.00	4.845+004	3.748+003	-7.104+003	5.434+06
30	8.79-002	115.84	5.27	116.00	4.835+004	3.379+003	-9.892+003	6.595+06
31	9.10-002	119.83	5.62	120.00	4.824+004	6.089+003	-1.472+004	6.609+06
32	9.56-002	123.81	5.99	124.00	4.813+004	5.639+003	-9.923+003	6.608+06
33	9.87-002	127.79	6.37	128.00	4.801+004	5.267+003	-7.166+003	5.446+06
34	1.01-001	131.77	6.76	132.00	4.789+004	4.895+003	-6.278+003	5.066+06
35	1.03-001	135.75	7.17	136.00	4.777+004	4.523+003	-7.201+003	5.445+06
36	1.05-001	139.73	7.58	140.00	4.765+004	4.150+003	-9.991+003	6.605+06
37	1.08-001	143.71	8.00	144.00	4.752+004	6.776+003	-1.481+004	6.616+06
38	1.13-001	147.69	8.43	148.00	4.739+004	6.401+003	-1.003+004	6.621+06
39	1.16-001	151.66	8.88	152.00	4.726+004	6.023+003	-7.280+003	5.460+06
40	1.18-001	155.63	9.34	156.00	4.712+004	5.649+003	-6.396+003	5.080+06
41	1.20-001	159.61	9.82	160.00	4.698+004	5.272+003	-7.323+003	5.459+06
42	1.23-001	163.58	10.30	164.00	4.683+004	4.894+003	-1.011+004	6.619+06
43	1.26-001	167.55	10.79	168.00	4.669+004	7.516+003	-1.493+004	8.627+06
44	1.31-001	171.52	11.29	172.00	4.653+004	7.136+003	-1.016+004	6.638+06
45	1.34-001	175.48	11.81	176.00	4.638+004	6.755+003	-7.417+003	5.478+06
46	1.36-001	179.45	12.34	180.00	4.622+004	6.373+003	-6.537+003	5.099+06
47	1.38-001	183.41	12.89	184.00	4.606+004	5.991+003	-7.467+003	5.478+06
48	1.41-001	187.37	13.44	188.00	4.580+004	5.607+003	-1.026+004	6.636+06
49	1.44-001	191.33	14.00	192.00	4.573+004	8.223+003	-1.507+004	8.641+06
50	1.48-001	195.29	14.57	196.00	4.556+004	7.837+003	-1.031+004	6.658+06
51	1.52-001	199.25	15.16	200.00	4.538+004	7.450+003	-7.575+003	5.500+06
52	1.54-001	203.20	15.77	204.00	4.520+004	7.063+003	-6.699+003	5.121+06
53	1.56-001	207.15	16.38	208.00	4.502+004	6.674+003	-7.631+003	5.499+06
54	1.59-001	211.10	17.00	212.00	4.484+004	6.285+003	-1.042+004	6.656+06
55	1.62-001	215.05	17.64	216.00	4.465+004	8.894+003	-1.523+004	8.656+06
56	1.67-001	219.00	18.28	220.00	4.446+004	8.502+003	-1.048+004	6.679+06

37	1.70-001	222.95	18.94	224.00	4.426+004	8.108+003	-7.746+003	5.521+06.
38	1.72-001	226.84	19.62	228.00	4.406+004	7.713+003	-6.871+003	5.142+06
59	1.75-001	230.83	20.31	232.00	4.386+004	7.318+003	-7.801+003	5.517+06
60	1.77-001	234.77	21.00	236.00	4.365+004	6.921+003	-1.058+004	8.669+06
61	1.80-001	238.71	21.71	240.00	4.345+004	9.523+003	-1.537+004	8.661+06
62	1.85-001	242.64	22.42	244.00	4.323+004	9.123+003	-1.063+004	8.687+06
63	1.88-001	246.57	23.16	248.00	4.302+004	8.722+003	-7.890+003	5.526+06
64	1.91-001	250.50	23.91	252.00	4.280+004	8.320+003	-7.001+003	5.139+06
65	1.93-001	254.43	24.67	256.00	4.257+004	7.916+003	-7.909+003	5.304+06
66	1.96-001	258.36	25.44	260.00	4.235+004	7.512+003	-1.066+004	6.641+06
67	1.99-001	262.28	26.21	264.00	4.212+004	1.011+004	-1.540+004	8.611+06
68	2.04-001	266.20	27.00	268.00	4.189+004	9.697+003	-1.062+004	6.625+06
69	2.07-001	270.12	27.81	272.00	4.165+004	9.287+003	-7.831+003	5.440+06
70	2.10-001	274.03	28.64	276.00	4.141+004	8.876+003	-6.868+003	5.020+06
71	2.12-001	277.94	29.47	280.00	4.117+004	8.464+003	-7.678+003	5.343+06
72	2.14-001	281.85	30.31	284.00	4.092+004	8.051+003	-1.030+004	6.425+06
73	2.17-001	285.76	31.16	288.00	4.068+004	1.064+004	-1.487+004	8.322+06
74	2.22-001	289.67	32.02	292.00	4.042+004	1.022+004	-9.913+003	6.261+06
75	2.25-001	293.57	32.90	296.00	4.017+004	9.800+003	-6.879+003	4.973+06
76	2.27-001	297.47	33.80	300.00	3.991+004	9.380+003	-5.605+003	4.422+06
77	2.29-001	301.37	34.70	304.00	3.965+004	8.959+003	-6.023+003	4.379+06
78	2.31-001	305.26	35.61	308.00	3.938+004	8.538+003	-8.150+003	5.453+06
79	2.34-001	309.16	36.52	312.00	3.912+004	1.111+004	-1.209+004	7.085+06
80	2.37-001	313.05	37.45	316.00	3.885+004	1.069+004	-6.375+003	4.708+06
81	2.39-001	316.94	38.39	320.00	3.858+004	1.026+004	-2.382+003	3.017+06
82	2.40-001	320.82	39.34	324.00	3.830+004	9.836+003	9.369+001	2.040+06
83	2.40-001	324.71	40.29	328.00	3.803+004	9.410+003	-1.175+003	2.475+06
84	2.40-001	328.59	41.24	332.00	3.776+004	8.983+003	9.135+002	2.348+06
85	2.39-002	332.48	42.19	336.00	3.749+004	1.156+004	-6.982+002	2.238+06
86	2.40-001	336.36	43.14	340.00	3.722+004	1.113+004	7.912+003	5.277+06
87	2.37-001	340.25	44.09	344.00	3.695+004	1.071+004	1.551+004	8.441+06
88	2.32-001	344.02	45.00	347.88	3.669+004	1.030+004	2.224+004	1.124+07
89	2.32-001	344.14	45.03	348.00	3.668+004	1.026+004	2.243+004	1.132+07
90	2.25-001	348.03	45.95	352.00	3.623+004	9.099+003	2.752+004	1.343+07
91	2.17-002	351.93	46.84	356.00	3.618+004	7.942+003	2.960+004	1.427+07
92	2.07-001	355.84	47.70	360.00	3.584+004	9.789+003	2.875+004	1.389+07

III

93	1.98-002	359.75	48.52	364.00	3.571+004	8.641+003	3.667+004	1.722+07
94	1.87-002	363.67	49.31	368.00	3.550+004	7.497+003	4.195+004	1.941+07
95	1.74-002	367.60	50.05	372.00	3.530+004	6.360+003	4.480+004	2.058+07
96	1.59-002	371.54	50.75	376.00	3.511+004	5.227+003	4.531+004	2.078+07
97	1.45-002	375.49	51.38	380.00	3.495+004	4.100+003	4.349+004	2.000+07
98	1.32-002	379.45	51.96	384.00	3.499+004	5.977+003	3.923+004	1.820+07
99	1.19-002	383.41	52.48	388.00	3.485+004	4.858+003	4.422+004	2.029+07
100	1.05-002	387.39	52.96	392.00	3.453+004	3.742+003	4.678+004	2.135+07
101	9.07-002	391.36	53.38	396.00	3.482+004	2.630+003	4.698+004	2.143+07
102	7.59-002	395.33	53.74	400.00	3.453+004	1.520+003	4.483+004	2.052+07
103	6.18-002	399.34	54.05	404.00	3.426+004	4.130+002	4.021+004	1.858+07
104	4.92-002	403.33	54.29	408.00	3.420+004	2.307+003	3.292+004	1.552+07
105	3.88-002	407.32	54.49	412.00	3.416+004	1.203+003	3.463+004	1.623+07
106	2.80-002	411.32	54.65	416.00	3.412+004	9.948+001	3.341+004	1.572+07
107	1.75-002	415.32	54.76	420.00	3.410+004	-1.004+003	2.922+004	1.396+07
108	8.29-003	419.32	54.83	424.00	3.400+004	-2.106+003	2.187+004	1.089+07
109	1.42-002	423.32	54.86	428.00	3.409+004	-3.209+003	1.105+004	6.352+06
110	1.28-003	423.48	54.86	428.16	3.409+004	-3.253+003	1.052+004	6.133+06
111	1.15-003	423.64	54.86	428.32	3.409+004	-3.297+003	9.992+003	5.910+06
112	1.03-003	423.80	54.86	428.48	3.409+004	-3.341+003	9.456+003	5.686+06
113	9.08-004	423.96	54.86	428.64	3.409+004	-3.385+003	8.912+003	5.458+06
114	7.96-004	424.12	54.86	428.81	3.400+004	-3.429+003	8.363+003	5.228+06
115	6.91-004	424.28	54.86	428.96	3.409+004	-3.474+003	7.807+003	4.995+06
116	5.93-004	424.44	54.86	429.12	3.400+004	-3.518+003	7.244+003	4.760+06
117	5.02-004	424.60	54.86	429.28	3.409+004	-3.562+003	6.675+003	4.521+06
118	4.18-004	424.76	54.86	429.44	3.400+004	-3.606+003	6.100+003	4.280+06
119	3.42-004	424.92	54.86	429.60	3.409+004	-3.650+003	5.517+003	4.036+06
120	2.72-004	425.08	54.86	429.76	3.400+004	-3.694+003	4.928+003	3.789+06
121	2.10-004	425.24	54.86	429.92	3.400+004	-3.738+003	4.332+003	3.540+06
122	1.56-004	425.40	54.86	430.08	3.409+004	-3.782+003	3.730+003	3.288+06
123	1.09-004	425.56	54.86	430.24	3.409+004	-3.826+003	3.121+003	3.032+06
124	6.99-005	425.72	54.86	430.40	3.400+004	-3.871+003	2.505+003	2.774+06
125	3.84-005	425.88	54.86	430.56	3.409+004	-3.915+003	1.882+003	2.513+06
126	1.48-005	426.04	54.86	430.72	3.409+004	-3.959+003	1.252+003	2.249+06
127	-9.46-007	426.20	54.86	430.88	3.400+004	-4.003+003	6.147+002	1.983+06

ЛИТЕРАТУРА

1. Инструкция по строительству подводных переходов магистральных трубопроводов. ВСН 2-П8-80. М., 1980.
Министерство транспорта СССР
2. Стариков А. С. Технология работы речных земснарядов. М., Транспорт, 1969.
3. Руководство по технологии укладки подводных трубопроводов способом свободного погружения с приложением расчётающего усилки. Р 315-78. М., ВНИИСТ, 1979.
4. Руководство по укладке подводных трубопроводов с железобетонными покрытиями и грузами. Р 420-81. М., ВНИИСТ, 1982.
5. Рекомендации по проектированию и строительству морских подводных нефтегазопроводов. Р 412-81. М., ВНИИСТ, 1981.
6. Рекомендации по строительству подводных переходов через реки, сложенные легкоразмывающимися грунтами. Р 96-71. М., ВНИИСТ, 1972.

СОДЕРЖАНИЕ

1. Общие положения	3
2. Технология подводных земляных работ	4
3. Укладка подводных трубопроводов способами протаскивания и свободного погружения	13
4. Укладка трубопроводов с трубокладочной баржи	26
5. Техника безопасности	41
Приложения	45
Литература	III

РУКОВОДСТВО

по технологии укладки и заглубления трубопроводов
через водохранилища и крупные реки

Р 537-84

Издание ННИСГа

Редактор И.Р.Беляева

Корректор Г.Ф.Меликова

Технический редактор Т.В.Берешева

Л-77189 Подписано в печать 4/III 1984г. Формат 60x84/16
Печ.л. 7,25 Уч.-изд.л. 6,0 Бум.л. 3,625
Тираж 450 экз. Цена 60 коп. Заказ 102

Ротапrint ННИСГа